

สำนักหอสมุดกลาง พระจอมเกล้าลาดกระบัง

แนวทางการใช้พลังงานในกระบวนการผลิตพาทาลิกแอนไฮไดรด์  
สำหรับต้นทุนพลังงานที่เหมาะสม



T104372



ภัตสร  
อมตะ

ไวศยะวรรณ  
อนันต์พินิจวัฒนา

เลขหมู่.....  
เลขทะเบียน **104372**  
วัน,เดือน,ปี **2 พ.ย. 2552**

b.....
i.....

ปริญญานิพนธ์นี้เป็นส่วนหนึ่งของการศึกษาตามหลักสูตรปริญญาวิศวกรรมศาสตรบัณฑิต  
สาขาวิชาวิศวกรรมเคมี คณะวิศวกรรมศาสตร์  
สถาบันเทคโนโลยีพระจอมเกล้าเจ้าคุณทหารลาดกระบัง  
ปีการศึกษา 2551

เอกสารนี้เป็นเอกสารที่สงวนไว้สำหรับการใช้งานเพื่อการศึกษาเท่านั้น ไม่อนุญาตให้นำไปใช้ประโยชน์ด้านการค้า  
ไม่ว่ากรณีใดๆ ทั้งสิ้น อีกทั้งห้ามมิให้ดัดแปลงเนื้อหา และต้องอ้างอิงถึงเจ้าของเอกสารทุกครั้งที่มีการนำไปใช้

**Guidelines for Energy Utilization in a Phthalic Anhydride Process  
for the Optimum Energy Cost**




**A REPORT SUBMITTED IN PARTIAL FULFILLMENT  
OF THE REQUIREMENTS FOR THE DEGREE OF  
BACHELOR OF ENGINEERING IN CHEMICAL ENGINEERING  
FACULTY OF ENGINEERING  
KING MONGKUT'S INSTITUTE OF TECHNOLOGY LADKRABANG  
2008**

เอกสารนี้เป็นเอกสารที่สงวนไว้สำหรับการใช้งานเพื่อการศึกษาเท่านั้น ไม่อนุญาตให้นำไปใช้ประโยชน์ด้านการค้า  
ไม่ว่ากรณีใดๆ ทั้งสิ้น อีกทั้งห้ามมิให้ตัดแปลงเนื้อหา และต้องอ้างอิงถึงเจ้าของเอกสารทุกครั้งที่มีการนำไปใช้


ปริญญานิพนธ์เรื่อง แนวทางการใช้พลังงานในกระบวนการผลิตพาทาลิกแอนไฮไดรด์สำหรับ  
ต้นทุนพลังงานที่เหมาะสม  
โดย นางสาวภัสสร ไวยศะวรรณ  
นายอมตะ อนันต์พินิจวัฒนา  
อาจารย์ที่ปรึกษา รศ.ดร.อัญชลีพร วาริตสวัสดิ์ หล่อทองคำ  
อาจารย์ที่ปรึกษาร่วม ดร.ศิริพล คุณาธิปพงษ์  
General Manager (Technical & Production) และ QMR  
บริษัท คอนทิเนนทอล ปีโตรเคมีคอล (ประเทศไทย) จำกัด  
ปริญญานิพนธ์ วิศวกรรมศาสตรบัณฑิต  
สาขาวิชาวิศวกรรมเคมี คณะวิศวกรรมศาสตร์  
สถาบันเทคโนโลยีพระจอมเกล้าเจ้าคุณทหารลาดกระบัง

ปริญญานิพนธ์นี้ได้รับพิจารณาและอนุมัติให้นับเป็นส่วนหนึ่งของการศึกษาตามหลักสูตร  
วิศวกรรมศาสตรบัณฑิต สาขาวิชาวิศวกรรมเคมี  
คณะกรรมการตรวจสอบปริญญานิพนธ์

  
..... ประธานกรรมการ  
(รศ.ดร. อัญชลีพร วาริตสวัสดิ์ หล่อทองคำ)

  
..... อาจารย์ที่ปรึกษาร่วม  
(ดร.ศิริพล คุณาธิปพงษ์)

  
..... กรรมการ  
(ผศ. รินฤดี เบญจางคประเสริฐ)

  
..... กรรมการ  
(ผศ.ดร.สุรัตน์ อารีรัตน์)

เอกสารนี้เป็นเอกสารที่สงวนไว้สำหรับการใช้งานเพื่อการศึกษาเท่านั้น ไม่อนุญาตให้นำไปใช้ประโยชน์ด้านการค้า  
ไม่ว่ากรณีใดๆ ทั้งสิ้น อีกทั้งห้ามมิให้ตัดแปลงเนื้อหา และต้องอ้างอิงถึงเจ้าของเอกสารทุกครั้งที่มีการนำไปใช้

**หัวข้อปริญญานิพนธ์** แนวทางการใช้พลังงานในกระบวนการผลิตพาทาลิกแอนไฮไดรด์สำหรับ  
ต้นทุนพลังงานที่เหมาะสม

**โดย** นางสาวภัศร ไวยศยะวรรณ  
นายอมตะ อนันต์พินิจวัฒนา

**อาจารย์ที่ปรึกษา** รศ.ดร.อัญชลิพร วาริตสวัสดิ์ หล่อทองคำ

**อาจารย์ที่ปรึกษาร่วม** ดร.ศิริพล คุณาธิปพงษ์  
General Manager (Technical & Production) and QMR  
บริษัท คอนทิเนนทอล ปีโตรเคมีคอล (ประเทศไทย) จำกัด

**ปริญญา** วิศวกรรมศาสตรบัณฑิต สาขาวิชาวิศวกรรมเคมี  
คณะวิศวกรรมศาสตร์  
สถาบันเทคโนโลยีพระจอมเกล้าเจ้าคุณทหารลาดกระบัง

### บทคัดย่อ

โครงการนี้เสนอแนวทางปรับปรุงการใช้พลังงานในกระบวนการผลิตพาทาลิกแอนไฮไดรด์ เพื่อต้นทุนที่เหมาะสม ขั้นแรกคือการเลือกใช้พลังงานที่เหมาะสมกว่าและสามารถทดแทนกันได้ ในงานนี้พิจารณามูลค่าของพลังงานจากไอน้ำที่ได้จากการถ่ายเทความร้อนจากปฏิกิริยาออกซิเดชัน ของอโทไซลีนระหว่างการนำไปใช้ให้ความร้อนในกระบวนการผลิตพาทาลิกแอนไฮไดรด์แทน น้ำมันถ่ายเทความร้อนอุณหภูมิสูงที่อุ่นด้วยก๊าซธรรมชาติ กับการนำไปผลิตกระแสไฟฟ้าที่ กังหันไอน้ำ 2 เครื่อง ผลการคำนวณต้นทุนของพลังงาน โดยใช้ข้อมูลทางทฤษฎีและข้อมูลที่เก็บจาก กระบวนการพบว่ามูลค่าของการนำไอน้ำไปใช้ให้ความร้อนสูงกว่าการนำไปผลิตกระแสไฟฟ้าด้วย กังหันไอน้ำ และขั้นที่สองคือวางแผนการใช้ไอน้ำจากปริมาณไอน้ำที่ได้นี้เพื่อใช้ใน ช่วงเริ่มกระบวนการผลิต (Start Up) พบว่าควรนำไอน้ำนี้ไปแทนไอน้ำที่ผลิตจากหม้อไอน้ำด้วย น้ำมันเตาก่อน จากนั้นจึงนำไปใช้ให้ความร้อนในกระบวนการแทนน้ำมันถ่ายเทความร้อนอุณหภูมิ สูงที่อุ่นด้วยก๊าซธรรมชาติ และใช้ผลิตกระแสไฟฟ้าด้วยกังหันไอน้ำ จากแนวทางนี้สามารถ ลดต้นทุนของค่าพลังงานเฉพาะอุปกรณ์ส่วนที่เกี่ยวข้องได้ ประมาณ 27,000 บาท ต่อการ เริ่มกระบวนการผลิต 1 ครั้ง

**Report Title** Guidelines for Energy Utilization in a Phthalic Anhydride Process for the Optimum Energy Cost

**By** Miss Phatsorn Waisayawan  
Mr. Amata Anantpinijwattana

**Advisor** Assoc. Prof. Dr. Anchaleeporn Waritswat Lothongkum

**Co-advisor** Dr. Siripoln Kunatippapong  
General Manager (Technical & Production) and QMR  
Continental Petrochemicals (Thailand) Co. Ltd.

**Report for** Bachelor of Engineering (Chemical Engineering)  
Faculty of Engineering  
King Mongkut's Institute of Technology Ladkrabang

### ABSTRACT

This project proposes guidelines for energy utilization in a phthalic anhydride process for the optimum energy cost. A better alternative of the energy to be used was considered. In this current work, the utilization of steam obtaining from the exothermic reaction of o-xylene oxidation was firstly evaluated. Based on the energy cost calculation from both theoretical and practical data, it was concluded that using this steam as a heating media in the phthalic anhydride process instead of using hot oil preheated by natural gas contributed more benefit than using this steam to produce electricity by 2 steam turbines. Secondly, a plan to use this available steam for starting up the plant was considered. The suggestion was decided by using this steam to replace the steam produced by the boilers, then to use as the heating media instead of hot oil preheated by natural gas, and to produce electricity by steam turbines accordingly. These guidelines accounted for less energy cost due to equipment involved which was about 27,000 Baht per one start up.

# กิตติกรรมประกาศ

คณะผู้ดำเนินโครงการขอขอบพระคุณผู้บริหารของ บริษัท คอนทิเนนทอล ปีโตรเคมีคอล (ประเทศไทย) จำกัด ดร.ศิริพล คุนาริพงษ์ General Manager (Technical & Production) และ QMR อาจารย์ที่ปรึกษาร่วม และทีมงานของบริษัท

ขอขอบคุณสำนักงานกองทุนสนับสนุนงานวิจัย (สกว.) และบริษัท ที่สนับสนุนทุนวิจัยในการดำเนินโครงการ

ขอขอบคุณ รศ.ดร.อัญชลีพร วาริตสวัสดิ์ หล่อทองคำ อาจารย์ที่ปรึกษาที่ให้คำปรึกษาในการทำโครงการ และตรวจแก้ไขรายงาน ทำให้ปริยญาธิพนธ์ฉบับนี้มีความสมบูรณ์ยิ่งขึ้น

สุดท้ายนี้ขอกราบขอบพระคุณ บิดา มารดา ครูอาจารย์ทุกท่านที่ให้การสนับสนุน ให้กำลังใจ และคำแนะนำตลอดมา หากมีสิ่งผิดพลาดประการใด คณะผู้ดำเนินโครงการขออ้อมรับและขออภัยมา ณ ที่นี้



ภัสสร ไวยศยะวรินทร์

อมตะ อนันต์พินิจวัฒนา

# สารบัญ

	หน้า
บทคัดย่อภาษาไทย.....	I
บทคัดย่อภาษาอังกฤษ.....	II
กิตติกรรมประกาศ.....	III
สารบัญ.....	IV
สารบัญตาราง.....	VI
สารบัญรูป.....	VIII
บทที่ 1 บทนำ.....	1
1.1 ที่มาและความสำคัญของ โครงการงาน.....	1
1.2 วัตถุประสงค์.....	2
1.3 ขอบเขตของโครงการงาน.....	2
1.4 ประโยชน์ที่ได้รับ.....	3
บทที่ 2 ทฤษฎี.....	4
2.1 คุณพลังงานในระบบเปิดทั่วไป.....	4
2.2 คุณพลังงานของกระบวนการเคมี.....	4
2.3 กระบวนการผลิตพาทาลิกแอนไฮไดรด์.....	6
2.4 เทคนิคการประหยัดพลังงาน.....	10
บทที่ 3 การดำเนินงานและผลการดำเนินงาน.....	14
3.1 การเลือกใช้พลังงานที่เหมาะสมกว่าและสามารถทดแทนกันได้ เพื่อต้นทุนพลังงานที่เหมาะสม.....	14
3.2 วางแผนการใช้ไอน้ำที่ได้จากการถ่ายเทความร้อนจากปฏิกิริยาออกซิเดชันของ อโทไซลีนในช่วงเริ่มกระบวนการผลิตพาทาลิกแอนไฮไดรด์.....	28

## สารบัญ (ต่อ)

	หน้า
บทที่ 4 สรุปผลและข้อเสนอแนะ.....	33
4.1 ผลการเลือกใช้พลังงานที่เหมาะสมกว่าและสามารถทดแทนกันได้ เพื่อต้นทุนพลังงานที่เหมาะสม.....	33
4.2 แผนการใช้ไอน้ำที่ได้จากปฏิกิริยาออกซิเดชันของอโทโซลีน ในช่วงเริ่มกระบวนการผลิตพาทาลิกแอนไฮไดรด์.....	33
4.3 ข้อเสนอแนะ.....	33
เอกสารอ้างอิง.....	35
ภาคผนวก.....	36
ภาคผนวก ก การคำนวณความร้อนจากปฏิกิริยาออกซิเดชันของอโทโซลีน.....	37
ภาคผนวก ข ข้อมูลของหม้อไอน้ำ.....	43
ภาคผนวก ค ข้อมูลของน้ำมันถ่ายเทความร้อนจากบริษัทผู้ผลิต.....	46
ภาคผนวก ง ข้อมูลของกังหันไอน้ำ.....	49
ภาคผนวก จ ข้อมูลการเริ่มกระบวนการผลิต.....	55
ภาคผนวก ฉ ข้อมูลการใช้พลังงานของบริษัท.....	62
ภาคผนวก ช การคำนวณมูลค่าพลังงานในการเลือกใช้พลังงานที่เหมาะสมกว่า และสามารถทดแทนกันได้.....	64
ภาคผนวก ซ การคำนวณมูลค่าพลังงานที่ใช้ในช่วงเริ่มกระบวนการผลิต.....	81

# สารบัญตาราง

	หน้า
ตารางที่ 3.1 ราคาต่อหน่วยของพลังงานไฟฟ้าและก๊าซธรรมชาติปี พ.ศ. 2551.....	19
ตารางที่ 3.2 สมบัติของน้ำป้อนหม้อไอน้ำและไอน้ำที่ใช้ในระบบ .....	22
ตารางที่ 3.3 มูลค่าพลังงานทางทฤษฎีในช่วงเริ่มกระบวนการผลิต.....	31
ตารางที่ 3.4 มูลค่าพลังงานจากภาวะปฏิบัติการในช่วงเริ่มกระบวนการผลิต.....	32
ตารางที่ ก-1 ความร้อนมาตรฐานของการเกิด.....	39
ตารางที่ ก-2 องค์ประกอบและสมบัติของผลิตภัณฑ์หลักและ ผลิตภัณฑ์ข้างเคียงจากเครื่องปฏิกรณ์.....	37
ตารางที่ ก-3 ความร้อนมาตรฐานของทุกปฏิกิริยาที่เกิดขึ้น.....	41
ตารางที่ ข-1 อัตราการใช้ น้ำมันเตาของหม้อไอน้ำ 12A.....	44
ตารางที่ ข-2 อัตราการใช้ น้ำมันเตาของหม้อไอน้ำ 16A.....	45
ตารางที่ ค-1 สมบัติของน้ำมันถ่ายเทความร้อนอุณหภูมิต่ำ และน้ำมันถ่ายเทความร้อนอุณหภูมิสูง.....	48
ตารางที่ ง-1 ข้อมูลเชิงเทคนิคของกังหัน ไอน้ำเครื่องที่ 1 จากบริษัทผู้ผลิต.....	49
ตารางที่ ง-2 ข้อมูลเชิงเทคนิคของกังหัน ไอน้ำเครื่องที่ 2 จากบริษัทผู้ผลิต.....	50
ตารางที่ ง-3 กระแสไฟฟ้าที่ผลิตได้จากภาวะการปฏิบัติงาน.....	51
ตารางที่ จ-1 อัตราการใช้วัตถุดิบและสาธารณูปโภคระหว่างเริ่มกระบวนการผลิตครั้งที่ 1.....	55
ตารางที่ จ-2 อัตราการใช้วัตถุดิบและสาธารณูปโภคระหว่างเริ่มกระบวนการผลิตครั้งที่ 2.....	60
ตารางที่ ฉ-1 อัตราการใช้ไฟฟ้าในการผลิตพาทาลิกแอนไฮไดรด์ทั้ง 2 โรงงาน ไดออกทิลพาทาเลต และอาคารสำนักงาน.....	62
ตารางที่ ฉ-2 อัตราการใช้ก๊าซธรรมชาติในการผลิตพาทาลิกแอนไฮไดรด์ทั้ง 2 โรงงาน และไดออกทิลพาทาเลต.....	63
ตารางที่ ช-1 มูลค่าพลังงานเมื่อนำไอน้ำไปให้ความร้อนแทน น้ำมันถ่ายเทความร้อนอุณหภูมิสูงที่อุณหภูมิด้วยก๊าซธรรมชาติ.....	69
ตารางที่ ช-2 มูลค่าพลังงานเมื่อนำไอน้ำไปใช้ผลิตกระแสไฟฟ้าด้วยกังหันไอน้ำเครื่องที่ 1.....	72
ตารางที่ ช-3 มูลค่าพลังงานเมื่อนำไอน้ำไปใช้ผลิตกระแสไฟฟ้าด้วยกังหันไอน้ำเครื่องที่ 2.....	75
ตารางที่ ช-4 ความคุ้มค่าเชิงเศรษฐศาสตร์ของรูปแบบการใช้ไอน้ำที่ได้จาก การถ่ายเทความร้อนจากปฏิกิริยาออกซิเดชันของอโทไซลีน.....	78

## สารบัญตาราง (ต่อ)

	หน้า
ตารางที่ ช-5 อัตราการผลิตไอน้ำของอุปกรณ์ชอลท์บาทกุลเลอร์จาก การคำนวณทางทฤษฎีเปรียบเทียบกับภาวะการปฏิบัติงาน .....	79
ตารางที่ ช-1 มูลค่าพลังงานทางทฤษฎีในช่วงเริ่มกระบวนการผลิต .....	83
ตารางที่ ช-2 มูลค่าพลังงานเมื่อใช้ข้อมูลปฏิบัติการในช่วงเริ่มกระบวนการผลิต .....	88



# สารบัญรูป

	หน้า
รูปที่ 2.1 แผนผังกระบวนการผลิตพาทาลิกแอนไฮไดรด์.....	9
รูปที่ 2.2 เหตุผลในการดำเนินการประหยัดพลังงาน.....	10
รูปที่ 3.1 แผนภาพอย่างง่ายของระบบไอน้ำและไอน้ำกลั่นตัว ของกระบวนการผลิตพาทาลิกแอนไฮไดรด์.....	15
รูปที่ 3.2 ปริมาณการใช้พลังงานไฟฟ้าและก๊าซธรรมชาติ (มกราคม-กันยายน พ.ศ. 2551).....	18
รูปที่ 3.3 สัดส่วนการใช้พลังงานไฟฟ้าและก๊าซธรรมชาติ.....	19
รูปที่ 3.4 อัตราการคายความร้อนจากปฏิกิริยาออกซิเดชันต่ออัตราการไหลเชิงมวล ของอโทไซลีน.....	20
รูปที่ 3.5 มูลค่ากระแสไฟฟ้าที่ผลิตได้จากไอน้ำความดัน 20 บาร์ อุณหภูมิ 340 องศาเซลเซียส ด้วยกังหันไอน้ำเครื่องที่ 1.....	21
รูปที่ 3.6 มูลค่ากระแสไฟฟ้าที่ผลิตได้จากไอน้ำความดัน 29 บาร์ อุณหภูมิ 320 องศาเซลเซียส ด้วยกังหันไอน้ำเครื่องที่ 2.....	21
รูปที่ 3.7 อัตราการผลิตไอน้ำสำหรับใช้ให้ความร้อนในกระบวนการผลิต และผลิตกระแสไฟฟ้า.....	23
รูปที่ 3.8 การเปรียบเทียบความคุ้มค่าเชิงเศรษฐศาสตร์ของรูปแบบการใช้พลังงาน.....	24
รูปที่ 3.9 อัตราการผลิตไอน้ำของอุปกรณ์ซอลท์บาททูลเดอร์จากความร้อนจากปฏิกิริยา.....	25
รูปที่ 3.10 อัตราการผลิตกระแสไฟฟ้าจากไอน้ำด้วยกังหันไอน้ำเครื่องที่ 1.....	26
รูปที่ 3.11 อัตราการผลิตกระแสไฟฟ้าจากไอน้ำด้วยกังหันไอน้ำเครื่องที่ 2.....	26
รูปที่ 3.12 การเปรียบเทียบความคุ้มค่าเชิงเศรษฐศาสตร์ของรูปแบบการใช้พลังงาน จากภาวะการปฏิบัติงาน.....	27
รูปที่ 3.13 ขั้นตอนการใช้ไอน้ำในช่วงเริ่มกระบวนการผลิตก่อนการดำเนินงาน.....	29
รูปที่ 3.14 แนวทางการใช้ไอน้ำในช่วงเริ่มกระบวนการผลิตที่เสนอ.....	30
รูปที่ 3.1 อัตราการผลิตกระแสไฟฟ้าด้วยกังหันไอน้ำเครื่องที่ 1 จากบริษัทผู้ผลิต เมื่อใช้ไอน้ำความดัน 20 บาร์ อุณหภูมิ 340 องศาเซลเซียส.....	50

## สารบัญรูป (ต่อ)

	หน้า
รูปที่ ง.2 อัตราการผลิตกระแสไฟฟ้าด้วยกังหันไอน้ำเครื่องที่ 2 จากบริษัทผู้ผลิต เมื่อใช้ไอน้ำความดัน 29 บาร์ อุณหภูมิ 320 องศาเซลเซียส.....	51
รูปที่ ง.3 กระแสไฟฟ้าที่ผลิตด้วยกังหันไอน้ำเครื่องที่ 1 ที่ภาวะการปฏิบัติงาน.....	54
รูปที่ ง.4 กระแสไฟฟ้าที่ผลิตด้วยกังหันไอน้ำเครื่องที่ 2 ที่ภาวะการปฏิบัติงาน.....	54



# บทที่ 1

## บทนำ

### 1.1 ที่มาและความสำคัญของโครงการ

จากแนวโน้มความต้องการและราคาของพลังงานเชื้อเพลิงที่สูงขึ้นอย่างรวดเร็วเนื่องจากแหล่งพลังงานจำกัด ในปี พ.ศ. 2546 คณะรัฐมนตรีได้มีมติดำเนินนโยบายด้านพลังงานของประเทศภายใต้เป้าหมายลดการใช้พลังงานต่อค่าผลิตภัณฑ์ภายในประเทศเบื้องต้น (Gross Domestic Product :GDP) ของประเทศจาก 1.4 :1 เป็น 1:1 ภายในระยะเวลา 5 ปี กระทรวงพลังงานในฐานะหน่วยงานกำกับดูแลและรับผิดชอบด้านพลังงานได้กำหนดเป้าหมายเชิงยุทธศาสตร์ให้เพิ่มประสิทธิภาพการใช้พลังงานในภาคขนส่งและภาคอุตสาหกรรม และรณรงค์การประหยัดพลังงานอย่างต่อเนื่องเพื่อความมั่นคงด้านพลังงาน [1] ข้อมูลจากสำนักงานนโยบายและแผนพลังงาน กระทรวงพลังงาน ระบุว่ามูลค่าการนำเข้าพลังงานของประเทศในปี พ.ศ. 2550 สูงถึง 869,038 ล้านบาท ซึ่งเป็นการใช้โดยภาคอุตสาหกรรมถึงร้อยละ 36 [2] ดังนั้นรัฐบาลจึงกำหนดมาตรการและข้อบังคับให้โรงงานอุตสาหกรรมดำเนินการอย่างใดอย่างหนึ่งดังต่อไปนี้ [3]

1. การปรับปรุงประสิทธิภาพของการเผาไหม้เชื้อเพลิง
2. การป้องกันการสูญเสียพลังงาน
3. การนำพลังงานที่เหลือจากการใช้แล้วกลับมาใช้ใหม่
4. การเปลี่ยนไปใช้พลังงานอีกประเภทหนึ่งที่เหมาะสม
5. การปรับปรุงการใช้ไฟฟ้าด้วยวิธีปรับปรุงตัวประกอบกำลังไฟฟ้า การลดความต้องการพลังงานไฟฟ้าสูงสุดในช่วงความต้องการใช้ไฟฟ้าสูงสุดของระบบ การใช้อุปกรณ์ไฟฟ้าให้เหมาะสมกับภาระและวิธีการอื่น
6. การใช้เครื่องจักรหรืออุปกรณ์ที่มีประสิทธิภาพสูง ตลอดจนใช้ระบบควบคุมการทำงานและวัสดุที่ช่วยในการอนุรักษ์พลังงาน
7. การอนุรักษ์พลังงานโดยวิธีอื่นตามที่กำหนดในกฎกระทรวง

บริษัท คอนทิเนนทอล ปีโตรเคมีคอล (ประเทศไทย) จำกัด ที่ร่วมโครงการนี้เป็นบริษัทที่ดำเนินธุรกิจปิโตรเคมีขั้นกลาง มีกำลังการผลิตพาทาลิกแอนไฮไดรด์จาก 2 โรงงาน 50,000 ตัน/ปี และไดออกซิลพาทาลิก 36,000 ตัน/ปี พลังงานที่บริษัทใช้จากค่าไฟฟ้า ค่าก๊าซธรรมชาติ และค่าน้ำมันเตา ประกอบด้วย

1. ไฟฟ้าที่ใช้ในกระบวนการผลิตและอาคารสำนักงาน บริษัทผลิตกระแสไฟฟ้าใช้เองด้วยกังหันไอน้ำ (Steam Turbine) โดยใช้ไอน้ำที่ได้จากการถ่ายเทความร้อนจากปฏิกิริยาออกซิเดชัน

เอกสารนี้เป็นเอกสารที่สงวนไว้สำหรับการใช้งานเพื่อการศึกษาเท่านั้น ไม่อนุญาตให้นำไปใช้ประโยชน์ด้านการค้า ไม่ว่ากรณีใดๆ ทั้งสิ้น อีกทั้งห้ามมิให้ตัดแปลงเนื้อหา และต้องอ้างอิงถึงเจ้าของเอกสารทุกครั้งที่มีการนำไปใช้

ของออตโตไฮลีนที่เครื่องปฏิกรณ์ และจะซื้อบางส่วนจากการไฟฟ้านครหลวงเมื่อปริมาณกระแสไฟฟ้าที่บริษัทผลิตไม่เพียงพอ

2. ก๊าซธรรมชาติที่ใช้อุ่นน้ำมันถ่ายเทความร้อนอุณหภูมิสูง (Malotherm, Therminol-66) ที่ใช้เป็นตัวกลางถ่ายเทความร้อนให้กับน้ำมันถ่ายเทความร้อนอุณหภูมิต่ำ (Santotherm, Therminol VP-1) สำหรับป้อนสวิตช์ก๊าซคอนเดนเซอร์เพื่อใช้หลอมเหลวพาทาลิกแอนไฮไดรด์ดิบ

3. น้ำมันเตาที่ใช้ผลิตไอน้ำที่หม้อไอน้ำสำหรับอุปกรณ์แลกเปลี่ยนความร้อนในกระบวนการผลิต

จากการศึกษาแผนผังกระบวนการผลิต (Process Flow Diagrams: PFD) แผนผังแสดงระบบท่อและอุปกรณ์ (Piping and Instrument Diagrams: P&ID) มีความเป็นไปได้ในการเลือกใช้พลังงานที่เหมาะสมกว่าและสามารถทดแทนกันได้ในช่วงเริ่มกระบวนการผลิต (Start Up) และระหว่างกระบวนการผลิต จากไอน้ำอ้อมตัวความดันสูงจากการถ่ายเทความร้อนของปฏิกิริยาออกซิเดชันของออตโตไฮลีนและน้ำมันถ่ายเทความร้อนอุณหภูมิสูงที่อุ่นด้วยก๊าซธรรมชาติที่เครื่องอุ่นอากาศ (Air Preheater) เครื่องอุ่นน้ำมันถ่ายเทความร้อนอุณหภูมิต่ำ (Therminol VP-1 Heater) และเครื่องอุ่นพาทาลิกแอนไฮไดรด์ดิบ (Crude PA Preheater)

ในโครงการนี้จะดูพลังงานในกระบวนการผลิตและพิจารณามูลค่าของพลังงานไอน้ำที่ผลิตได้เฉพาะจากโรงงานที่ 1 ที่มีกำลังการผลิตพาทาลิกแอนไฮไดรด์ประมาณ 2,200 กิโลกรัม/ชั่วโมงด้วยออตโตไฮลีนประมาณ 2,114 กิโลกรัม/ชั่วโมง เพื่อเลือกใช้พลังงานที่เหมาะสมกว่าและสามารถทดแทนกันได้สำหรับต้นทุนพลังงานที่เหมาะสม ทำให้สามารถใช้ทรัพยากรพลังงานได้อย่างมีประสิทธิภาพก่อให้เกิดประโยชน์เชิงเศรษฐศาสตร์ต่อบริษัทและสอดคล้องกับนโยบายของประเทศ

## 1.2 วัตถุประสงค์ของโครงการ

ศึกษาและกำหนดแนวทางการใช้พลังงานในกระบวนการผลิตพาทาลิกแอนไฮไดรด์ที่เหมาะสมเพื่อลดต้นทุนด้านพลังงาน

## 1.3 ขอบเขตของโครงการ

- 1.3.1 ศึกษาทฤษฎีที่เกี่ยวข้อง
- 1.3.2 ศึกษากระบวนการผลิตพาทาลิกแอนไฮไดรด์
- 1.3.3 เก็บข้อมูลการใช้พลังงานไฟฟ้า ก๊าซธรรมชาติ และน้ำมันเตา
- 1.3.4 ดูพลังงานในกระบวนการผลิต
- 1.3.5 วิเคราะห์เชิงเศรษฐศาสตร์เพื่อเลือกใช้พลังงานที่เหมาะสมกว่าและสามารถทดแทนกันได้

เอกสารนี้เป็นเอกสารที่สงวนไว้สำหรับการใช้งานเพื่อการศึกษาเท่านั้น ไม่อนุญาตให้นำไปใช้ประโยชน์ด้านการค้า ไม่ว่ากรณีใดๆ ทั้งสิ้น อีกทั้งห้ามมิให้ตัดแปลงเนื้อหา และต้องอ้างอิงถึงเจ้าของเอกสารทุกครั้งที่มีการนำไปใช้

1.3.6 เสนอแนวทางการใช้พลังงานในกระบวนการผลิตพาทาลิกแอนไฮไดรด์ที่มีต้นทุนพลังงานต่ำ

## 1.4 ประโยชน์ที่ได้รับ

1.4.1 แนวทางการใช้พลังงานที่คุ้มค่าเชิงเศรษฐศาสตร์ในกระบวนการผลิตพาทาลิกแอนไฮไดรด์

1.4.2 ลดต้นทุนด้านพลังงาน

1.4.3 นักศึกษาได้เรียนรู้การปฏิบัติงานจริงภายในโรงงาน และเกิดทักษะในการแก้ปัญหาที่เกิดขึ้น



เอกสารนี้เป็นเอกสารที่สงวนไว้สำหรับการใช้งานเพื่อการศึกษาเท่านั้น ไม่อนุญาตให้นำไปใช้ประโยชน์ด้านการค้า ไม่ว่าจะกรณีใดๆ ทั้งสิ้น อีกทั้งห้ามมิให้ตัดแปลงเนื้อหา และต้องอ้างอิงถึงเจ้าของเอกสารทุกครั้งที่มีการนำไปใช้

## บทที่ 2

### ทฤษฎี

#### 2.1 คุณพลังงานในระบบเปิดทั่วไป [4]

จากกฎการอนุรักษ์พลังงาน อัตราการเปลี่ยนแปลงพลังงานในระบบเปิดมีค่าเท่ากับผลรวมของพลังงานที่ถ่ายเทเข้าและออกทั้งหมดในระบบนั้น ในรูปแบบของพลังงานภายใน พลังงานศักย์ พลังงานจลน์ รวมถึงพลังงานความร้อน และงาน ที่เกี่ยวข้องกับระบบ โดยมีสมการทั่วไป คือ

$$\frac{d(mU)_{cv}}{dt} + \Delta\left[\left(H + \frac{1}{2}u^2 + zg\right)\dot{m}\right]_{fs} = \dot{Q} + \dot{W} \quad (2.1)$$

เมื่อ

$\frac{d(mU)_{cv}}{dt}$	: อัตราการเปลี่ยนแปลงของพลังงานเทียบกับเวลา
$\Delta H$	: ผลต่างของเอนทัลปีระหว่างกระแสที่ไหลเข้าและออกจากระบบ
$\Delta \frac{1}{2}u^2$	: ผลต่างพลังงานจลน์ระหว่างกระแสที่ไหลเข้าและออกจากระบบ
$\Delta zg$	: ผลต่างพลังงานศักย์ระหว่างกระแสที่ไหลเข้าและออกจากระบบ
$\dot{m}$	: อัตราการไหลเชิงมวลของสาร
$\dot{Q}$	: อัตราการถ่ายเทความร้อนสุทธิของระบบ
$\dot{W}$	: งานสุทธิของระบบ

#### 2.2 คุณพลังงานของกระบวนการเคมี (Balances on Reactive Processes) [5]

ในปฏิกิริยาระหว่างโมเลกุลที่เสถียรจะต้องการพลังงานที่ใช้ในการแตกสลายพันธะเคมีของสารตั้งต้นและเมื่อเกิดการสร้างพันธะของสารผลิตภัณฑ์จะมีพลังงานส่วนหนึ่งถูกปลดปล่อยออกมา ถ้าพลังงานที่ใช้ในการสร้างพันธะมากกว่าพลังงานที่ใช้ในการสลายพันธะปฏิกิริยาดังกล่าวจะเป็นปฏิกิริยาคายความร้อน (Exothermic Reaction) พลังงานรวมที่ถูกปลดปล่อย (Heat of Reaction) จะถ่ายเทจากเครื่องปฏิกรณ์ไปยังสิ่งแวดล้อมในรูปของความร้อนหรืองาน ทำให้อุณหภูมิของระบบเพิ่มขึ้น ในทางตรงกันข้ามถ้าพลังงานที่ใช้ในการสลายพันธะมากกว่าจะเป็นปฏิกิริยาดูดความร้อน (Endothermic Reaction) จะต้องให้พลังงานแก่เครื่องปฏิกรณ์ในรูปของความร้อนหรืองาน อุณหภูมิจะลดลง

การเปลี่ยนแปลงของพลังงานภายในหรือเอนทัลปีของปฏิกิริยาเคมีที่เกิดขึ้นในเครื่องปฏิกรณ์ จะส่งผลต่อการออกแบบและการปฏิบัติการของกระบวนการ ถ้าเป็นปฏิกิริยาดูดความร้อน จำเป็นต้องให้พลังงานแก่เครื่องปฏิกรณ์ แต่ต้องคำนึงถึงปริมาณและราคาพลังงานที่ต้องใช้ ในกรณี

ที่เป็นปฏิกิริยาคายความร้อน จะต้องทราบปริมาณความร้อนที่ถูกถ่ายเทออกมาและหาวิธีควบคุมอุณหภูมิของเครื่องปฏิกรณ์ให้อยู่ในค่าที่กำหนด เพื่อความปลอดภัยในการปฏิบัติการและให้ได้คุณภาพของผลิตภัณฑ์ตามต้องการ ความร้อนที่ถูกถ่ายเทออกจากปฏิกิริยาสามารถนำไปใช้ประโยชน์ เช่น การผลิตไอน้ำที่หม้อต้มไอน้ำด้วยความร้อนจากเครื่องปฏิกรณ์หรือจากเตาเผา การดูแลพลังงานที่เครื่องปฏิกรณ์ทำให้ทราบว่าต้องให้พลังงานเท่าใด หรือใช้สารหล่อเย็นปริมาณเท่าใด

ค่าความร้อนของปฏิกิริยา (Heat of Reaction)  $\Delta\hat{H}_r(T, P)$  หรือเอนทัลปีของปฏิกิริยา คือ การเปลี่ยนแปลงของพลังงานหรือเอนทัลปีในกระบวนการซึ่งสารตั้งต้นเกิดปฏิกิริยาเดี่ยวอย่างสมบูรณ์กลายเป็นผลิตภัณฑ์ที่อุณหภูมิและความดันเดียวกัน

1. ถ้า  $\Delta\hat{H}_r(T, P)$  มีค่าเป็นบวก จะเป็นปฏิกิริยาคูดความร้อนที่อุณหภูมิ T และความดัน P และ ถ้า  $\Delta\hat{H}_r(T, P)$  มีค่าเป็นลบ แสดงว่าเป็นปฏิกิริยาคายความร้อนที่อุณหภูมิ T และความดัน P

2. ที่ความดันต่ำหรือปานกลาง  $\Delta\hat{H}_r(T, P)$  จะไม่ขึ้นกับความดัน

3. ค่าความร้อนของปฏิกิริยาขึ้นกับสมการเคมีและสถานะของสารตั้งต้นและผลิตภัณฑ์

4. ความร้อนมาตรฐานของปฏิกิริยา  $\Delta\hat{H}_r^\circ$  คือ ความร้อนของปฏิกิริยาที่สารตั้งต้นและผลิตภัณฑ์ที่อุณหภูมิและความดันอ้างอิง (25 องศาเซลเซียส 1 บรรยากาศ) คำนวณได้จากสมการที่ 2.2

$$\Delta\hat{H}_r^\circ = \sum_{\text{Product}} |v_i| \Delta\hat{H}_{fi}^\circ - \sum_{\text{Reactant}} |v_i| \Delta\hat{H}_{fi}^\circ \quad (2.2)$$

$v_i$  = สัมประสิทธิ์ปริมาณสารสัมพันธ์ของสาร i ในปฏิกิริยา (Stoichiometric Coefficient of Species i)

$\Delta\hat{H}_{fi}^\circ$  = ความร้อนมาตรฐานของการเกิดของสาร i (Standard Heat of Formation of Species i)

การคำนวณ  $\Delta\hat{H}$  ของเครื่องปฏิกรณ์คำนวณได้ดังนี้

$$\Delta\hat{H} = \dot{\epsilon}_j \Delta\hat{H}_r^\circ + \sum \dot{n}_{out} \hat{H}_{out} - \sum \dot{n}_{in} \hat{H}_{in} \quad (2.3.1)$$

$$= \sum_{\text{Reaction}} \dot{\epsilon}_j \Delta\hat{H}_{rj}^\circ + \sum \dot{n}_{out} \hat{H}_{out} - \sum \dot{n}_{in} \hat{H}_{in} \quad (2.3.2)$$

สมการที่ 2.3.1 สำหรับปฏิกิริยาเดี่ยว (Single Reaction) และสมการที่ 2.3.2 สำหรับหลายปฏิกิริยา (Multiple Reactions)

โดยที่  $\dot{\epsilon}_j$  = Extent of Reaction คำนวณได้จากสมการที่ 2.4

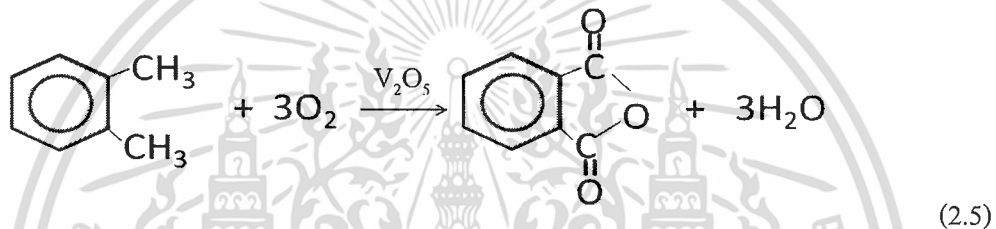
เอกสารนี้เป็นเอกสารที่สงวนไว้สำหรับการใช้งานเพื่อการศึกษาเท่านั้น ไม่อนุญาตให้นำไปใช้ประโยชน์ด้านการค้า ไม่ว่ากรณีใดๆ ทั้งสิ้น อีกทั้งห้ามมิให้ตัดแปลงเนื้อหา และต้องอ้างอิงถึงเจ้าของเอกสารทุกครั้งที่มีการนำไปใช้

$$\dot{\epsilon} = \frac{|n_{A,out} - n_{A,in}|}{|v_A|} = \frac{n_{A,r}}{v_A} \quad (2.4)$$

$n_{A,r}$  = โมลของสาร A ที่ใช้ทำปฏิกิริยา

### 2.3 กระบวนการผลิตพาทาลิกแอนไฮไดรด์ [6]

พาทาลิกแอนไฮไดรด์ (Phthalic Anhydride) เกิดจากปฏิกิริยาออกซิเดชันของอโทไซลีน (o-Xylene) กับออกซิเจน ( $O_2$ ) พาทาลิกแอนไฮไดรด์เป็นสารตัวกลางในการผลิตพลาสติกจาก ไวนิลคลอไรด์ และเป็นสารตั้งต้นในการผลิตพาทาลเอสเทอร์ที่ใช้เป็นพลาสติกไซเซอรและ พอลิเอสเทอร์ที่เติมลงในสี แล็กเกอร์ สีย้อมและยาฆ่าแมลง ปฏิกิริยาการเกิดพาทาลิกแอนไฮไดรด์ ดังสมการที่ 2.5



นอกจากนี้ยังเกิดปฏิกิริยาข้างเคียง (Side Reactions) ได้ผลิตภัณฑ์ข้างเคียง ได้แก่ กรดเบนโซอิก (Benzoic Acid) มาเลอิกแอนไฮไดรด์ (Maleic Anhydride) ไซทราโคนิกแอนไฮไดรด์ (Citraconic Anhydride) คาร์บอนมอนอกไซด์ (Carbon Monoxide) คาร์บอนไดออกไซด์ (Carbon Dioxide)

กระบวนการผลิตพาทาลิกแอนไฮไดรด์ของบริษัทที่เป็นกรณีศึกษาแบ่งออกเป็น 4 ส่วนคือ

1. ส่วนออกซิเดชัน (Oxidation Part)
2. ส่วนควบแน่น (Condensation Part)
3. ส่วนเตรียมก่อนการกลั่นและการกลั่น (Pretreatment and Distillation Parts)
4. ส่วนเก็บผลิตภัณฑ์ ทำเกล็ด และบรรจุ (Storing, Flaking and Bagging Parts)

รายละเอียดของแต่ละส่วนมีดังนี้

1. ส่วนออกซิเดชัน (Oxidation Part) อากาศจะถูกส่งผ่านเครื่องกรองอากาศและผ่านเครื่องอุ่นอากาศ เพื่อเพิ่มอุณหภูมิจาก 30 องศาเซลเซียส เป็น 150 องศาเซลเซียส ก่อนเข้าเครื่องระเหยอโทไซลีน (o-Xylene Evaporator) ในขณะที่อโทไซลีนจะถูกส่งจากถังเก็บ ผ่านเข้าเครื่องกรองและเครื่องอุ่นอโทไซลีน (o-Xylene Preheater) จนมีอุณหภูมิประมาณ 150-170 องศาเซลเซียส แล้วจึงผ่านเข้าเครื่องระเหยอโทไซลีน เพื่อเปลี่ยนให้อยู่ในสถานะไอและผสมกับอากาศ ก๊าซผสมจะถูกส่งเข้าไปยังเครื่องปฏิกรณ์ (Reactor) ที่บรรจุวานาเดียมเพนทอกไซด์

เอกสารนี้เป็นเอกสารที่สงวนไว้สำหรับการใช้งานเพื่อการศึกษาเท่านั้น ไม่อนุญาตให้นำไปใช้ประโยชน์ด้านการค้า ไม่ว่ากรณีใดๆ ทั้งสิ้น อีกทั้งห้ามมิให้ตัดแปลงเนื้อหา และต้องอ้างอิงถึงเจ้าของเอกสารทุกครั้งที่มีการนำไปใช้

ทำหน้าที่เป็นตัวเร่งปฏิกิริยา และเกิดปฏิกิริยาออกซิเดชัน ผลิตภัณฑ์หลักที่ได้คือพาทาลิกแอนไฮไดรด์ในสถานะของก๊าซ เรียกว่า ก๊าซพาทาลิกแอนไฮไดรด์ดิบ (Crude PA Gas) ซึ่งจะผ่านเข้าก๊าซคูลเลอร์ (Gas Cooler) ซึ่งเป็นอุปกรณ์แลกเปลี่ยนความร้อน เพื่อลดอุณหภูมิของก๊าซพาทาลิกแอนไฮไดรด์ดิบก่อนส่งไปยังส่วนควบแน่น เนื่องจากปฏิกิริยาออกซิเดชันของอโทไซลีนเป็นปฏิกิริยาคายความร้อน ( $\Delta H_r^\circ = -9,777.56$  กิโลจูล/กิโลกรัมอโทไซลีน) จึงต้องใช้เกลือหลอมเหลวของโพแทสเซียมไนเตรตและโซเดียมไนไตรต์ (Molten Salt of Potassium Nitrate ( $\text{KNO}_3$ ) and Sodium Nitrite ( $\text{NaNO}_2$ )) มารับความร้อนออกจากเครื่องปฏิกรณ์ แล้วนำไปถ่ายเทความร้อนให้กับน้ำป้อนหม้อไอน้ำที่อุปกรณ์ซอลท์บัทคูลเลอร์ (Salt Bath Cooler) และสตีมซูเปอร์ฮีตเตอร์ (Steam Superheater) ได้ไอน้ำอัมตัวความดันสูงและไอน้ำร้อนยวดยิ่ง

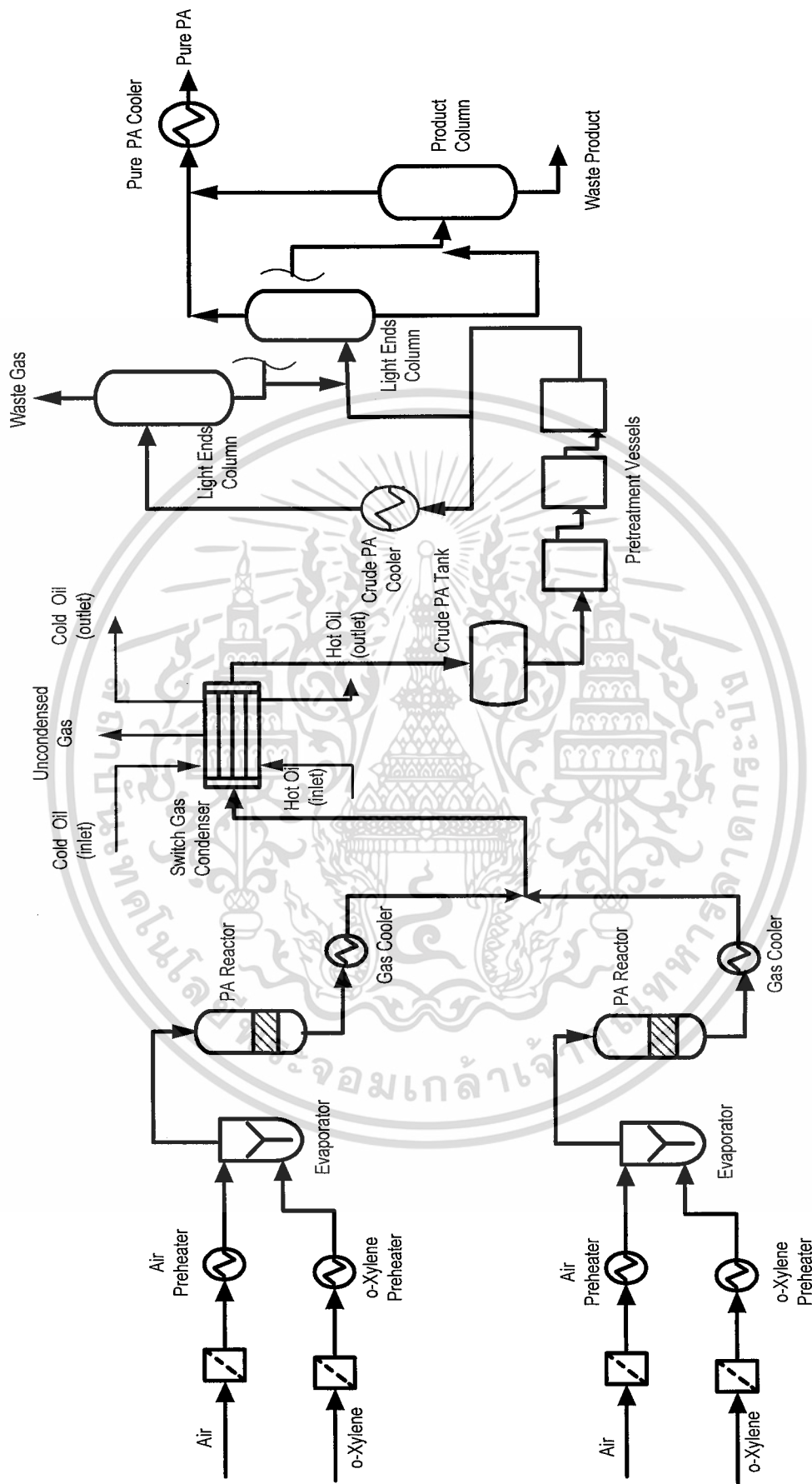
2. ส่วนควบแน่น (Condensation Part) ก๊าซพาทาลิกแอนไฮไดรด์ดิบที่ออกจากก๊าซคูลเลอร์จะมีอุณหภูมิลดลงเหลือประมาณ 160 องศาเซลเซียส ก๊าซพาทาลิกแอนไฮไดรด์ดิบจากเครื่องปฏิกรณ์ที่ 1 และ 2 จะถูกรวมเข้าด้วยกันและส่งเข้าสวิตช์ก๊าซคอนเดนเซอร์ ทั้ง 5 ตัวที่ประกอบด้วยกลุ่มของท่อแบบครีป สวิตช์ก๊าซคอนเดนเซอร์แต่ละตัวจะสลับกันทำงานระหว่างการรับผลิตภัณฑ์และการหลอมผลิตภัณฑ์โดยมีน้ำมันถ่ายเทความร้อนอุณหภูมิต่ำ (Therminol VP-1) อุณหภูมิ 50-55 องศาเซลเซียส เข้าแลกเปลี่ยนความร้อนกับก๊าซพาทาลิกแอนไฮไดรด์ดิบ ทำให้พาทาลิกแอนไฮไดรด์มีอุณหภูมิลดลงใกล้เคียงกับอุณหภูมิของการเปลี่ยนสถานะเป็นของแข็ง พาทาลิกแอนไฮไดรด์มีลักษณะค่อนข้างหนืดจึงเกาะติดบริเวณครีปในสวิตช์ก๊าซคอนเดนเซอร์ พาทาลิกแอนไฮไดรด์ที่ถูกลดอุณหภูมิจนกลายเป็นของเหลวหนืดจะถูกเพิ่มอุณหภูมิด้วยน้ำมันถ่ายเทความร้อนอุณหภูมิต่ำ อุณหภูมิ 180-190 องศาเซลเซียส จนความหนืดลดลงแล้วถูกส่งไปรวมกันในถังเก็บของเหลวพาทาลิกแอนไฮไดรด์ ก๊าซที่เกิดจากปฏิกิริยาข้างเคียงที่ไม่ถูกควบแน่น เช่นคาร์บอนไดออกไซด์ และคาร์บอนมอนอกไซด์ จะถูกส่งไปบำบัดที่หอดูดซับก๊าซเสีย

3. ส่วนเตรียมก่อนการกลั่นและการกลั่น (Pretreatment and Distillation Parts) ส่วนเตรียมก่อนการกลั่นประกอบด้วยถังเตรียมก่อนการกลั่น (Pretreatment Vessels) 3 ถัง ซึ่งต่ออนุกรมกันอยู่ของเหลวพาทาลิกแอนไฮไดรด์ดิบ จะถูกส่งมายังถังเตรียมก่อนการกลั่นถังที่หนึ่ง และเติมโซเดียมคาร์บอเนต ( $\text{Na}_2\text{CO}_3$ ) เพื่อปรับสภาพความเป็นกรด-เบสเพื่อไม่ให้พาทาลิกแอนไฮไดรด์หนืดเกินไปของเหลวพาทาลิกแอนไฮไดรด์บางส่วนจะถูกส่งผ่านเครื่องอุ่นพาทาลิกแอนไฮไดรด์ดิบ มารับความร้อนจากน้ำมันถ่ายเทความร้อนอุณหภูมิสูง (Therminol-66) อุณหภูมิประมาณ 340 องศาเซลเซียส เพื่อป้องกันไม่ให้พาทาลิกแอนไฮไดรด์ดิบเย็นตัวลง แล้วจึงวนกลับเข้าถังเตรียมก่อนการกลั่นถังที่หนึ่งอีกครั้ง ที่ถังเตรียมก่อนการกลั่นทั้งสามถัง ใช้น้ำมันถ่ายเทความร้อนอุณหภูมิสูง ในการรักษาอุณหภูมิของของเหลวพาทาลิกแอนไฮไดรด์ดิบ และมีไบกวนช่วยให้เกิดการผสมอย่างดีเพื่อให้มีอุณหภูมิเท่ากันทุกส่วน ส่วนก๊าซเสียที่เกิดจากปฏิกิริยาข้างเคียงจะใช้เครื่องดูดอากาศดูดออกไปบำบัด ของเหลวพาทาลิกแอนไฮไดรด์ดิบจะถูกส่งเข้าส่วนการกลั่น ซึ่งเอกสารนี้เป็นเอกสารที่สงวนไว้สำหรับการใช้งานเพื่อการศึกษาเท่านั้น ไม่อนุญาตให้นำไปใช้ประโยชน์ด้านการค้า ไม่ว่าจะกรณีใดๆ ทั้งสิ้น อีกทั้งห้ามมิให้คัดแปลงเนื้อหา และต้องอ้างอิงถึงเจ้าของเอกสารทุกครั้งที่มีการนำไปใช้

ประกอบด้วยหอกลับ 3 หอ คือ หอกลับเบา (Light Ends Column) 2 หอ และหอกลับผลิตภัณฑ์ (Product Column) 1 หอ โดยพาทาลิกแอนไฮไดรด์ดิบที่ถูกบำบัดจะผ่านเข้าเครื่องหล่อเย็นพาทาลิกแอนไฮไดรด์ดิบ (Crude PA Cooler) เพื่อลดอุณหภูมิก่อนส่งเข้าหอกลับเบาหอที่ 1 ซึ่งจะแยกก๊าซเสียที่มีจุดเดือดต่ำกว่าพาทาลิกแอนไฮไดรด์ออกจากยอดหอ ส่วนพาทาลิกแอนไฮไดรด์และสิ่งเจือปนที่มีจุดเดือดสูงจะไหลออกทางก้นหอแล้วถูกส่งเข้าหอกลับเบาที่ 2 ซึ่งจะแยกพาทาลิกแอนไฮไดรด์ที่บริสุทธิ์ออกจากยอดหอ ส่วนของเหลวที่ก้นหอจะถูกส่งเข้าหอกลับผลิตภัณฑ์เพื่อกลั่นแยกอีกครั้ง ดังรูปที่ 2.1 พาทาลิกแอนไฮไดรด์ที่บริสุทธิ์จะถูกทำให้เย็นลงเป็นของเหลวโดยผ่านเครื่องหล่อเย็นพาทาลิกแอนไฮไดรด์บริสุทธิ์ (Pure PA Cooler) ก่อนถูกส่งไปเก็บที่ถังเก็บ (Pure PA Tank)

4. ส่วนเก็บผลิตภัณฑ์ ทำเกล็ด และบรรจุ (Storing, Flaking and Bagging Parts) พาทาลิกแอนไฮไดรด์จะถูกแบ่งออกเป็น 3 ส่วน คือ

- 4.1 เพื่อการจำหน่าย แบบของเหลวและแบบเกล็ด
- 4.2 เพื่อใช้เป็นสารตั้งต้นในการผลิตไดออกทิลพทาเลต
- 4.3 เพื่อเก็บสำรองไว้จำหน่ายเมื่อโรงงานหยุดการผลิตชั่วคราว

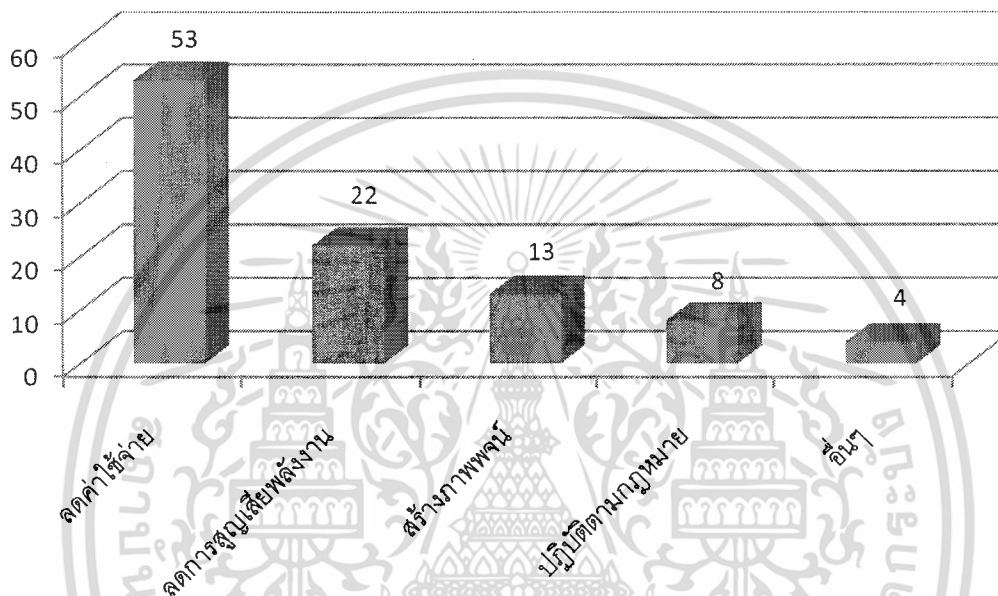


รูปที่ 2.1 แผนผังกระบวนการผลิตพาทาลิกแอนไฮไดรต์

เอกสารนี้เป็นเอกสารที่สงวนไว้สำหรับการใช้งานเพื่อการศึกษาเท่านั้น ไม่อนุญาตให้นำไปใช้ประโยชน์ด้านการค้า ไม่ว่าจะกรณีใดๆ ทั้งสิ้น อีกทั้งห้ามมิให้ตัดแปลงเนื้อหา และต้องอ้างอิงถึงเจ้าของเอกสารทุกครั้งที่มีการนำไปใช้

## 2.4 เทคนิคการประหยัดพลังงาน [7]

ค่าใช้จ่ายพลังงานเป็นต้นทุนที่สำคัญของโรงงานอุตสาหกรรมทุกประเภท การลดค่าใช้จ่ายพลังงานจะช่วยเพิ่มกำไรให้แก่ผู้ประกอบการได้ โดยเฉพาะอย่างยิ่งปัจจุบันเมื่อสภาพการแข่งขันทางธุรกิจมีความรุนแรงมากขึ้น อย่างไรก็ตามการลดค่าใช้จ่ายพลังงานให้สัมฤทธิ์ผลต้องรู้จักเลือกใช้เทคโนโลยีหรือเทคนิคที่เหมาะสมและมีกระบวนการในการนำเทคนิคไปใช้อย่างเป็นระบบ โดยทั่วไปเหตุผลที่ต้องดำเนินการประหยัดพลังงานแสดงดังรูปที่ 2.2



รูปที่ 2.2 เหตุผลในการดำเนินการประหยัดพลังงาน [7]

### 2.4.1 ความหมายของการประหยัดพลังงาน [8]

การประหยัดพลังงานในโรงงาน หมายถึง การจัดการด้านการใช้พลังงานเพื่อให้ได้ประโยชน์สูงสุด โดยไม่มีผลเสียต่อกิจกรรมการผลิตและคุณภาพของผลิตภัณฑ์ ด้วยการเลือกรูปแบบการใช้พลังงานที่เหมาะสม และใช้อุปกรณ์ที่มีประสิทธิภาพสูง ลดการสูญเสียพลังงาน ส่งผลต่อการใช้ทรัพยากรพลังงานอย่างยั่งยืน การลดต้นทุนการผลิต ลดการหยุดเครื่องจักรในขณะทำงาน และลดปัญหาด้านมลภาวะ

#### 2.4.2 หลักทั่วไปในการประหยัดพลังงานในโรงงาน

ก. การเลือกใช้พลังงานและเชื้อเพลิงอย่างเหมาะสม ในการเลือกใช้ชนิดของพลังงาน และเชื้อเพลิงที่เหมาะสมกับงานมากที่สุดต้องพิจารณาสมบัติกายภาพและราคาเพื่อให้ได้ประสิทธิภาพรวมสูงสุด

ข. การเลือกใช้วิธีแปลงพลังงานและกระบวนการผลิตอย่างเหมาะสม ในกรณีที่กระบวนการผลิตเป็นตัวกำหนดรูปแบบของพลังงานที่จะใช้ หากกระบวนการใดสามารถใช้พลังงานได้มากกว่าหนึ่งรูปแบบ ควรพิจารณาใช้พลังงานรูปแบบที่มีความเหมาะสมทั้งด้านเทคนิคและด้านเศรษฐศาสตร์

ค. การลดการสูญเสียและการใช้พลังงานอย่างมีประสิทธิภาพ การใช้พลังงาน ความร้อนและไฟฟ้าในโรงงานต้องศึกษาสภาพการใช้งานและรายละเอียดของอุปกรณ์ที่ใช้พลังงาน ศึกษาและวิเคราะห์แนวทางการลดการสูญเสียเนื่องจากสาเหตุต่างๆ เช่น ท่อไอน้ำรั่ว ลมรั่ว ฉนวนความร้อนเสื่อมสภาพ เป็นต้น เพื่อให้ใช้พลังงานอย่างมีประสิทธิภาพสูงสุด

ง. การนำพลังงานที่ยังมีศักยภาพกลับมาใช้ประโยชน์ เป็นการศึกษาวิเคราะห์นำความร้อนทิ้ง (Waste Heat) จากกระบวนการต่างๆ ที่ยังมีศักยภาพกลับมาใช้ให้เป็นประโยชน์ (Waste Heat Recovery) แต่ต้องคำนึงถึงความเหมาะสมเชิงเศรษฐศาสตร์

#### ตัวอย่างเทคนิคที่ใช้เพื่อการประหยัดพลังงาน

ก. อุปกรณ์ที่ช่วยประหยัดพลังงาน คือ อุปกรณ์หรือเครื่องจักรประสิทธิภาพสูงและอุปกรณ์ที่ติดตั้งเพื่อควบคุมการใช้พลังงาน เช่น มอเตอร์ประสิทธิภาพสูง อุปกรณ์ควบคุมความเร็วรอบมอเตอร์ เป็นต้น

ข. ระบบที่ช่วยในการประหยัดพลังงาน คือ ระบบควบคุมการใช้พลังงาน เช่น ระบบควบคุมอัตโนมัติ ระบบกักเก็บความเย็น ระบบความร้อนร่วม เป็นต้น

ค. วิธีการช่วยประหยัดพลังงาน คือ การจัดการการใช้อุปกรณ์เครื่องจักร เช่น การใช้อุปกรณ์อย่างถูกวิธี การจัดการเวลาการทำงานและการบำรุงรักษาอุปกรณ์เครื่องจักรที่เหมาะสม การออกแบบระบบและอุปกรณ์เพื่อการประหยัดพลังงาน เป็นต้น

#### 2.4.3 ประเภทของมาตรการประหยัดพลังงาน

มาตรการต่างๆ ในการประหยัดพลังงาน หากพิจารณาในลักษณะของการปรับปรุงหรือระดับการลงทุน โดยทั่วไปแบ่งออกเป็น 3 ประเภท คือ

ก. มาตรการที่ไม่ต้องลงทุนหรือลงทุนน้อยดำเนินการได้ง่าย เช่น การควบคุมอากาศส่วนเกิน การปรับความตึงของสายพาน การทำความสะอาดหอน้ำหล่อเย็นที่สกปรก เป็นต้น

ข. มาตรการที่มีการลงทุนปรับปรุงอุปกรณ์พอสมควรแต่ลงทุนไม่มาก เช่น การหุ้มฉนวน การนำคอนเดนเสทหรือไอน้ำกลับตัวกลับมาใช้ประโยชน์ การเปลี่ยนหัวเผาในหม้อไอน้ำ การติดตั้งเครื่องแลกเปลี่ยนความร้อน การติดตั้งกับดักไอน้ำ (Steam Trap) เป็นต้น

ค. มาตรการที่มีการลงทุนสูงระยะเวลาดำเนินการนาน โดยการเปลี่ยนแปลงหรือปรับปรุงอุปกรณ์เครื่องจักรหรือกระบวนการผลิตใหม่ เช่น การเปลี่ยนหม้อไอน้ำ การติดตั้งระบบนำความร้อนทิ้งกลับมาใช้ประโยชน์ การติดตั้งระบบความร้อนร่วม เป็นต้น

#### 2.4.4 ขั้นตอนดำเนินการเพื่อการประหยัดพลังงาน

ขั้นตอนในการนำเทคนิคประหยัดพลังงานไปใช้ อย่างมีประสิทธิภาพ ประกอบด้วย

ก. ตรวจสอบการใช้พลังงาน ตรวจสอบลักษณะการใช้พลังงานของอุปกรณ์ต่างๆ เพื่อเป็นข้อมูลสำหรับใช้วิเคราะห์ศักยภาพในการประหยัดพลังงาน

ข. วิเคราะห์ค่าใช้จ่ายพลังงาน

ค. วิเคราะห์ศักยภาพในการประหยัดพลังงาน เป็นการเลือกใช้เทคนิคการประหยัดพลังงานที่เหมาะสม

ง. วิเคราะห์การเงิน ประเมินว่าเทคนิคประหยัดพลังงานที่เลือกมีผลตอบแทนทางการเงินคุ้มค่าต่อการลงทุนหรือไม่

จ. กำหนดเป้าหมาย แผน และการลงทุน นำศักยภาพในการประหยัดของเทคนิคการประหยัดพลังงานมากำหนดเป้าหมาย หลังจากนั้นนำเป้าหมายมาจัดทำแผนและเลือกวิธีการลงทุนที่เหมาะสมต่อองค์กร แล้วจึงดำเนินการประหยัดพลังงาน

ฉ. ติดตามและประเมินผล หลังจากดำเนินการประหยัดพลังงานแล้วติดตามและประเมินผลว่าบรรลุผลตามเป้าหมายหรือไม่ และยังใช้สำหรับเป็นข้อมูลในการแก้ไขปรับปรุงเทคนิคการประหยัดพลังงานให้มีประสิทธิภาพดีขึ้น

#### 2.4.5 การตรวจสอบทำบัญชีพลังงาน (Energy Audit)

การตรวจสอบทำบัญชีพลังงาน คือ การตรวจสอบและวิเคราะห์การใช้พลังงานเพื่อที่จะหาแนวทางในการประหยัดพลังงาน โดยทั่วไปการตรวจสอบทำบัญชีพลังงาน มีขั้นตอนปฏิบัติตามลำดับ ดังนี้

ก. การตรวจสอบการใช้พลังงานจากข้อมูลในอดีต เป็นการรวบรวมและศึกษาข้อมูลการใช้พลังงานที่ผ่านมาที่ทางโรงงานได้บันทึกไว้ เพื่อทราบปริมาณและค่าใช้จ่ายพลังงานทุกรูปแบบที่ใช้ ผลผลิตที่ได้ต่อปริมาณพลังงานที่ใช้ รูปแบบการใช้พลังงานในแต่ละช่วงเวลา

ข. การตรวจสอบการใช้พลังงานโดยการสำรวจภายในโรงงาน ขั้นตอนแรกเป็นการสำรวจแผนผังของโรงงาน เพื่อให้ทราบลักษณะทั่วไปของโรงงาน กระบวนการผลิตและ

อุปกรณ์ต่างๆ พิจารณابริเวณที่มีการใช้พลังงานสูง ระบบการใช้พลังงานในรูปแบบต่างๆ และบริเวณที่เกี่ยวข้อง และขั้นตอนการเข้าสำรวจในโรงงานเพื่อหาตำแหน่งที่มีการใช้พลังงาน การสูญเสียพลังงาน และต้นเหตุของการสูญเสียพลังงาน สำรวจระบบการใช้พลังงานทุกระบบ ทั้งในช่วงเริ่มกระบวนการผลิต ช่วงระหว่างการผลิต และหยุดทำการผลิต รวมทั้งการตรวจวัดโดยใช้เครื่องมือวัดต่างๆ ข้อมูลที่ได้ทำให้ทราบสภาพการใช้พลังงาน

ค. การตรวจสอบและการวิเคราะห์การใช้พลังงานอย่างละเอียด จากผลของการตรวจสอบและวิเคราะห์การใช้พลังงานข้างต้น นำข้อมูลมาสร้างรูปแบบการใช้พลังงานว่าจะต้องมีการปรับปรุงแก้ไขส่วนใดบ้าง วิเคราะห์หาแนวทางการปรับปรุงแก้ไข และคัดเลือกวิธีการที่เหมาะสมทั้งในเชิงเทคนิคและเศรษฐศาสตร์เพื่อลดปริมาณพลังงานสูญเสีย



เอกสารนี้เป็นเอกสารที่สงวนไว้สำหรับการใช้งานเพื่อการศึกษาเท่านั้น ไม่อนุญาตให้นำไปใช้ประโยชน์ด้านการค้า ไม่ว่าจะกรณีใดๆ ทั้งสิ้น อีกทั้งห้ามมิให้ดัดแปลงเนื้อหา และต้องอ้างอิงถึงเจ้าของเอกสารทุกครั้งที่มีการนำไปใช้

## บทที่ 3

### การดำเนินงานและผลการดำเนินงาน

#### 3.1 การเลือกใช้พลังงานที่เหมาะสมกว่าและสามารถทดแทนกันได้เพื่อต้นทุนพลังงานที่เหมาะสม

การดำเนินงานในส่วนนี้เป็นการพิจารณาความเป็นไปได้ในการนำพลังงานไอน้ำที่ได้จากการถ่ายเทความร้อนจากปฏิกิริยาออกซิเดชันของอโทไซลีนไปใช้ให้ความร้อนในกระบวนการผลิตแทนน้ำมันถ่ายเทความร้อนอุณหภูมิสูงที่อุณหภูมิสูงที่อุณหภูมิสูงด้วยก๊าซธรรมชาติ และการนำไปผลิตกระแสไฟฟ้าด้วยกังหันไอน้ำ 2 เครื่อง เพื่อเลือกแนวทางการใช้พลังงานที่คุ้มค่าเชิงเศรษฐศาสตร์มากที่สุด โดยมีขั้นตอนดำเนินงาน ดังนี้

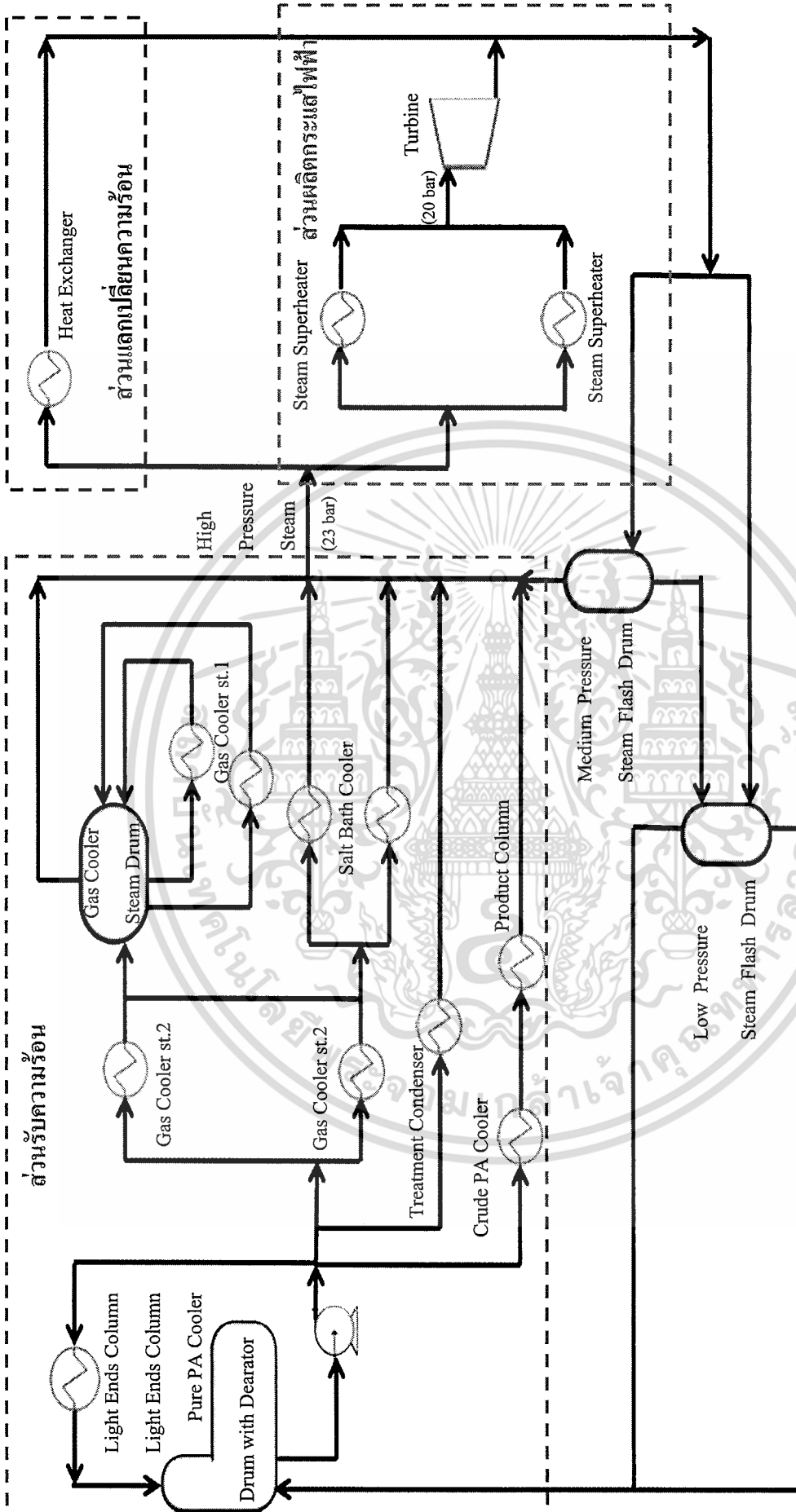
3.1.1 ศึกษาข้อมูลทั่วไปเกี่ยวกับบริษัทและทฤษฎีที่เกี่ยวข้อง

3.1.2 ศึกษาแผนผังกระบวนการผลิต (PFD) แผนผังแสดงระบบท่อและอุปกรณ์ (P&ID) และเอกสารอธิบายกระบวนการผลิตพาทาลิกแอนไฮไดรด์ของบริษัท

3.1.3 ศึกษากระบวนการผลิตเฉพาะส่วนของระบบไอน้ำและไอน้ำกลั่นตัวโดยละเอียด ทำแผนผังแสดงทิศทางการไหลของน้ำป้อนหม้อไอน้ำ อุปกรณ์แลกเปลี่ยนความร้อนที่ใช้ไอน้ำอ้อมตัว ความดันสูงเพียงอย่างเดียว และอุปกรณ์แลกเปลี่ยนความร้อนที่ใช้ไอน้ำอ้อมตัวความดันสูงร่วมกับการใช้น้ำมันถ่ายเทความร้อนอุณหภูมิสูงเป็นตัวกลางในการแลกเปลี่ยนความร้อน

#### ระบบไอน้ำและไอน้ำกลั่นตัวหรือคอนเดนเสท (Steam and Condensate System)

จากรูปที่ 3.1 ระบบไอน้ำเริ่มจากถังปรับสภาพน้ำป้อนหม้อไอน้ำและการไล่อากาศ (Drum with Dearator) ที่อุปกรณ์นี้ น้ำป้อนหม้อไอน้ำจะถูกปรับสภาพให้เป็นเบสด้วยสารละลายแอมโมเนียมไฮดรอกไซด์ ( $\text{NH}_4\text{OH}$ ) และไล่ออกซิเจนที่ละลายอยู่ด้วยสารละลายไฮดราซีน ( $\text{N}_2\text{H}_4$ ) เพื่อให้เหมาะสมต่อการนำไปใช้ จากนั้นจะถูกส่งไปใช้ในกระบวนการผลิต 3 ส่วน คือ ส่วนรับความร้อน ส่วนแลกเปลี่ยนความร้อน และส่วนผลิตกระแสไฟฟ้า รายละเอียดของแต่ละส่วนมีดังนี้



รูปที่ 3.1 แผนภาพอย่างง่ายของระบบไอน้ำและไอน้ำกักตัวของกระบวนการผลิตพาทาลิกแอนไฮไดรด์

### 1) ส่วนรับความร้อน

น้ำป้อนหม้อไอน้ำจากถังพักน้ำผ่านปั๊มแยกเป็น 4 สาย คือ ส่วนที่หนึ่งนำไปปรับความร้อนจากกระบวนการผลิตในส่วนเตรียมก่อนการกลั่นและการกลั่นที่เครื่องควบแน่นของหอกลั่นซึ่งประกอบด้วย หอกลั่นส่วนกลั่นเบา 2 หอ และเครื่องหล่อเย็นพาทาลิกแอนไฮโดรคาร์บอนแล้ววนกลับมาที่ถังปรับสภาพน้ำป้อนหม้อไอน้ำและการไล่อากาศ เพื่อรักษาอุณหภูมิของน้ำให้อยู่ที่ประมาณ 150 องศาเซลเซียส ขณะที่ส่วนที่สองนำไปปรับความร้อนที่ก๊าซคูลเลอร์ชั้นที่ 2 เพื่อลดอุณหภูมิของพาทาลิกแอนไฮโดรคาร์บอน และมีถังพักน้ำ (Gas Cooler Steam Drum) เก็บน้ำป้อนหม้อไอน้ำส่วนหนึ่งไว้ใช้ควบคุมอุณหภูมิของก๊าซพาทาลิกแอนไฮโดรคาร์บอนที่ก๊าซคูลเลอร์ชั้นที่ 1 น้ำป้อนหม้อไอน้ำส่วนที่ไม่ได้เก็บในถังพักน้ำจะถูกส่งไปปรับความร้อนจากปฏิกิริยาออกซิเดชันของอโทไซลีน โดยแลกเปลี่ยนความร้อนกับเกลือหลอมเหลว (อุณหภูมิประมาณ 340 องศาเซลเซียส) ที่อุปกรณ์ซอลท์บาทคูลเลอร์ ของเครื่องปฏิกรณ์ที่ 1 และ 2 กลายเป็นน้ำอิมตัวความดันสูง ส่วนที่สามส่งไปยังอุปกรณ์แลกเปลี่ยนความร้อนในส่วนเตรียมก่อนการกลั่น (Treatment Condenser) และส่วนที่สี่ นำไปผ่านเครื่องหล่อเย็นพาทาลิกแอนไฮโดรคาร์บอน และเครื่องควบแน่นของหอกลั่นผลิตภัณฑ์ ไอน้ำที่ได้จากส่วนรับความร้อน 3 ส่วนหลังนี้จะรวมกันแล้วส่งไปยังส่วนแลกเปลี่ยนความร้อนและส่วนผลิตกระแสไฟฟ้าต่อไป

### 2) ส่วนแลกเปลี่ยนความร้อน

น้ำอิมตัวความดันสูงส่วนหนึ่งจะถูกแบ่งเข้าอุปกรณ์แลกเปลี่ยนความร้อนดังนี้

#### 2.1) อุปกรณ์แลกเปลี่ยนความร้อนที่ใช้ไอน้ำอิมตัวความดันสูงเพียงอย่างเดียว

อุปกรณ์แลกเปลี่ยนความร้อนกลุ่มนี้จะใช้ไอน้ำอิมตัวความดันสูง 6,700 กิโลกรัม/ชั่วโมงเป็นตัวกลางในการแลกเปลี่ยนความร้อน อุปกรณ์แลกเปลี่ยนความร้อนกลุ่มนี้ประกอบด้วย

ก. เครื่องอุ่นอโทไซลีน มี 3 เครื่อง เป็นอุปกรณ์แลกเปลี่ยนความร้อนสำหรับเพิ่มอุณหภูมิของอโทไซลีนก่อนเข้าผสมกับอากาศที่เครื่องระเหย

ข. เครื่องอุ่นอากาศอัด (Compressed Air Heater) อากาศอัดจะใช้ขับเคลื่อนก๊าซเสียในส่วนเตรียมก่อนการกลั่นและการกลั่นเพื่อส่งไปบำบัดที่หอดูดซับก๊าซเสีย

ค. ระบบท่อส่งพาทาลิกแอนไฮโดรคาร์บอนในกระบวนการผลิต เพื่อป้องกันการแข็งตัวของพาทาลิกแอนไฮโดรคาร์บอน

2.2) อุปกรณ์แลกเปลี่ยนความร้อนที่ใช้ไอน้ำอิมตัวความดันสูงร่วมกับน้ำมันถ่ายเทความร้อนอุณหภูมิต่ำ (Therminol-66) เป็นตัวกลางในการแลกเปลี่ยนความร้อน

อุปกรณ์แลกเปลี่ยนความร้อนกลุ่มนี้ใช้ไอน้ำประมาณ 1,800 กิโลกรัม/ชั่วโมง ปริมาณไอน้ำที่ใช้สามารถปรับเปลี่ยนได้ขึ้นกับต้นทุนพลังงาน ประกอบด้วยอุปกรณ์ต่อไปนี้

ก. เครื่องอุ่นอากาศ ทำหน้าที่ให้ความร้อนกับอากาศก่อนนำไปผสมกับ  
 ออโทไซลีนที่เครื่องระเหยออโทไซลีน

ข. เครื่องอุ่นน้ำมันถ่ายเทความร้อนอุณหภูมิต่ำ ใช้ให้ความร้อนแก่น้ำมัน  
 ถ่ายเทความร้อนอุณหภูมิต่ำเพื่อหลอมพาทาลิกแอนไฮไดรด์คิบที่เกาะอยู่ที่ครีปของ  
 สวิตช์ก๊าซคอนเดนเซอร์

ค. เครื่องอุ่นพาทาลิกแอนไฮไดรด์คิบ ใช้ให้ความร้อนแก่พาทาลิก  
 แอนไฮไดรด์คิบก่อนส่งเข้าถังเก็บพาทาลิกแอนไฮไดรด์คิบ

### 3) ส่วนผลิตกระแสไฟฟ้า

ไอน้ำอิมตัวความดันสูงอีกส่วนหนึ่งจะส่งผ่านสตีมชุปเปอร์ฮีทเตอร์ของ  
 เครื่องปฏิกรณ์ ใต้ไอน้ำร้อนยวดยิ่ง และนำไปผลิตกระแสไฟฟ้าด้วยกังหันไอน้ำเครื่องที่ 1 และ 2  
 กำลังการผลิตกระแสไฟฟ้าของกังหันไอน้ำเครื่องที่ 1 ไม่เกิน 9,700 กิโลกรัมของไอน้ำ/ชั่วโมง และ  
 ของเครื่องที่ 2 มากกว่า 7,500 กิโลกรัมของไอน้ำ/ชั่วโมง

สำหรับไอน้ำกลั่นตัวหลังผ่านกระบวนการผลิต จะนำไปแยกที่ถังแยกไอน้ำความดัน  
 ปานกลาง (Medium Pressure Steam Flash Drum) ส่วนที่เป็นไอน้ำจากถังแยกไอน้ำความดันปานกลาง  
 จะนำไปรวมกับไอน้ำอิมตัวความดันสูงก่อนส่งเข้าผลิตกระแสไฟฟ้า ขณะที่ส่วนที่เป็นของเหลวจะ  
 ส่งเข้าถังแยกไอน้ำความดันต่ำ (Low Pressure Steam Flash Drum) ส่วนที่เป็นไอน้ำและของเหลวจาก  
 ถังนี้จะส่งกลับถึงปรับสภาพน้ำป้อนหม้อไอน้ำและการไล่อากาศ (Drum with Dearthor) สำหรับใช้  
 ควบคุมความดันในกังหัน

#### 3.1.4 ศึกษากระบวนการถ่ายเทความร้อน

ระบบน้ำมันถ่ายเทความร้อน เป็นระบบที่ใช้ถ่ายเทความร้อน 2 ชนิด คือ น้ำมัน  
 ถ่ายเทความร้อนอุณหภูมิต่ำและอุณหภูมิสูงเป็นตัวกลางในการแลกเปลี่ยนความร้อน

#### ระบบน้ำมันถ่ายเทความร้อนอุณหภูมิต่ำ

น้ำมันถ่ายเทความร้อนอุณหภูมิต่ำได้รับความร้อนจากเตาเผาที่ใช้ก๊าซธรรมชาติและ  
 ของเสียจากกระบวนการผลิตเป็นเชื้อเพลิง ใช้ให้ความร้อนกับอุปกรณ์ต่อไปนี้

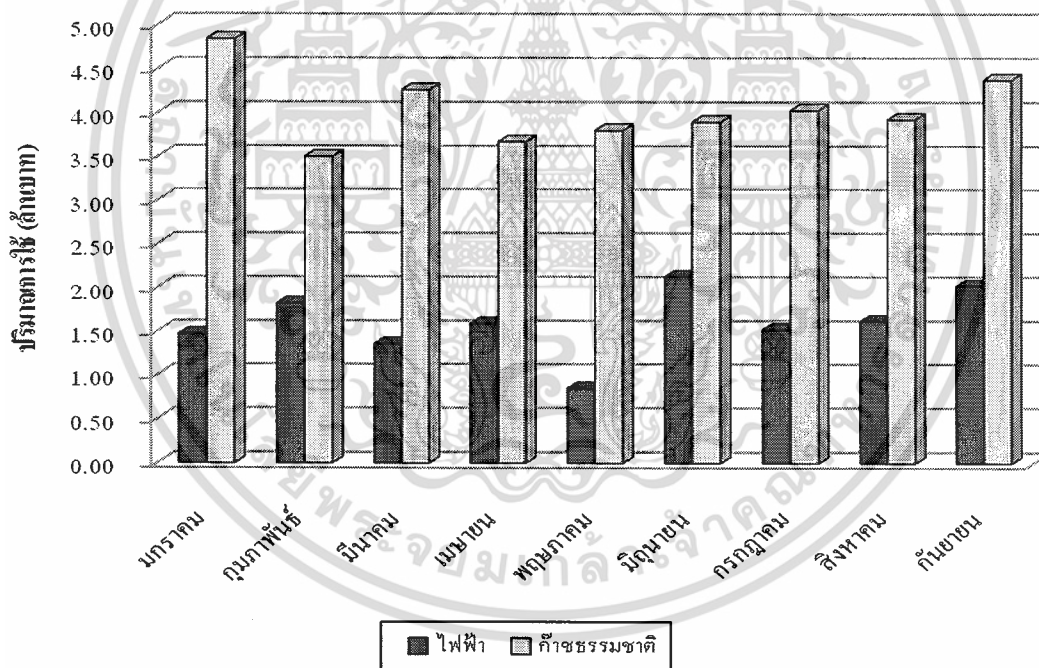
- ก. เครื่องอุ่นอากาศ ที่ใช้น้ำมันถ่ายเทความร้อนร่วมกับไอน้ำอิมตัวความดันสูง
- ข. เครื่องอุ่นน้ำมันถ่ายเทความร้อนอุณหภูมิต่ำ ซึ่งติดตั้งขนานกับเครื่องอุ่นน้ำมัน  
 ถ่ายเทความร้อนอุณหภูมิต่ำที่ใช้ไอน้ำอิมตัวความดันสูงเป็นตัวกลางในการแลกเปลี่ยนความร้อน
- ค. ถังเก็บพาทาลิกแอนไฮไดรด์คิบ 3 ถัง และเครื่องอุ่นพาทาลิกแอนไฮไดรด์คิบ
- ง. รีบอยเลอร์ (Reboiler) ของหอกถัน 3 หอ ได้แก่ หอกถันเบา 2 หอ และหอกถัน  
 ผลิตภัณฑ์

- จ. ถังผสมของเสียจากการกลั่น (Waste Product Drum) เพื่อป้องกันของเสียแข็งตัวขณะผสม
- ฉ. อุปกรณ์ที่ใช้ขั้วดันของเสียจากการกลั่น ไปบำบัดที่หอดูดซับก๊าซเสีย

### ระบบน้ำมันถ่ายเทความร้อนอุณหภูมิต่ำ

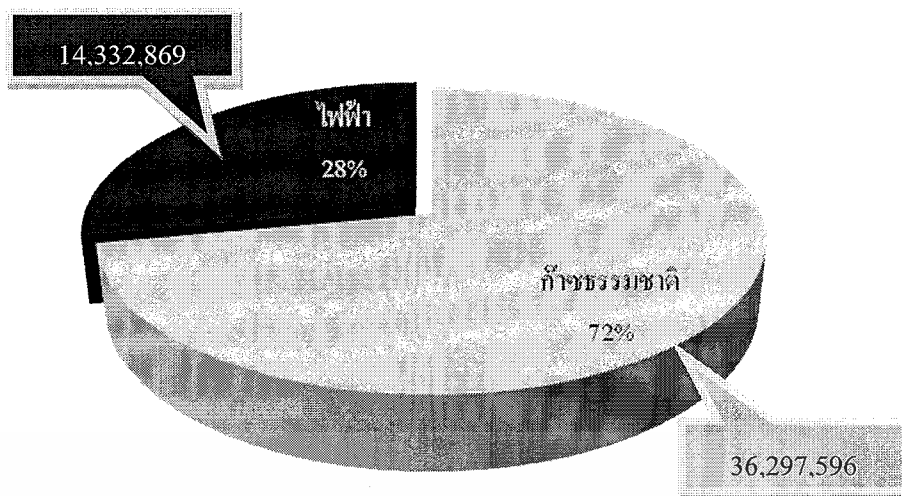
น้ำมันถ่ายเทความร้อนอุณหภูมิต่ำ 50-55 องศาเซลเซียส ใช้ที่สวิตช์ก๊าซคอนเดนเซอร์เพื่อลดอุณหภูมิของก๊าซพาทาลิกแอนไฮไดรด์ดิบและเพื่อแยกก๊าซเสียที่เกิดจากปฏิกิริยาออกซิเดชันของอโทไซลีน น้ำมันถ่ายเทความร้อนอุณหภูมิต่ำ 180-190 องศาเซลเซียส ทำหน้าที่หลอมพาทาลิกแอนไฮไดรด์ที่เกาะติดบริเวณครีบของสวิตช์ก๊าซคอนเดนเซอร์

3.1.5 เก็บข้อมูลการใช้ไฟฟ้าและก๊าซธรรมชาติระหว่างเดือนมกราคม – กันยายน พ.ศ. 2551 ดังแสดงในรูปที่ 3.2 และแสดงสัดส่วนของไฟฟ้าและก๊าซธรรมชาติที่ใช้ในรูปที่ 3.3 ราคาต่อหน่วยดังตารางที่ 3.1



รูปที่ 3.2 ปริมาณการใช้พลังงานไฟฟ้าและก๊าซธรรมชาติ (มกราคม-กันยายน พ.ศ. 2551)

เอกสารนี้เป็นเอกสารที่สงวนไว้สำหรับการใช้งานเพื่อการศึกษาเท่านั้น ไม่อนุญาตให้นำไปใช้ประโยชน์ด้านการค้า ไม่ว่ากรณีใดๆ ทั้งสิ้น อีกทั้งห้ามมิให้ดัดแปลงเนื้อหา และต้องอ้างอิงถึงเจ้าของเอกสารทุกครั้งที่มีการนำไปใช้



รูปที่ 3.3 สัดส่วนการใช้พลังงานไฟฟ้าและก๊าซธรรมชาติ

ตารางที่ 3.1 ราคาต่อหน่วยของพลังงานไฟฟ้าและก๊าซธรรมชาติปี พ.ศ. 2551

ชนิดของพลังงาน	ราคาต่อหน่วย
ไฟฟ้า	2.90 Baht/kW·h
ก๊าซธรรมชาติ	319.41 Baht/MMBtu

3.1.6 จำนวนความร้อนจากปฏิกิริยาออกซิเดชันของออโทไซลีน ( $\Delta H$ ) จากทฤษฎีในบทที่ 2 ที่อัตราการไหลเชิงมวลของออโทไซลีนที่กำลังการผลิตปัจจุบันเท่ากับ 2,113.76 กิโลกรัม/ชั่วโมง (พาทาลิกแอนไฮไดรด์ 2,201.23 กิโลกรัม/ชั่วโมง) มีขั้นตอนดังนี้

1) จำนวนความร้อนมาตรฐานของปฏิกิริยา (Standard Heat of Reaction :  $\Delta H_r^\circ$ ) จากสมการที่ 2.2

2) จำนวน Extent of Reaction :  $\xi_j$  ของแต่ละปฏิกิริยา จากสมการที่ 2.4

3) แทนค่าเอนทัลปีที่เข้าและออกจากเครื่องปฏิกรณ์จากแผนผังกระบวนการผลิต (PFD) ความร้อนมาตรฐานของปฏิกิริยา ( $\Delta H_r^\circ$ ) และค่า Extent of Reaction ในสมการที่ 2.3.2 ได้

$$\Delta H = -2.07 \times 10^7 \text{ กิโลจูล/ชั่วโมง}$$

4) จำนวนความร้อนที่ได้จากปฏิกิริยาต่อกิโลกรัมของออโทไซลีน (q)

$$q = \frac{\Delta H}{m_{\text{O-Xylene}}} \quad (3.1)$$

$$= \frac{-2.07 \times 10^7 \text{ กิโลจูล/ชั่วโมง}}{2113.76 \text{ กิโลกรัมของออโทไซลีน/ชั่วโมง}}$$

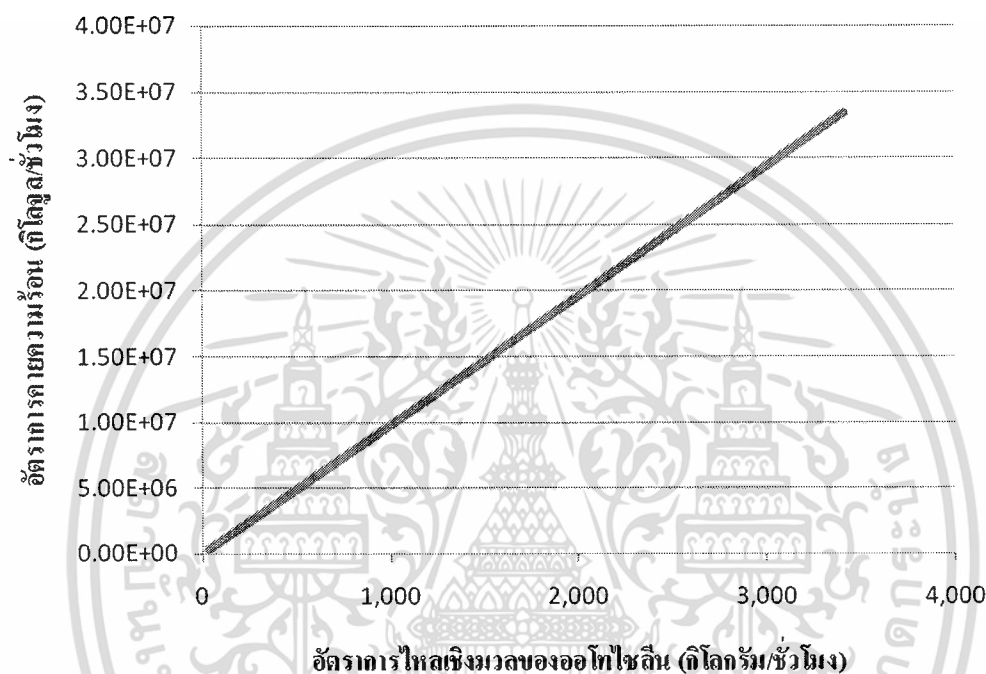
เอกสารนี้เป็นเอกสารที่สงวนไว้สำหรับการใช้งานเพื่อการศึกษาเท่านั้น ไม่อนุญาตให้นำไปใช้ประโยชน์ด้านการค้า ไม่ว่าจะกรณีใดๆ ทั้งสิ้น อีกทั้งห้ามมิให้ดัดแปลงเนื้อหา และต้องอ้างอิงถึงเจ้าของเอกสารทุกครั้งที่มีการนำไปใช้

$$= -9,777.56 \text{ กิโลจูล/กิโลกรัมของอโทไซลีน}$$

5) จำนวนอัตราการคายความร้อนจากปฏิกิริยาของอโทไซลีน ดังสมการที่ 3.2

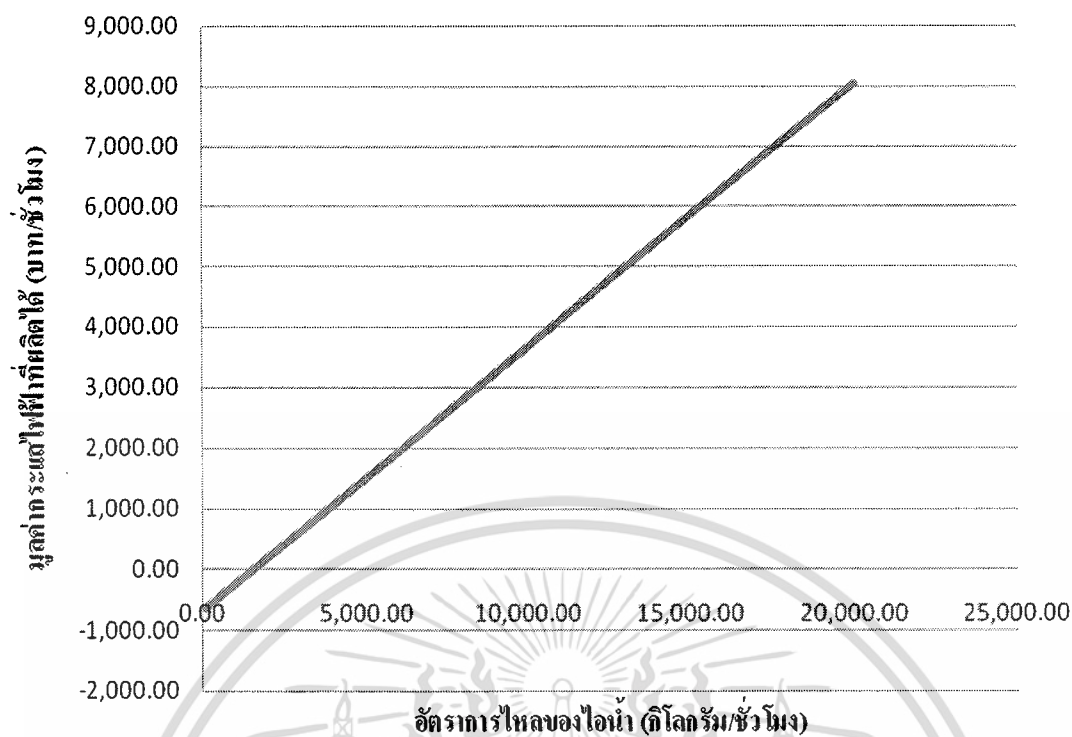
$$\dot{Q} = \dot{m}_{o-Xylene} q \quad (3.2)$$

ผลการคำนวณแสดงดังรูปที่ 3.4

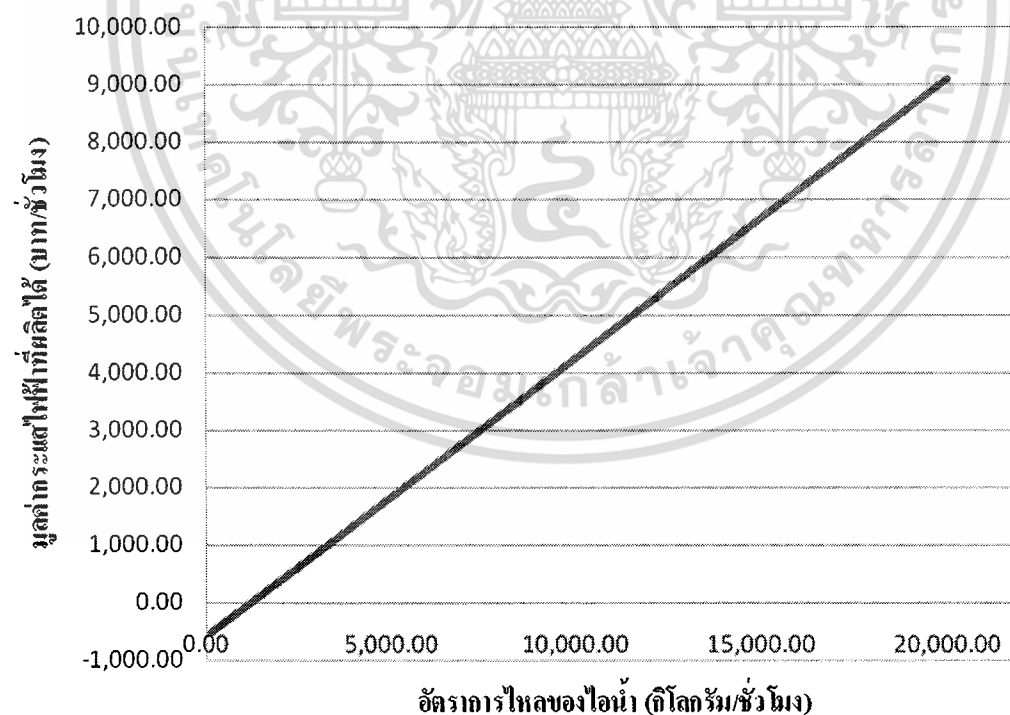


รูปที่ 3.4 อัตราการคายความร้อนจากปฏิกิริยาออกซิเดชันต่ออัตราการไหลเชิงมวลของอโทไซลีน

3.1.7 จำนวนค่าไฟฟ้าที่ผลิตด้วยกังหันไอน้ำเครื่องที่ 1 และ 2 จากข้อมูลเชิงเทคนิค โดยใช้ราคาต่อหน่วยของพลังงานไฟฟ้าจากรางที่ 3.1 รูปที่ 3.5-3.6 แสดงมูลค่ากระแสไฟฟ้าที่ผลิตจากไอน้ำด้วยกังหันไอน้ำ



รูปที่ 3.5 มูลค่ากระแสไฟฟ้าที่ผลิตได้จากไอน้ำความดัน 20 บาร์ อุณหภูมิ 340 องศาเซลเซียส ด้วยกังหันไอน้ำเครื่องที่ 1



รูปที่ 3.6 มูลค่ากระแสไฟฟ้าที่ผลิตได้จากไอน้ำความดัน 29 บาร์ อุณหภูมิ 320 องศาเซลเซียส ด้วยกังหันไอน้ำเครื่องที่ 2

เอกสารนี้เป็นเอกสารที่สงวนไว้สำหรับการใช้งานเพื่อการศึกษาเท่านั้น ไม่อนุญาตให้นำไปใช้ประโยชน์ด้านการค้า ไม่ว่ากรณีใดๆ ทั้งสิ้น อีกทั้งห้ามมิให้ตัดแปลงเนื้อหา และต้องอ้างอิงถึงเจ้าของเอกสารทุกครั้งที่มีการนำไปใช้

สมบัติของน้ำป้อนหม้อไอน้ำและไอน้ำที่ต้องการสำหรับใช้ให้ความร้อนในกระบวนการผลิตและผลิตกระแสไฟฟ้า

ตารางที่ 3.2 สมบัติของน้ำป้อนหม้อไอน้ำและไอน้ำที่ใช้ในระบบ

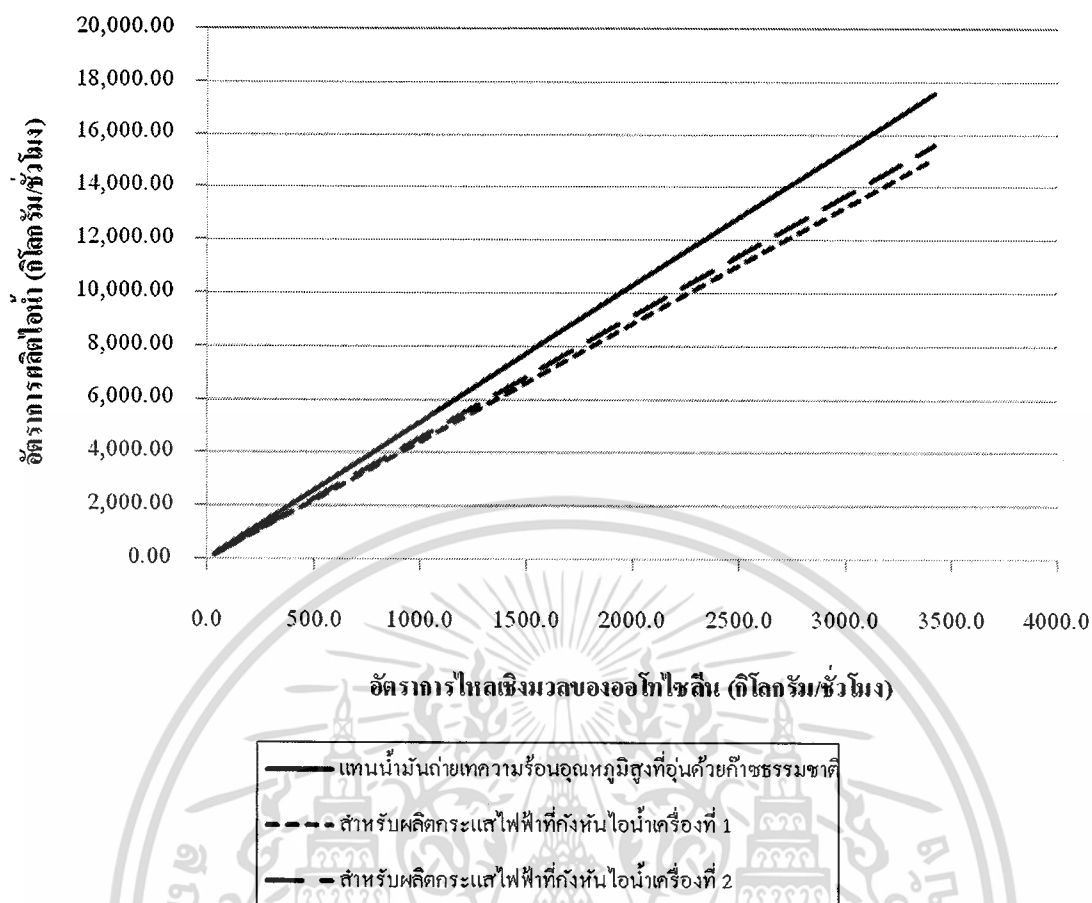
สมบัติ	น้ำป้อนหม้อไอน้ำ	ไอน้ำสำหรับ		
		ให้ความร้อนในกระบวนการผลิต	กังหันไอน้ำเครื่องที่ 1	กังหันไอน้ำเครื่องที่ 2
อุณหภูมิ (°C)	210	220	340	320
ความดัน (barg)	29	23	20	29
เอนทัลปี (kJ/kg)	897	2,802	3,113	3,043

3.1.8 จำนวนปริมาณไอน้ำที่สามารถผลิตจากคูลพลังงานในกระบวนการผลิตพาทาลิกแอนไฮไดรด์ และใช้สมการที่ 2.1 โดยไม่พิจารณาพลังงานจลน์ ( $m\Delta\frac{1}{2}u^2$ ) พลังงานศักย์ ( $mg\Delta z$ ) และให้เครื่องปฏิกรณ์ทำงานที่ภาวะคงตัว ไม่มีงานเกิดขึ้น จึงสามารถตัดพจน์พลังงานสะสม ( $\frac{d(mU)_{cv}}{dt}$ ) และงานสุทธิของระบบ ( $W$ ) ได้ ดังนั้นสามารถลดรูปสมการที่ 2.1

$$\dot{m}_{\text{Steam}} \Delta H_{fs} = \dot{Q} \quad (3.3.1)$$

$$\dot{m}_{\text{Steam}} \Delta H_{fs} = \dot{m}_{\text{o-xylene}} q \quad (3.3.2)$$

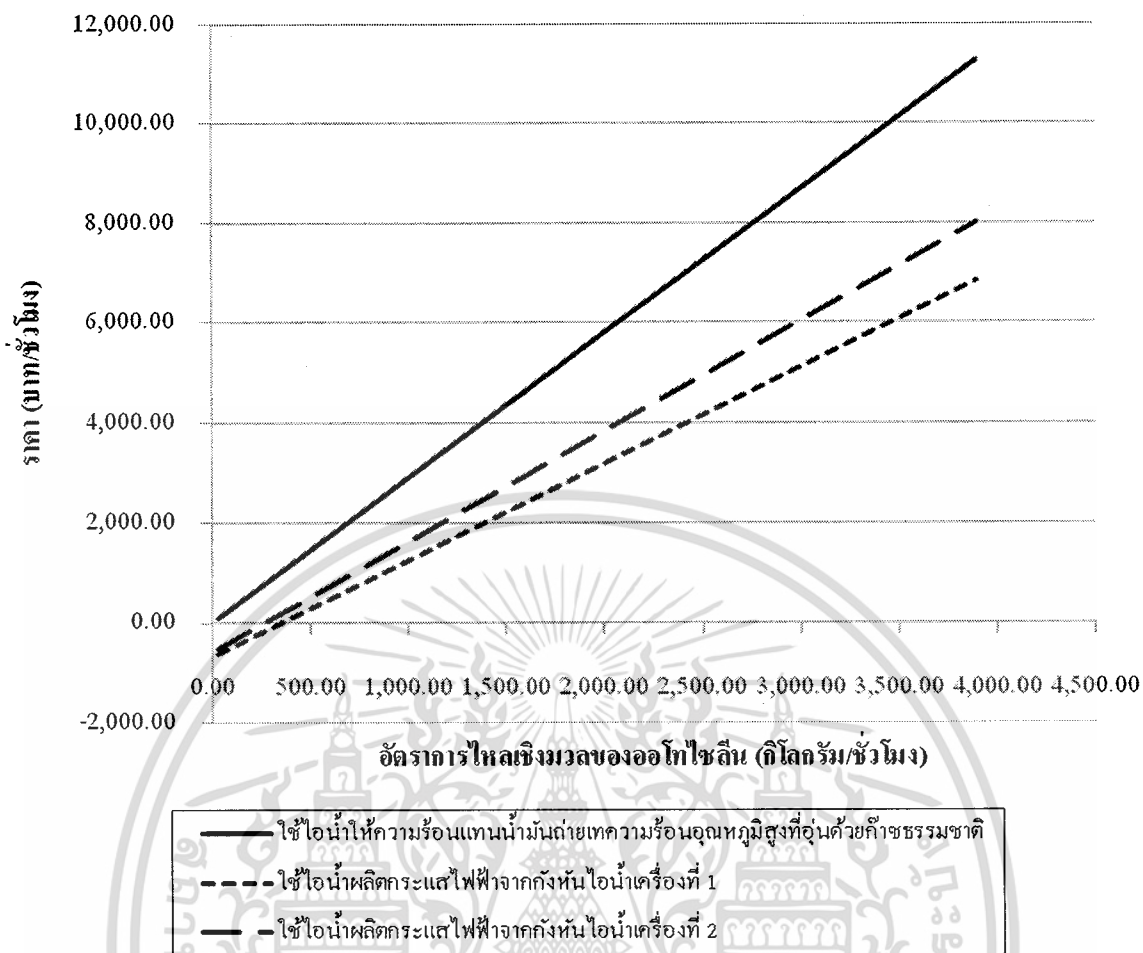
จากสมการที่ 3.3.2 สามารถคำนวณอัตราการผลิตไอน้ำจากปฏิกิริยาออกซิเดชันของอโทไซลีนสำหรับใช้ให้ความร้อนในกระบวนการผลิตและผลิตกระแสไฟฟ้า ดังรูปที่ 3.7



รูปที่ 3.7 อัตราการผลิตไอน้ำสำหรับใช้ให้ความร้อนในกระบวนการผลิตและผลิตกระแสไฟฟ้า

3.1.9 เปรียบเทียบรูปแบบการใช้พลังงานที่มีความคุ้มค่าเชิงเศรษฐศาสตร์ที่สุดจากการคำนวณโดยใช้ข้อมูลเชิงเทคนิค แสดงดังรูปที่ 3.8 โดยพิจารณาจากปริมาณไอน้ำอิมตัวความดันสูงที่อัตราการไหลเชิงมวลของอโทโซลีนที่เท่ากัน ดังนี้

- 1) การนำไอน้ำอิมตัวความดันสูงไปใช้ให้ความร้อนแทนน้ำมันถ่ายเทความร้อนอุณหภูมิสูงที่อุณหภูมิใช้งาน ค่าความมูลค่าพลังงานโดยใช้ราคาต่อหน่วยจากตารางที่ 3.1
- 2) การนำไอน้ำร้อนยวดยิ่งไปใช้ผลิตกระแสไฟฟ้าด้วยกังหันไอน้ำเครื่องที่ 1 และเครื่องที่ 2



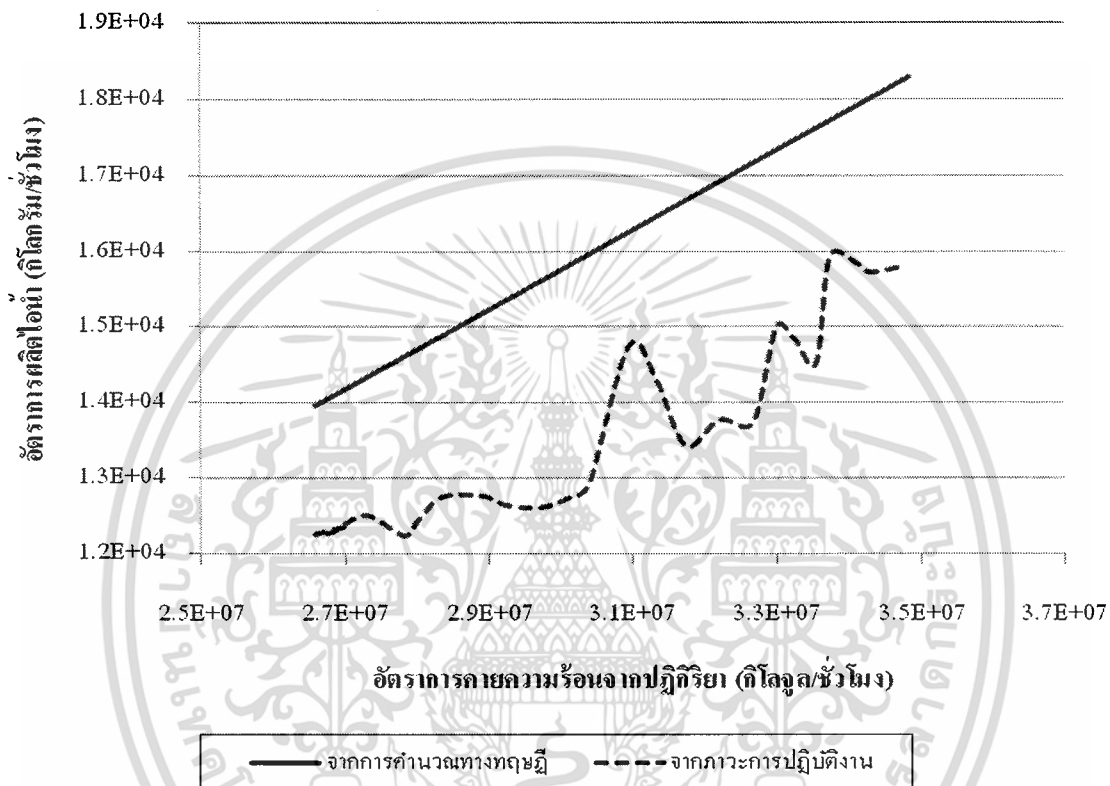
รูปที่ 3.8 การเปรียบเทียบความคุ้มค่าเชิงเศรษฐศาสตร์ของรูปแบบการใช้พลังงาน

จากรูปที่ 3.8 เนื่องจากในช่วงแรกต้องใช้กระแสไฟฟ้าที่ผลิตได้ที่เครื่องอัดอากาศซึ่งต่ออยู่กับกังหันไอน้ำทั้ง 2 เครื่อง ดังนั้นกราฟในช่วงแรกจึงมีค่าติดลบ จากกราฟที่อัตราการไหลเชิงมวลของอโทไซลีนที่ต้องการประมาณ 2,000 กิโลกรัม/ชั่วโมง (พาทาลิกแอนไฮไดรด์ 2,085 กิโลกรัม/ชั่วโมง) มูลค่าพลังงานจากการนำไอน้ำไปใช้ให้ความร้อนในกระบวนการผลิตแทนน้ำมันถ้ายเทความร้อนอุณหภูมิต่ำที่อุ่นด้วยก๊าซธรรมชาติสูงกว่าการนำไอน้ำไปใช้ผลิตกระแสไฟฟ้าด้วยกังหันไอน้ำทั้ง 2 เครื่อง มีค่าเฉลี่ยของผลต่างประมาณ 2,275 บาท /2,000 กิโลกรัม/ชั่วโมง (แสดงในตารางที่ ข-4 ภาคผนวก ข)

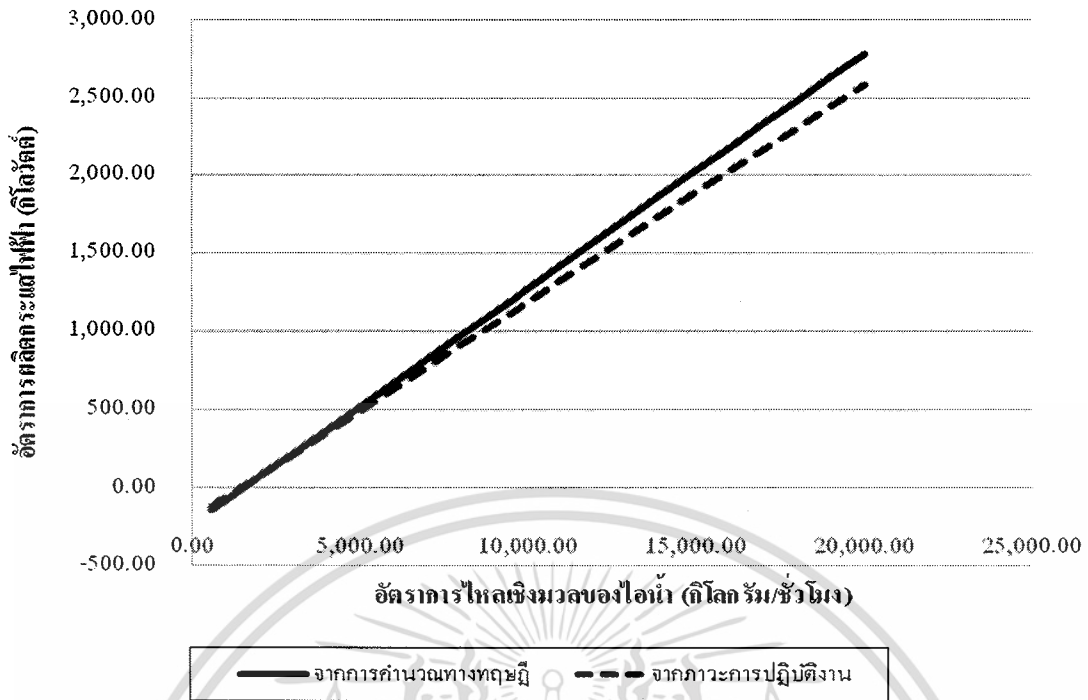
3.1.10 ทำนองเดียวกับข้อ 3.1.9 เปรียบเทียบรูปแบบการใช้พลังงานที่มีความคุ้มค่าเชิงเศรษฐศาสตร์ที่สุดจากภาวะการปฏิบัติงานในกระบวนการผลิต ได้แก่ อัตราการผลิตไอน้ำของอุปกรณ์ซอลท์บาทูลเลอร์ และอัตราการผลิตกระแสไฟฟ้าจากไอน้ำด้วยกังหันไอน้ำทั้ง 2 เครื่อง โดยพิจารณาที่เครื่องแลกเปลี่ยนความร้อนซอลท์บาทูลเลอร์และกังหันไอน้ำเครื่องที่ 1 และเครื่องที่ 2

เอกสารนี้เป็นเอกสารที่สงวนไว้สำหรับการใช้งานเพื่อการศึกษาเท่านั้น ไม่อนุญาตให้นำไปใช้ประโยชน์ด้านการค้าไม่ว่ากรณีใดๆ ทั้งสิ้น อีกทั้งห้ามมิให้ดัดแปลงเนื้อหา และต้องอ้างอิงถึงเจ้าของเอกสารทุกครั้งที่มีการนำไปใช้

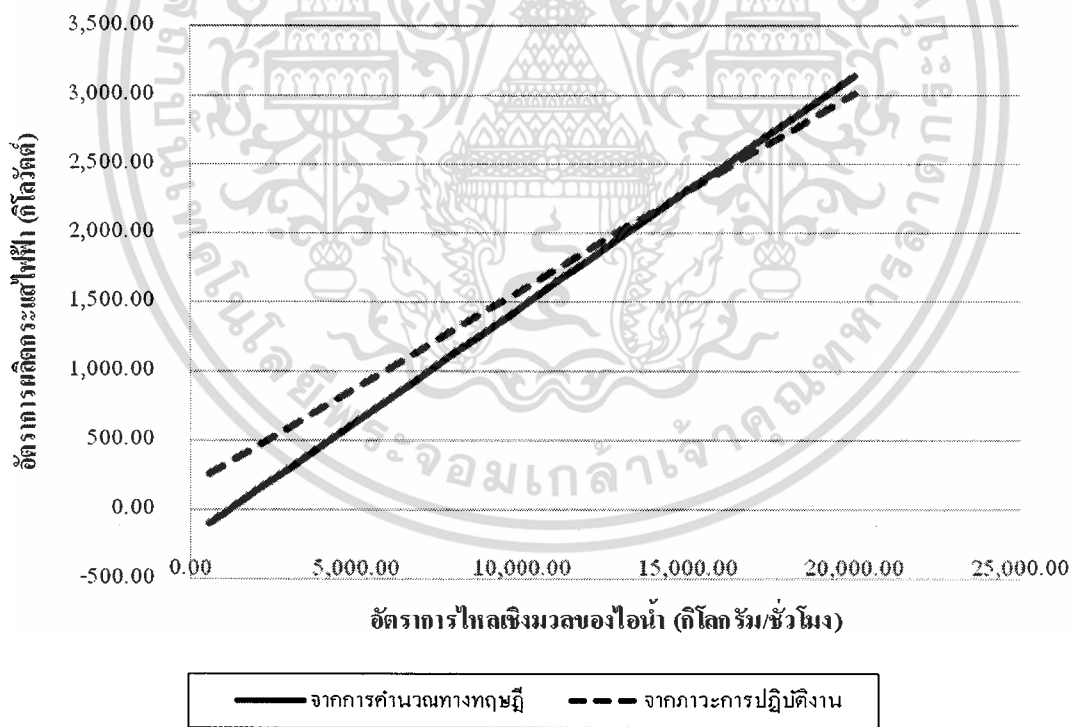
รูปที่ 3.9 แสดงอัตราการผลิตไอน้ำของอุปกรณ์ชอลท์บาทกุลเลอร์จากการคำนวณทางทฤษฎีเปรียบเทียบกับค่าภาวะการปฏิบัติงาน (แสดงในตารางที่ ช-5 ภาคผนวก ช) รูปที่ 3.10-3.11 แสดงอัตราการผลิตกระแสไฟฟ้าจากไอน้ำด้วยกังหันไอน้ำเครื่องที่ 1 และเครื่องที่ 2 จากค่าที่คำนวณโดยทฤษฎีด้วยข้อมูลเชิงเทคนิคจากบริษัทผู้ผลิตเปรียบเทียบกับภาวะการปฏิบัติงาน (รายละเอียดแสดงในภาคผนวก ง)



รูปที่ 3.9 อัตราการผลิตไอน้ำของอุปกรณ์ชอลท์บาทกุลเลอร์จากความร้อนจากปฏิกิริยา



รูปที่ 3.10 อัตราการผลิตกระแสไฟฟ้าจากไอน้ำด้วยกังหันไอน้ำเครื่องที่ 1

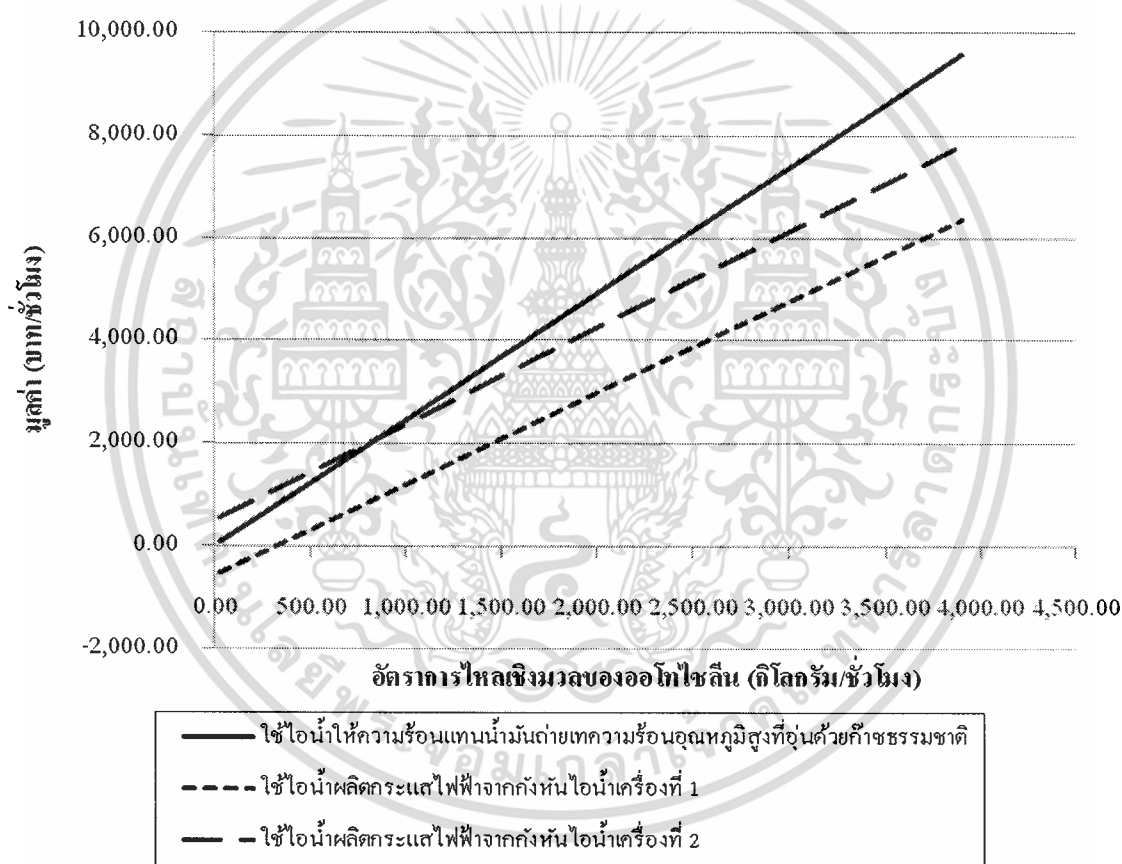


รูปที่ 3.11 อัตราการผลิตกระแสไฟฟ้าจากไอน้ำด้วยกังหันไอน้ำเครื่องที่ 2

พบว่ามูลค่าพลังงานทางทฤษฎีของอุปกรณ์ชอลท์บาทาคูลเลอร์สูงกว่ามูลค่าที่ภาวะการปฏิบัติงานเพราะค่าเฉลี่ยของอัตราการผลิตไอน้ำสูงกว่า ดังรูปที่ 3.9 คิดประสิทธิภาพของเอกสารนี้เป็นเอกสารที่สงวนไว้สำหรับการใช้งานเพื่อการศึกษาเท่านั้น ไม่อนุญาตให้นำไปใช้ประโยชน์ด้านการค้าไม่ว่ากรณีใดๆ ทั้งสิ้น อีกทั้งห้ามมิให้ตัดแปลงเนื้อหา และต้องอ้างอิงถึงเจ้าของเอกสารทุกครั้งที่มีการนำไปใช้

อุปกรณ์ซอลท์บาทเกลือแร่ได้ร้อยละ 85 (แสดงในตารางที่ ข-5 ภาคผนวก ข) จากรูปที่ 3.10 และ 3.11 สามารถสร้างสมการแสดงอัตราการผลิตกระแสไฟฟ้าจากภาวะการปฏิบัติงาน (ภาคผนวก ง.3)

จากผลในรูปที่ 3.9-3.11 สามารถคำนวณมูลค่าพลังงานจากภาวะการปฏิบัติงานเพื่อหา รูปแบบการใช้ไอน้ำที่ได้จากการถ่ายเทความร้อนจากปฏิกิริยาออกซิเดชันของอโทโซลีนที่มีความคุ้มค่าเชิงเศรษฐศาสตร์ที่สุด ดังรูปที่ 3.12 ในกรณีการนำไอน้ำไปใช้ให้ความร้อน ในกระบวนการผลิตแทนน้ำมันถ่ายเทความร้อนอุณหภูมิสูงที่อุ่นด้วยก๊าซธรรมชาติ คิดที่ ประสิทธิภาพของอุปกรณ์ซอลท์บาทเกลือแร่ 85% ส่วนกรณีการนำไอน้ำไปใช้ผลิตกระแสไฟฟ้า ด้วยกังหันไอน้ำคิดจากสมการแสดงอัตราการผลิตกระแสไฟฟ้าจากภาวะการปฏิบัติงานที่ได้จากรูป ที่รูปที่ ง.3 และ ง.4



รูปที่ 3.12 การเปรียบเทียบความคุ้มค่าเชิงเศรษฐศาสตร์ของรูปแบบการใช้พลังงานจากภาวะการปฏิบัติงาน

จากรูปที่ 3.12 มูลค่าของพลังงานกรณีการนำไอน้ำไปใช้ผลิตกระแสไฟฟ้าด้วย กังหันไอน้ำเครื่องที่ 1 ตีลบเพราะในช่วงแรกต้องใช้กระแสไฟฟ้าที่ผลิตได้ที่เครื่องอัดอากาศ ในขณะที่มูลค่าของพลังงานกรณีการนำไอน้ำไปใช้ผลิตกระแสไฟฟ้าด้วยกังหันไอน้ำเครื่องที่ 2

ไม่มีส่วนที่ติดลบเพราะกังหันไอน้ำเครื่องที่ 2 มีอัตราการไหลขาเข้าของไอน้ำต่ำสุดก่อนข้างสูง 7,500 กิโลกรัม/ชั่วโมง (ดังแสดงในตารางที่ ง-2 ภาคผนวก ง) จึงมีความคลาดเคลื่อนจากการประมาณค่าที่อัตราการไหลขาเข้าของไอน้ำต่ำ พบว่ามูลค่าพลังงานจากการนำไอน้ำไปใช้ให้ความร้อนในกระบวนการผลิตแทนน้ำมันถ่ายเทความร้อนอุณหภูมิสูงที่อุ่นด้วยก๊าซธรรมชาติสูงกว่าการนำไอน้ำไปใช้ผลิตกระแสไฟฟ้าด้วยกังหันไอน้ำทั้ง 2 เครื่อง มีค่าเฉลี่ยของผลต่างประมาณ 1,300 บาท ที่อัตราการไหลเชิงมวลของอโทไซลีนที่ต้องการประมาณ 2,000 กิโลกรัม/ชั่วโมง (แสดงในตารางที่ ข-4 ภาคผนวก ข)

### 3.2 วางแผนการใช้ไอน้ำที่ได้จากการถ่ายเทความร้อนจากปฏิกิริยาออกซิเดชันของอโทไซลีนในช่วงเริ่มกระบวนการผลิตพาทาลิกแอนไฮไดรด์

จากแผนผังกระบวนการผลิตและแผนผังแสดงระบบท่อและอุปกรณ์ พบว่ามีความเป็นไปได้ที่จะจัดการพลังงาน (Energy Management) ในช่วงเริ่มกระบวนการผลิต (Start Up) เพื่อให้ต้นทุนพลังงานต่ำ โดยเปลี่ยนรูปแบบการใช้ไอน้ำ มีขั้นตอนการดำเนินงานดังนี้

3.2.1 ศึกษาวิธีการเริ่มกระบวนการผลิตของบริษัทจากเอกสารแสดงขั้นตอนการเริ่มกระบวนการผลิตพาทาลิกแอนไฮไดรด์และการสอบถามจากบุคลากรฝ่ายปฏิบัติการที่ทำหน้าที่ควบคุมการเริ่มกระบวนการผลิต มีรายละเอียดดังนี้

- 1) กำหนดอัตราการไหลของอโทไซลีนในขั้นตอนการเริ่มกระบวนการผลิต  
อัตราการไหลของอโทไซลีนกำหนดในหน่วย กรัมอโทไซลีน/นอร์มอลลูกบาศก์เมตรของอากาศ ( $g/Nm^3$ ) การคำนวณ ( $C_{o-Xylene}$ ) ได้จากสมการที่ 3.4

$$C_{o-Xylene} \left( \frac{g}{Nm^3} \right) = \frac{\dot{m}_{o-Xylene} \left( \frac{kg}{h} \right) \times \frac{1000 g}{1 kg}}{\dot{n}_{Air} \left( \frac{Nm^3}{tube \times h} \right) \times N_{tube}} \quad (3.4)$$

เมื่อ

$\dot{m}_{o-Xylene}$  = อัตราการไหลเชิงมวลของอโทไซลีน

$\dot{n}_{Air}$  = อัตราการไหลเชิงโมลของอากาศที่ภาวะมาตรฐาน  
(อุณหภูมิ 0 องศาเซลเซียส ความดัน 1 บรรยากาศ)

$N_{tube}$  = จำนวนท่อภายในเครื่องปฏิกรณ์ (เครื่องปฏิกรณ์ที่ 1 และ 2  
มีจำนวนท่อ 9,000 และ 6,447 ตามลำดับ)

การเริ่มกระบวนการผลิต บริษัทจะเริ่มที่อโทไซลีน 30 กรัม/นอร์มอลลูกบาศก์เมตร และเพิ่ม 1 กรัม/นอร์มอลลูกบาศก์เมตร ทุก 10 นาที จนมีค่า 60 กรัม/นอร์มอล

เอกสารนี้เป็นเอกสารที่สงวนไว้สำหรับการใช้งานเพื่อการศึกษาเท่านั้น ไม่อนุญาตให้นำไปใช้ประโยชน์ด้านการค้า ไม่ว่ากรณีใดๆ ทั้งสิ้น อีกทั้งห้ามมิให้ดัดแปลงเนื้อหา และต้องอ้างอิงถึงเจ้าของเอกสารทุกครั้งที่มีการนำไปใช้

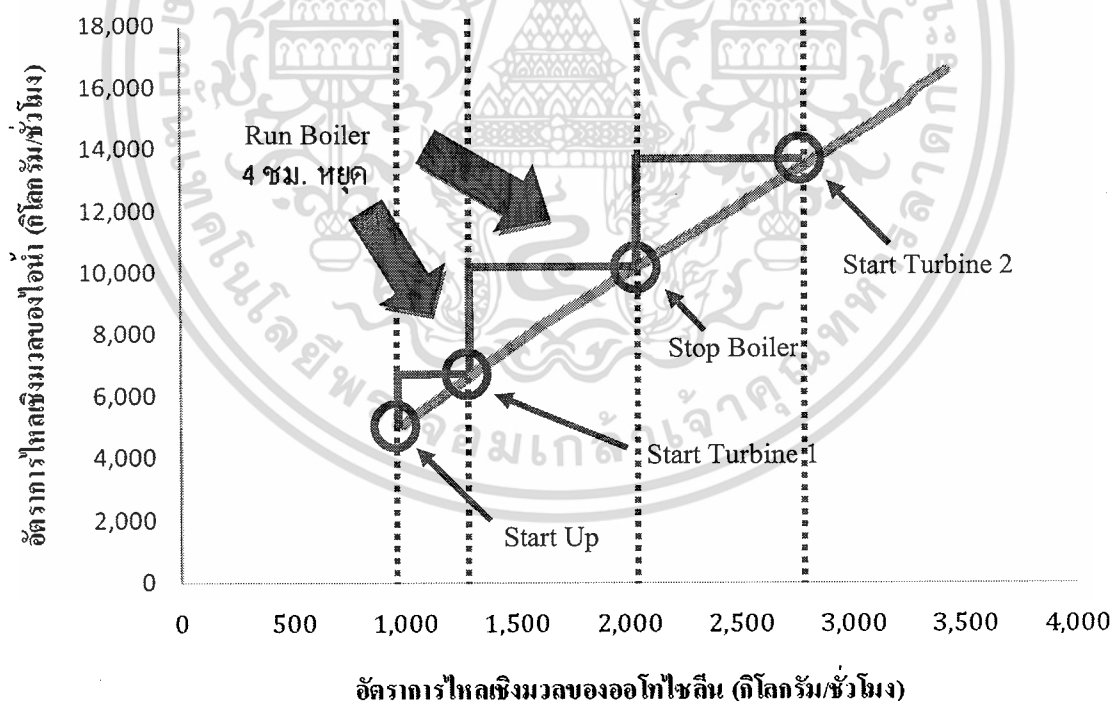
ลูกบาศก์เมตร จากนั้นจะเพิ่มที่อัตรา 1 กรัม/นอร์มอลลูกบาศก์เมตร ทุก 30 นาที จนถึงค่ากำลังการผลิตที่ต้องการ

## 2) การใช้ไอน้ำในช่วงเริ่มกระบวนการผลิต

ช่วงเริ่มกระบวนการผลิตและระหว่างการผลิตจะใช้ไอน้ำที่อุปกรณ์ต่างๆ เช่นเดียวกัน ดังนี้ ใช้ให้ความร้อนแก่อุปกรณ์แลกเปลี่ยนความร้อนที่ใช้ไอน้ำอิมตัวความดันสูงเพียงอย่างเดียว และที่ใช้ไอน้ำอิมตัวความดันสูงร่วมกับน้ำมันแลกเปลี่ยนความร้อนอุณหภูมิสูง และใช้ผลิตกระแสไฟฟ้าด้วยกังหันไอน้ำ 2 เครื่อง ซึ่งไอน้ำที่ใช้ผลิตมาจาก

- การถ่ายเทความร้อนจากปฏิกิริยาออกซิเดชันของออลโทไซลีนที่อุปกรณ์ซอลท์บาทคูเลอรี
- หม้อไอน้ำ (Boiler) 2 เครื่อง เมื่อปริมาณไอน้ำที่ผลิตจากอุปกรณ์ซอลท์บาทคูเลอรีไม่เพียงพอที่จะให้ความร้อนในกระบวนการผลิต

3.2.2 เก็บข้อมูลการใช้ไอน้ำในช่วงเริ่มกระบวนการผลิต ขั้นตอนการใช้ไอน้ำที่ผลิตได้ในช่วงเริ่มกระบวนการผลิตก่อนการดำเนินงาน แสดงดังรูปที่ 3.13 (รายละเอียดแสดงในตารางที่ ซ-1 ภาคผนวก ซ)

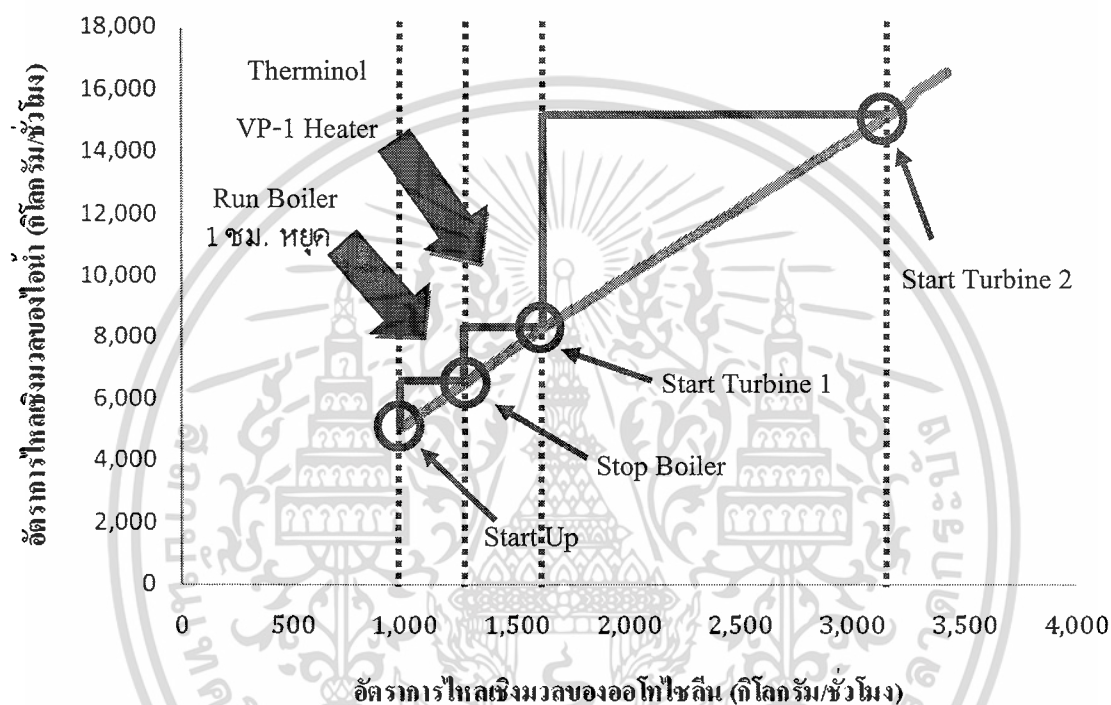


รูปที่ 3.13 ขั้นตอนการใช้ไอน้ำในช่วงเริ่มกระบวนการผลิตก่อนการดำเนินงาน

เอกสารนี้เป็นเอกสารที่สงวนไว้สำหรับการใช้งานเพื่อการศึกษาเท่านั้น ไม่อนุญาตให้นำไปใช้ประโยชน์ด้านการค้า ไม่ว่ากรณีใดๆ ทั้งสิ้น อีกทั้งห้ามมิให้ตัดแปลงเนื้อหา และต้องอ้างอิงถึงเจ้าของเอกสารทุกครั้งที่มีการนำไปใช้

จากรูปที่ 3.13 พบว่าในช่วงเริ่มกระบวนการผลิตก่อนการดำเนินงาน มีการใช้ไอน้ำที่ผลิตจากหม้อไอน้ำนานประมาณ 4 ชั่วโมง ซึ่งเป็นการใช้พลังงานอย่างสิ้นเปลือง จึงต้องหาวิธีจัดการพลังงานที่เหมาะสมเพื่อลดต้นทุนพลังงาน

3.2.3 ทำแผนการใช้ไอน้ำในช่วงเริ่มกระบวนการผลิต โดยใช้ผลจากการดุลพลังงาน และพิจารณาการใช้ไอน้ำที่มีความคุ้มค่าเชิงเศรษฐศาสตร์ที่สุด แนวทางการใช้ไอน้ำในช่วงเริ่มกระบวนการผลิตที่เสนอ ดังรูปที่ 3.14



รูปที่ 3.14 แนวทางการใช้ไอน้ำในช่วงเริ่มกระบวนการผลิตที่เสนอ

วางแผนการใช้ไอน้ำในช่วงเริ่มกระบวนการผลิตจากผลการเปรียบเทียบมูลค่าพลังงานในหัวข้อที่ 3.1 (รายละเอียดแสดงในตารางที่ ซ-1 ภาคผนวก ซ) ดังนี้

ก. ผลิตไอน้ำจากหม้อไอน้ำในอัตรา 6,700 กิโลกรัม/ชั่วโมง เมื่อเริ่มกระบวนการผลิตเพื่อใช้ถ่ายเทความร้อนให้อุปกรณ์แลกเปลี่ยนความร้อนที่ใช้ไอน้ำอิมตัวความดันสูงเพียงอย่างเดียว และใช้น้ำมันถ่ายเทความร้อนอุณหภูมิสูงถ่ายเทความร้อนให้อุปกรณ์แลกเปลี่ยนความร้อนที่ใช้ไอน้ำอิมตัวความดันสูงร่วมกับน้ำมันถ่ายเทความร้อนอุณหภูมิสูงที่อุ่นด้วยก๊าซธรรมชาติ

ข. ลดอัตราการผลิตไอน้ำจากหม้อไอน้ำลง 5.13 กิโลกรัม/ชั่วโมง ทุกอัตราการไหลเชิงมวลของอ็อกโทไซลีนที่เพิ่มขึ้น 1 กิโลกรัม/ชั่วโมง และใช้ไอน้ำอิมตัวความดันสูงที่ผลิตจากอุปกรณ์ซอลท์บาทคูลเลอร์แทนไอน้ำที่ผลิตจากหม้อไอน้ำ

เอกสารนี้เป็นเอกสารที่สงวนไว้สำหรับการใช้งานเพื่อการศึกษาเท่านั้น ไม่อนุญาตให้นำไปใช้ประโยชน์ด้านการค้า ไม่ว่าจะกรณีใดๆ ทั้งสิ้น อีกทั้งห้ามมิให้ดัดแปลงเนื้อหา และต้องอ้างอิงถึงเจ้าของเอกสารทุกครั้งที่มีการนำไปใช้

ค. หลังจาก 1 ชั่วโมง เมื่ออัตราการไหลเชิงมวลของอโทไซลีนประมาณ 1,334 กิโลกรัม/ชั่วโมง (อัตราการผลิตไอน้ำจากอุปกรณ์ซอลท์บาทकुलเลอร์ 6,700 กิโลกรัม/ชั่วโมง) หยุดการผลิตไอน้ำจากหม้อไอน้ำ และนำไอน้ำอิมตัวความดันสูงที่เหลือไปใช้แทนน้ำมันถ่ายเทความร้อนอุณหภูมิสูงที่อุ่นด้วยก๊าซธรรมชาติที่อุปกรณ์แลกเปลี่ยนความร้อน (Therminol VP-1 Heater) ที่ใช้ไอน้ำอิมตัวความดันสูงร่วมกับน้ำมันถ่ายเทความร้อนอุณหภูมิสูงเพื่อลดการใช้ก๊าซธรรมชาติ

ง. เริ่มนำไอน้ำที่ได้จากอุปกรณ์ซอลท์บาทकुलเลอร์ ไปผลิตกระแสไฟฟ้าที่กังหันไอน้ำเครื่องที่ 1 เมื่อมีอัตราการไหลเชิงมวลของอโทไซลีนประมาณ 1,642 กิโลกรัม/ชั่วโมง (อัตราการผลิตไอน้ำจากอุปกรณ์ซอลท์บาทकुलเลอร์ 8,500 กิโลกรัม/ชั่วโมง)

จ. เมื่อมีอัตราการไหลเชิงมวลของอโทไซลีนประมาณ 3,283 กิโลกรัม/ชั่วโมง (อัตราการผลิตไอน้ำจากอุปกรณ์ซอลท์บาทकुलเลอร์ 16,000 กิโลกรัม/ชั่วโมง) หยุดผลิตกระแสไฟฟ้าจากกังหันไอน้ำเครื่องที่ 1 และนำไอน้ำที่ได้จากอุปกรณ์ซอลท์บาทकुलเลอร์ไปผลิตกระแสไฟฟ้าที่กังหันไอน้ำเครื่องที่ 2 แทน

3.2.4 เปรียบเทียบความแตกต่างของมูลค่าพลังงานของการใช้ไอน้ำในช่วงเริ่มกระบวนการผลิตก่อนการดำเนินงานและแนวทางที่เสนอ พิจารณาเฉพาะ หม้อไอน้ำ อุปกรณ์แลกเปลี่ยนความร้อนที่ใช้ไอน้ำอิมตัวความดันสูงร่วมกับน้ำมันแลกเปลี่ยนความร้อน กังหันไอน้ำเครื่องที่ 1 และเครื่องที่ 2 ที่อัตราการไหลเชิงมวลของอโทไซลีนระหว่าง 1,334 – 3,420 กิโลกรัม/ชั่วโมง

คำนวณมูลค่าพลังงานทางทฤษฎีโดยใช้ราคาต่อหน่วยจากตารางที่ 3.1 ดังแสดงในตารางที่ 3.3 และมูลค่าพลังงานจากภาวะปฏิบัติการดังตารางที่ 3.4

ตารางที่ 3.3 มูลค่าพลังงานทางทฤษฎีในช่วงเริ่มกระบวนการผลิต

Start Up	ราคาต่อการเริ่มกระบวนการผลิต (บาท/ครั้ง)			
	ก๊าซธรรมชาติ	ไฟฟ้า	น้ำมันเตา	รวม
ก่อนการดำเนินงาน	-13,929.13**	23,890.80	-31,983.58	-22,021.92
แนวทางที่เสนอ	-1,385.56	12,064.60	-6,150.69	4,528.35
ผลต่าง	12,543.57*	-11,826.20	25,832.89	26,550.27

ตารางที่ 3.4 มูลค่าพลังงานจากภาวะปฏิบัติการในช่วงเริ่มกระบวนการผลิต

Start Up	ราคาต่อการเริ่มกระบวนการผลิต (บาท/ครั้ง)			
	ก๊าซธรรมชาติ	ไฟฟ้า	น้ำมันเตา	รวม
ก่อนการดำเนินงาน	-16,387.30**	18,481.55	-34,751.88	-32,657.63
แนวทางที่เสนอ	-2,637.88	4,290.88	-6,683.05	-5,030.06
ผลต่าง	13,749.42*	-14,190.67	28,068.83	27,627.57

\* ค่าบวก คือ มูลค่าพลังงานที่ได้รับ

\*\* ค่าลบ คือ มูลค่าพลังงานที่สูญเสีย



เอกสารนี้เป็นเอกสารที่สงวนไว้สำหรับการใช้งานเพื่อการศึกษาเท่านั้น ไม่อนุญาตให้นำไปใช้ประโยชน์ด้านการค้า  
ไม่ว่ากรณีใดๆ ทั้งสิ้น อีกทั้งห้ามมิให้ตัดแปลงเนื้อหา และต้องอ้างอิงถึงเจ้าของเอกสารทุกครั้งที่มีการนำไปใช้

## บทที่ 4

# สรุปผลและข้อเสนอแนะ

### 4.1 ผลการเลือกใช้พลังงานที่เหมาะสมกว่าและสามารถทดแทนกันได้เพื่อต้นทุนพลังงานที่เหมาะสม

จากการคำนวณทางทฤษฎีและจากภาวะการปฏิบัติงาน พบว่าการนำไอน้ำจากการถ่ายเทความร้อนจากปฏิกิริยาออกซิเดชันของอโทโซลีนไปให้ความร้อนแทนน้ำมันถ่ายเทความร้อนอุณหภูมิสูงที่อุ่นด้วยก๊าซธรรมชาติมีความคุ้มค่าเชิงเศรษฐศาสตร์มากกว่านำไปผลิตกระแสไฟฟ้าด้วยกังหันไอน้ำเครื่องที่ 1 และเครื่องที่ 2

### 4.2 แผนการใช้ไอน้ำที่ได้จากปฏิกิริยาออกซิเดชันของอโทโซลีนในช่วงเริ่มกระบวนการผลิตพาทาลิกแอนไฮไดรด์

พิจารณาลำดับการใช้ไอน้ำจากการถ่ายเทความร้อนจากปฏิกิริยาออกซิเดชันของอโทโซลีนในช่วงเริ่มกระบวนการผลิตที่มีความคุ้มค่าเชิงเศรษฐศาสตร์มากที่สุด ควรนำไอน้ำนี้ไปใช้แทนไอน้ำที่ผลิตจากหม้อไอน้ำด้วยน้ำมันเตาก่อน จากนั้นจึงนำไปใช้ให้ความร้อนที่อุปกรณ์แลกเปลี่ยนความร้อนที่ใช้ไอน้ำอ้อมตัวความดันสูงร่วมกับน้ำมันถ่ายเทความร้อนอุณหภูมิสูงแทนน้ำมันถ่ายเทความร้อนอุณหภูมิสูงที่อุ่นด้วยก๊าซธรรมชาติ และใช้ผลิตกระแสไฟฟ้าด้วยกังหันไอน้ำเครื่องที่ 1 และเครื่องที่ 2 สามารถลดต้นทุนพลังงานในโรงงานผลิตพาทาลิกแอนไฮไดรด์โรงที่ 1 ประมาณ 27,000 บาท ต่อการเริ่มกระบวนการผลิต 1 ครั้ง

### 4.3 ข้อเสนอแนะ

4.3.1 การเปรียบเทียบมูลค่าของพลังงานใช้ราคาเฉลี่ยของพลังงานระหว่างเดือนมกราคม – กันยายน พ.ศ. 2551 ดังนั้นถ้ามูลค่าของพลังงานเปลี่ยนแปลงอย่างชัดเจนจะกระทบต่อการคำนวณเชิงเศรษฐศาสตร์ ทำให้ผลต่อการเลือกใช้ประเภทของพลังงานและรูปแบบการใช้พลังงานในกระบวนการผลิตพาทาลิกแอนไฮไดรด์แตกต่างกัน จึงต้องติดตามมูลค่าของพลังงานทั้งประเภทและรูปแบบที่ใช้ในกระบวนการผลิตอย่างสม่ำเสมอ

4.3.2 การดำเนินงานนี้เก็บข้อมูลปริมาณไอน้ำที่ได้จากการถ่ายเทความร้อนของปฏิกิริยาออกซิเดชันของอโทโซลีนในช่วงที่อากาศแห้ง ไม่มีฝน จากการปฏิบัติงานสังเกตได้ว่าช่วงฝนตกจะมีปริมาณความชื้นในบรรยากาศสูง ทำให้ไอน้ำที่ได้จากการถ่ายเทความร้อนของปฏิกิริยาออกซิเดชันของอโทโซลีนเกิดการควบแน่นและสามารถนำไปใช้ได้น้อยลง จึงต้องใช้หม้อไอน้ำ

เอกสารนี้เป็นเอกสารที่สงวนไว้สำหรับการใช้งานเพื่อการศึกษาเท่านั้น ไม่อนุญาตให้นำไปใช้ประโยชน์ด้านการค้าไม่ว่ากรณีใดๆ ทั้งสิ้น อีกทั้งห้ามมิให้ตัดแปลงเนื้อหา และต้องอ้างอิงถึงเจ้าของเอกสารทุกครั้งที่มีการนำไปใช้

ผลิตไอน้ำในช่วงเริ่มกระบวนการผลิตนานขึ้น ดังนั้นต้นทุนพลังงานจะสูงขึ้นจากราคาของน้ำมันเตา



เอกสารนี้เป็นเอกสารที่สงวนไว้สำหรับการใช้งานเพื่อการศึกษาเท่านั้น ไม่อนุญาตให้นำไปใช้ประโยชน์ด้านการค้า ไม่ว่าจะกรณีใดๆ ทั้งสิ้น อีกทั้งห้ามมิให้ดัดแปลงเนื้อหา และต้องอ้างอิงถึงเจ้าของเอกสารทุกครั้งที่มีการนำไปใช้

## เอกสารอ้างอิง

- [1] กรมพัฒนาพลังงานทดแทนและอนุรักษ์พลังงาน. วิศวกรรมสาร, ฉบับที่ 2, มีนาคม-เมษายน 2549. หน้า 44 – 49.
- [2] สำนักนโยบายและแผนพลังงาน กระทรวงพลังงาน. **สถานการณ์พลังงานไทยปี 2550 และแนวโน้มปี 2551**. [Online]. Available : <http://www.eppo.go.th/info/report-2550/pressenergy2550.ppt>
- [3] สำนักกำกับและอนุรักษ์พลังงาน กรมพัฒนาและส่งเสริมพลังงาน กระทรวงวิทยาศาสตร์ เทคโนโลยีและสิ่งแวดล้อม. **พระราชบัญญัติการส่งเสริมการอนุรักษ์พลังงาน, 2535**.
- [4] J.M. Smith, H.C. Van Ness, and M.M. Abbott. 2005. **Introduction to Chemical Engineering Thermodynamics**. New York : McGraw-Hill.
- [5] R.M. Felder and R.W. Rousseau. 2000. **Elementary Principles of Chemical Processes**. 3<sup>rd</sup> Ed. New York : John Wiley & Sons.
- [6] บริษัทคอนทีเนนทอล ปีโตรเคมีคอลล (ประเทศไทย) จำกัด. **PA Process Description, Piping and Instrument Diagram, and Process Flow Diagram**.
- [7] วัชร มั่งวิฑิตกุล. 2548. **กระบวนการและเทคนิค การลดค่าใช้จ่ายพลังงาน สำหรับอาคารและโรงงานอุตสาหกรรม**. กรุงเทพฯ : ไร่ไฟ เพรส.
- [8] กุลยา ศรีงามผ่อง. 2545. **การบูรณาการพลังงานในโรงงานผลิตพาทาลิกแอนไฮไดรต์**. วิทยานิพนธ์วิศวกรรมศาสตรมหาบัณฑิต สาขาวิชาวิศวกรรมเคมี บัณฑิตวิทยาลัย, สถาบันเทคโนโลยีพระจอมเกล้าเจ้าคุณทหารลาดกระบัง.
- [9] R.C. Weast and M.J. Astle. 1992. **CRC Handbook of Chemistry and Physics**. Florida: CRC Press.

# ภาคผนวก



เอกสารนี้เป็นเอกสารที่สงวนไว้สำหรับการใช้งานเพื่อการศึกษาเท่านั้น ไม่อนุญาตให้นำไปใช้ประโยชน์ด้านการค้า  
ไม่ว่ากรณีใดๆ ทั้งสิ้น อีกทั้งห้ามมิให้ดัดแปลงเนื้อหา และต้องอ้างอิงถึงเจ้าของเอกสารทุกครั้งที่มีการนำไปใช้

ภาคผนวก ก

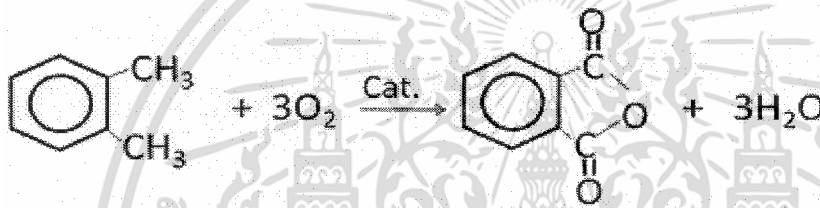
การคำนวณความร้อนจากปฏิกิริยาออกซิเดชัน  
ของอโทไซลีน ( $\Delta H$ )

ก.1 ปฏิกิริยาหลักและปฏิกิริยาข้างเคียงของการผลิตพาทาลิกแอนไฮไดรด์ [6]

ปฏิกิริยาออกซิเดชันของอโทไซลีน ที่อุณหภูมิ 370 องศาเซลเซียส และความดัน 1.11 บาร์ ใช้วานเดียมเพนทอกไซด์ ( $V_2O_5$ ) เป็นตัวเร่งปฏิกิริยา

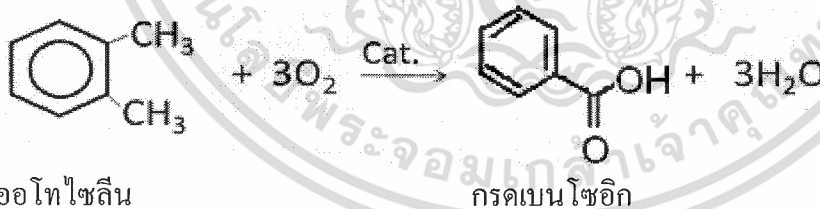
ปฏิกิริยาหลัก: อโทไซลีนทำปฏิกิริยากับออกซิเจนได้ก๊าซพาทาลิกแอนไฮไดรด์ ดังสมการที่

2.1

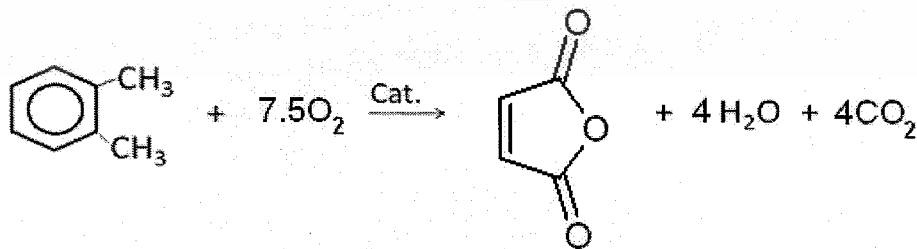


อโทไซลีน พาทาลิกแอนไฮไดรด์ (2.1)

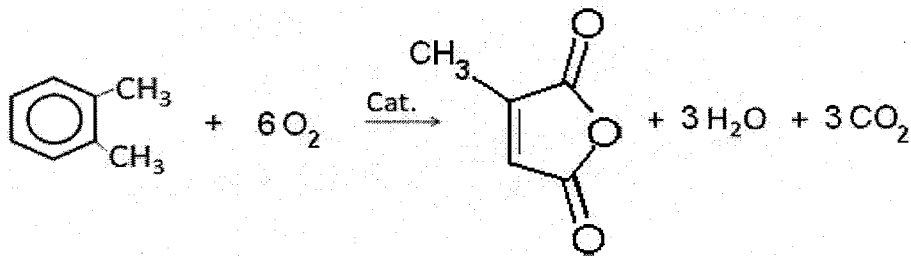
ปฏิกิริยาข้างเคียง: อโทไซลีนทำปฏิกิริยากับออกซิเจนได้ผลิตภัณฑ์ข้างเคียง ได้แก่ กรดเบนโซอิก มาเลอิกแอนไฮไดรด์ ไซทราโคนิกแอนไฮไดรด์ คาร์บอนมอนอกไซด์ และคาร์บอนไดออกไซด์ ดังสมการต่อไปนี้



อโทไซลีน กรดเบนโซอิก (ก-1)



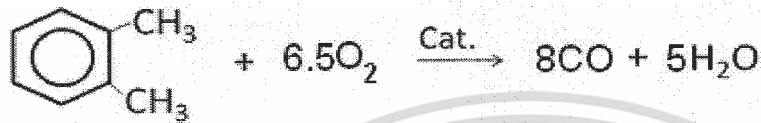
อโทไซลีน มาเลอิกแอนไฮไดรด์ (ก-2)



อโทไซลีน

ไซทราโคนิกแอนไฮไดรด์

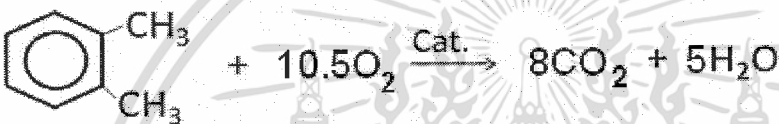
(ก-3)



อโทไซลีน

คาร์บอนมอนอกไซด์

(ก-4)



อโทไซลีน

คาร์บอนไดออกไซด์

(ก-5)

## ก.2 กำหนดความร้อนจากปฏิกิริยาออกซิเดชันของอโทไซลีน ( $\Delta\dot{H}$ )

กำหนดความร้อนจากปฏิกิริยาออกซิเดชันของอโทไซลีนที่อัตราการผลิตเชิงมวลเท่ากับ 2,113.76 กิโลกรัม/ชั่วโมง ได้จากสมการที่ 2.3.2

$$\Delta\dot{H} = \sum_{\text{Reaction}} \dot{\epsilon}_j \Delta\hat{H}_{rj}^\circ + \sum \dot{n}_{\text{out}} \hat{H}_{\text{out}} - \sum \dot{n}_{\text{in}} \hat{H}_{\text{in}} \quad (2.3.2)$$

### ก.2.1 กำหนดความร้อนจากปฏิกิริยา ( $\sum_{\text{Reaction}} \dot{\epsilon}_j \Delta\hat{H}_{rj}^\circ$ )

1) กำหนดความร้อนมาตรฐานของปฏิกิริยา (Standard Heat of Reaction :  $\Delta\hat{H}_r^\circ$ ) จากสมการที่ 2.2

$$\Delta\hat{H}_r^\circ = \sum_{\text{Product}} |v_i| \Delta\hat{H}_{fi}^\circ - \sum_{\text{Reactant}} |v_i| \Delta\hat{H}_{fi}^\circ \quad (2.2)$$

โดยใช้ความร้อนมาตรฐานของการเกิด (Standard Heat of Formation:  $\Delta\hat{H}_{fi}^\circ$ )

จากตารางที่ ก-1

ตัวอย่างการคำนวณความร้อนมาตรฐานของปฏิกิริยาหลัก สมการที่ 2.1

$$\begin{aligned} \Delta\hat{H}_r^\circ &= \{(-371.717) + 3(-241.980)\} - \{19.008 + 3(0)\} \\ &= -1,116.665 \text{ กิโลจูล/โมล} \end{aligned}$$

ตัวอย่างการคำนวณความร้อนมาตรฐานของปฏิกิริยาข้างเคียง สมการที่ ก-1

$$\begin{aligned}\Delta \hat{H}_r^\circ &= \{(-290.396) + 3(-241.980)\} - \{19.008 + 3(0)\} \\ &= -1,035.344 \text{ กิโลจูล/โมล}\end{aligned}$$

ตารางที่ ก-1 ความร้อนมาตรฐานของการเกิด (Standard Heat of Formation :  $\Delta \hat{H}_f^\circ$ ) [9]

สารประกอบ	ความร้อนมาตรฐานของการเกิด	
	kcal/mol	kJ/mol
อโทไซลีน	4.540	19.008
ออกซิเจน	0.000	0.000
พาทาลิกแอนไฮไดรด์	-88.783	-371.717
กรดเบนโซอิก	-69.360	-290.396
มาเลอิกแอนไฮไดรด์	-95.132	-398.299
ไซทราโคนิกแอนไฮไดรด์	-106.900	-447.569
คาร์บอนมอนอกไซด์	-26.416	-110.599
คาร์บอนไดออกไซด์	-94.052	-393.777
ไอน้ำ	-57.796	-241.980

2) จำนวน Extent of Reaction :  $\xi_j$

$$\xi = \frac{|n_{A,out} - n_{A,in}|}{|v_A|} = \frac{n_{Ar}}{v_A} \quad (2.4)$$

ตัวอย่างการคำนวณ Extent of Reaction ของปฏิกิริยาหลัก ดังนี้  
จากสมการที่ 2.1

1 โมลของพาทาลิกแอนไฮไดรด์ สมมูลกับ 1 โมลของอโทไซลีน ดังนั้นจาก  
ตารางที่ ก-2 พาทาลิกแอนไฮไดรด์ 14.86 กิโลโมล/ชั่วโมง สมมูลกับอโทไซลีน 14.86  
กิโลโมล/ชั่วโมง

$$n_{Ar} = 14.86 \text{ กิโลโมล/ชั่วโมง}$$

$$v_A = 1$$

เอกสารนี้เป็นเอกสารที่สงวนไว้สำหรับการใช้งานเพื่อการศึกษาเท่านั้น ไม่อนุญาตให้นำไปใช้ประโยชน์ด้านการค้า  
ไม่ว่ากรณีใดๆ ทั้งสิ้น อีกทั้งห้ามมิให้ตัดแปลงเนื้อหา และต้องอ้างอิงถึงเจ้าของเอกสารทุกครั้งที่มีการนำไปใช้

$$\dot{\epsilon}_1 = \frac{n_{A,r}}{v_A} = \frac{14.86 \text{ กิโลโมล/ชั่วโมง}}{1}$$

$$= 14.86 \text{ กิโลโมล/ชั่วโมง}$$

ตัวอย่างการคำนวณ Extent of Reaction ของปฏิกิริยาข้างเคียง ดังนี้

จากสมการที่ ก-1

1 โมลของกรดเบนโซอิก สมมูลกับ 1 โมลของอโทไซลีน ดังนั้นจากตารางที่ ก-2

กรดเบนโซอิก 0.08 กิโลโมล/ชั่วโมง สมมูลกับอโทไซลีน 0.08 กิโลโมล/ชั่วโมง

$$n_{A,r} = 0.08 \text{ กิโลโมล/ชั่วโมง}$$

$$v_A = 1$$

$$\dot{\epsilon}_2 = \frac{n_{A,r}}{v_A} = \frac{0.08 \text{ กิโลโมล/ชั่วโมง}}{1}$$

$$= 0.08 \text{ กิโลโมล/ชั่วโมง}$$

ตารางที่ ก-2 องค์ประกอบและสมบัติของผลิตภัณฑ์หลักและผลิตภัณฑ์ข้างเคียงจากเครื่องปฏิกรณ์

องค์ประกอบ	น้ำหนัก โมเลกุล	ร้อยละ โดย น้ำหนัก (%wt)	สัดส่วน เชิงโมล (Mole Fraction)	อัตราการไหล เชิงมวล (kg/h)	อัตราการไหล เชิงโมล (kmol/h)
ออกซิเจน	32.000	15.820	0.145	7,687.297	240.228
ไนโตรเจน	28.020	72.220	0.754	35,093.337	1,252.439
พาทาลิกแอนไฮไดรด์	148.120	4.530	0.009	2,201.230	14.861
กรดเบนโซอิก	122.120	0.020	0.000	9.718	0.080
มาเลอิกแอนไฮไดรด์	98.060	0.240	0.001	116.621	1.189
ไซทราโคนิกแอนไฮไดรด์	112.080	0.020	0.000	9.718	0.087
คาร์บอนมอนอกไซด์	28.010	0.630	0.007	306.131	10.929
คาร์บอนไดออกไซด์	44.010	2.200	0.015	1,069.030	24.291
ซัลเฟอร์ไดออกไซด์	64.070	0.010	0.000	4.859	0.076
ไอน้ำ	18.018	4.310	0.070	2,094.327	116.235
รวม		100.000	1.000	48,592.270	1,660.415

เอกสารนี้เป็นเอกสารที่สงวนไว้สำหรับการใช้งานเพื่อการศึกษาเท่านั้น ไม่อนุญาตให้นำไปใช้ประโยชน์ด้านการค้า  
ไม่ว่ากรณีใดๆ ทั้งสิ้น อีกทั้งห้ามมิให้ตัดแปลงเนื้อหา และต้องอ้างอิงถึงเจ้าของเอกสารทุกครั้งที่มีการนำไปใช้

- 3) ความร้อนมาตรฐานของทุกปฏิกิริยา ( $\sum_{\text{Reaction}} \dot{\epsilon}_j \Delta \hat{H}_{rj}^\circ$ )  
 ดังแสดงในตารางที่ ก-3

ตารางที่ ก-3 ความร้อนมาตรฐานของทุกปฏิกิริยาที่เกิดขึ้น ( $\sum_{\text{Reaction}} \dot{\epsilon}_j \Delta \hat{H}_{rj}^\circ$ )

ปฏิกิริยา	สารผลิตภัณฑ์	Extent of Reaction ( $\dot{\epsilon}_j$ ) (kmol/h)	ความร้อนมาตรฐานของปฏิกิริยา ( $\Delta \hat{H}_{rj}^\circ$ ) (MJ/kmol)	$\dot{\epsilon}_j \times \Delta \hat{H}_{rj}^\circ$ (MJ/h)
หลัก	พาทาลิกแอนไฮไดรด์	14.860	-1,116.66	-16,593.65
ข้างเคียง	กรดเบนโซอิก	0.080	-1,035.34	-82.83
	มาเลอิกแอนไฮไดรด์	1.190	-3,010.58	-3,582.59
	ไซทราโคนิกแอนไฮไดรด์	0.090	-2,373.85	-213.65
	คาร์บอนมอนอกไซด์	1.366	-2,113.70	-2,887.31
	คาร์บอนไดออกไซด์	2.323	-4,379.12	-10,172.71
$\sum_{\text{Reaction}} \dot{\epsilon}_j \Delta \hat{H}_{rj}^\circ$				-33,532.73

ก.2.2 จากตัวเลขของเอนทัลปีที่เข้าและออกจากเครื่องปฏิกรณ์ในแผนผังกระบวนการผลิต

เอนทัลปีที่เข้าเครื่องปฏิกรณ์ ( $\sum \dot{n}_{in} \hat{H}_{in}$ ) =  $7.80223 \times 10^6$  กิโลจูล/ชั่วโมง

เอนทัลปีที่ออกจากเครื่องปฏิกรณ์ ( $\sum \dot{n}_{out} \hat{H}_{out}$ ) =  $2.06675 \times 10^7$  กิโลจูล/ชั่วโมง

ก.2.3 แทนค่าความร้อนมาตรฐานของทุกปฏิกิริยาที่เกิดขึ้น ( $\sum_{\text{Reaction}} \dot{\epsilon}_j \Delta \hat{H}_{rj}^\circ$ )

จากตารางที่ ก-3 ค่าเอนทัลปีที่เข้า ( $\sum \dot{n}_{in} \hat{H}_{in}$ ) และออกจากเครื่องปฏิกรณ์ ( $\sum \dot{n}_{out} \hat{H}_{out}$ ) ลงในสมการที่ 2.3.2 จะได้

$$\begin{aligned} \Delta \dot{H} &= (-3.353 \times 10^7) + (2.067 \times 10^7) - (7.802 \times 10^6) \\ &= -2.07 \times 10^7 \text{ กิโลจูล/ชั่วโมง} \end{aligned}$$

เอกสารนี้เป็นเอกสารที่สงวนไว้สำหรับการใช้งานเพื่อการศึกษาเท่านั้น ไม่อนุญาตให้นำไปใช้ประโยชน์ด้านการค้า ไม่ว่ากรณีใดๆ ทั้งสิ้น อีกทั้งห้ามมิให้ดัดแปลงเนื้อหา และต้องอ้างอิงถึงเจ้าของเอกสารทุกครั้งที่มีการนำไปใช้

ก.3 ความร้อนที่ได้จากปฏิกิริยาต่อกิโลกรัมของอโทไซลีน (q)

$$q = \Delta H / m \quad (3.1)$$

$$= \frac{-2.07 \times 10^7 \text{ กิโลจูล/ชั่วโมง}}{2113.76 \text{ กิโลกรัมของอโทไซลีน/ชั่วโมง}}$$

$$= -9,777.56 \text{ กิโลจูล/กิโลกรัมของอโทไซลีน}$$



เอกสารนี้เป็นเอกสารที่สงวนไว้สำหรับการใช้งานเพื่อการศึกษาเท่านั้น ไม่อนุญาตให้นำไปใช้ประโยชน์ด้านการค้า ไม่ว่ากรณีใดๆ ทั้งสิ้น อีกทั้งห้ามมิให้ตัดแปลงเนื้อหา และต้องอ้างอิงถึงเจ้าของเอกสารทุกครั้งที่มีการนำไปใช้

## ภาคผนวก ข

# ข้อมูลของหม้อไอน้ำ

### ข.1 ค่าออกแบบของหม้อไอน้ำจากบริษัทผู้ผลิตแสดงดังนี้

ข.1.1 ชนิดของเชื้อเพลิงที่ใช้ : น้ำมันเตาเกรด A

ความหนาแน่นที่ 15 องศาเซลเซียส = 0.985 กิโลกรัม/ลิตร

ค่าความร้อนของการเผาไหม้ = 10,140 กิโลแคลอรี/กิโลกรัม

ข.1.2 ภาวะปฏิบัติงาน

ความดัน = 8 กิโลกรัม/ตารางเมตร\*ความเร่งเนื่องจากแรงโน้มถ่วง

= 7.8448 บาร์

อุณหภูมิของน้ำป้อนหม้อไอน้ำ = 20 องศาเซลเซียส

ปริมาณของเชื้อเพลิงที่ใช้ = 431.8 กิโลกรัม/ชั่วโมง (หม้อไอน้ำ 12A)

= 575.8 กิโลกรัม/ชั่วโมง (หม้อไอน้ำ 16A)

ปริมาณไอน้ำที่ผลิตได้ = 6,000 กิโลกรัม/ชั่วโมง (หม้อไอน้ำ 12A)

= 8,000 กิโลกรัม/ชั่วโมง (หม้อไอน้ำ 16A)

เอนทัลปีของน้ำป้อน (ที่ 20 องศาเซลเซียส) = 20.06644 กิโลแคลอรี/กิโลกรัม

เอนทัลปีของไอน้ำความดัน 7.8448 บาร์ = 662.8244 กิโลแคลอรี/กิโลกรัม

ข.1.3 สูตรการคำนวณประสิทธิภาพของหม้อไอน้ำ

$$\text{ประสิทธิภาพ} = \frac{\text{ปริมาณไอน้ำที่ผลิตได้} \left(\frac{\text{kg}}{\text{h}}\right) \times \text{ค่าเอนทัลปีของไอน้ำ} (\text{kcal/kg})}{\text{ปริมาณของเชื้อเพลิงที่ใช้} \left(\frac{\text{kg}}{\text{h}}\right) \times \text{ค่าความร้อนของการเผาไหม้} (\text{kcal/kg})} \times 100 \% \quad (\text{ข.1})$$

ข.1.4 ประสิทธิภาพของหม้อไอน้ำ 12A

$$\begin{aligned} \text{ประสิทธิภาพ} &= \frac{6,000 \left(\frac{\text{kg}}{\text{h}}\right) \times 642.75796 (\text{kcal/kg})}{431.8 \left(\frac{\text{kg}}{\text{h}}\right) \times 10,140 (\text{kcal/kg})} \times 100\% \\ &= 88 \% \end{aligned}$$

เอกสารนี้เป็นเอกสารที่สงวนไว้สำหรับการใช้งานเพื่อการศึกษาเท่านั้น ไม่อนุญาตให้นำไปใช้ประโยชน์ด้านการค้า ไม่ว่ากรณีใดๆ ทั้งสิ้น อีกทั้งห้ามมิให้ตัดแปลงเนื้อหา และต้องอ้างอิงถึงเจ้าของเอกสารทุกครั้งที่มีการนำไปใช้

ข.1.5 ประสิทธิภาพของหม้อไอน้ำ 16A

$$\begin{aligned} \text{ประสิทธิภาพ} &= \frac{8,000 \left(\frac{\text{kg}}{\text{h}}\right) \times 642.75796 \text{ (kcal/kg)}}{575.8 \left(\frac{\text{kg}}{\text{h}}\right) \times 10.140 \text{ (kcal/kg)}} \times 100\% \\ &= 88\% \end{aligned}$$

ข.2 อัตราการใช้น้ำมันเตาของหม้อไอน้ำ

ตารางที่ ข-1 อัตราการใช้น้ำมันเตาของหม้อไอน้ำ 12A

ปริมาณน้ำมันเตาที่ใช้ (L)	เวลา (s)
1	7.39
1	7.47
1	7.51
1	7.53
1	7.44
1	7.59
1	7.45
1	7.62
เฉลี่ย	7.50
อัตรา (L/h)	480.00
ประสิทธิภาพ (%)	77.98

เอกสารนี้เป็นเอกสารที่สงวนไว้สำหรับการใช้งานเพื่อการศึกษาเท่านั้น ไม่อนุญาตให้นำไปใช้ประโยชน์ด้านการค้า  
ไม่ว่ากรณีใดๆ ทั้งสิ้น อีกทั้งห้ามมิให้ตัดแปลงเนื้อหา และต้องอ้างอิงถึงเจ้าของเอกสารทุกครั้งที่มีการนำไปใช้

ตารางที่ ข-2 อัตราการใช้น้ำมันเตาของหม้อไอน้ำ 16A

ปริมาณน้ำมันเตาที่ใช้ (L)	เวลา (s)
1	6.03
1	5.98
1	6.04
1	6.02
1	5.95
1	6.01
1	5.97
1	6.05
เฉลี่ย	6.01
อัตรา (L/h)	599.38
ประสิทธิภาพ (%)	80.99

เอกสารนี้เป็นเอกสารที่สงวนไว้สำหรับการใช้งานเพื่อการศึกษาเท่านั้น ไม่อนุญาตให้นำไปใช้ประโยชน์ด้านการค้า  
ไม่ว่ากรณีใดๆ ทั้งสิ้น อีกทั้งห้ามมิให้ตัดแปลงเนื้อหา และต้องอ้างอิงถึงเจ้าของเอกสารทุกครั้งที่มีการนำไปใช้

## ภาคผนวก ค

# ข้อมูลของน้ำมันถ่ายเทความร้อนจากบริษัทผู้ผลิต

### ค.1 น้ำมันถ่ายเทความร้อนอุณหภูมิต่ำ (Therminol VP-1)

น้ำมันถ่ายเทความร้อนอุณหภูมิต่ำมีสถานะของเหลว/ไอ เป็นตัวกลางแลกเปลี่ยนความร้อนที่เสถียรและเหมาะสมสำหรับปฏิบัติงานในช่วงอุณหภูมิไม่เกิน 370-400 องศาเซลเซียส เป็นสารผสมยูเทคติกของ 73.5% ไคฟีนิลออกไซด์ต่อ 26.5% ไคฟีนิล เป็นของแข็งที่อุณหภูมิ 12 องศาเซลเซียส ดังนั้นจึงต้องระวังการแข็งตัวของน้ำมันเมื่อที่อุณหภูมิเย็น เป็นสารที่เกิดการเผาไหม้ได้แต่ไม่เกิดไฟไหม้หรือการระเบิดที่รุนแรง แต่อย่างไรก็ตามที่ภาวะความดันสูงจะรวมตัวกับอากาศแล้วเกิดการระเบิด

ค.1.1 สมบัติทางกายภาพของน้ำมันถ่ายเทความร้อนอุณหภูมิต่ำ (Therminol VP-1) ในสถานะของเหลว

ความหนาแน่น (กิโลกรัม/ลูกบาศก์เมตร)

$$= -0.90797T(^{\circ}\text{C}) + 0.00078116T^2 - 2.367 \times 10^{-6}T^3 + 1083.25 \quad (\text{ค-1})$$

ความจุความร้อนจำเพาะ (กิโลจูล/กิโลกรัม เคลวิน)

$$= 0.002414T + 5.9591 \times 10^{-6}T^2 - 2.9879 \times 10^{-8}T^3 + 4.4172 \times 10^{-11}T^4 + 1.498 \quad (\text{ค-2})$$

สภาพการนำความร้อน (วัตต์/เมตร เคลวิน)

$$= -8.19477 \times 10^{-5}T - 1.92257 \times 10^{-7}T^2 + 2.5034 \times 10^{-11}T^3 - 7.2974 \times 10^{-15}T^4 + 0.137743 \quad (\text{ค-3})$$

ความหนืดไคเนมาติกส์ (ตารางมิลลิเมตร/วินาที)

$$= \frac{544.149}{e^{T+114.43}} - 2.59578 \quad (\text{ค-4})$$

ความดันไอ (กิโลปาสกาล)

$$= -0.190859T + 4.35824 \times 10^{-3}T^2 - 3.6106 \times 10^{-5}T^3 + 1.08408 \times 10^{-7}T^4 + 2.12329 \quad (\text{ค-5})$$

ความร้อนแฝงของการกลายเป็นไอ (กิโลจูล/กิโลกรัม)

$$= -0.528933T - 7.50103 \times 10^{-5}T^2 + 1.5622 \times 10^{-6}T^3 - 3.771 \times 10^{-9}T^4 + 425.18 \quad (\text{ค-6})$$

เอกสารนี้เป็นเอกสารที่สงวนไว้สำหรับการใช้งานเพื่อการศึกษาเท่านั้น ไม่อนุญาตให้นำไปใช้ประโยชน์ด้านการค้า ไม่ว่ากรณีใดๆ ทั้งสิ้น อีกทั้งห้ามมิให้คัดแปลงเนื้อหา และต้องอ้างอิงถึงเจ้าของเอกสารทุกครั้งที่มีการนำไปใช้

ค.1.2 สมบัติทางกายภาพของน้ำมันถ่ายเทความร้อนอุณหภูมิต่ำ (Therminol VP-1) ในสถานะไอ

ความหนาแน่น (กิโลกรัม/ลูกบาศก์เมตร)

$$=-0.0303917T(^{\circ}\text{C})+4.34615*10^{-4}T^2-2.41006*10^{-6}T^3+5.33458*10^{-9}T^4+0.553905 \quad (\text{ค-7})$$

ความจุความร้อนจำเพาะ (กิโลจูล/กิโลกรัม เคลวิน)

$$= 0.003703T-3.0274*10^{-6}T^2+2.9324*10^{-9}T^3+0.92709 \quad (\text{ค-8})$$

สภาพการนำความร้อน (วัตต์/เมตร เคลวิน)

$$= 4.84257*10^{-5}T+2.9067*10^{-8}T^2-6.5306*10^{-12}T^3+0.0075110 \quad (\text{ค-9})$$

ความหนืดไดนามิกส์ (มิลลิปาสคาล/วินาที)

$$= 2.0124*10^{-5}T+3.4557*10^{-9}T^2-7.1288*10^{-12}T^3+0.005449 \quad (\text{ค-10})$$

**ค.2 น้ำมันถ่ายเทความร้อนอุณหภูมิต่ำ (Therminol 66)**

น้ำมันถ่ายเทความร้อนอุณหภูมิต่ำเป็นตัวกลางแลกเปลี่ยนความร้อนที่เสถียร มีประสิทธิภาพสูงและอายุการใช้งานยาวนาน เหมาะสำหรับการปฏิบัติงานในช่วงอุณหภูมิไม่เกิน 345 องศาเซลเซียส น้ำมันชนิดนี้นิยมใช้กันอย่างกว้างขวางในกระบวนการผลิตเรซิน การกลั่นพาทาลิกแอนไฮไดรด์ การผลิตเส้นใยจากพอลิเอสเตอร์ การผลิตฟีนอล การอุ่นอากาศที่ใช้ในเตาเผา เป็นต้น

ค.2.1 สมบัติทางกายภาพของน้ำมันถ่ายเทความร้อนอุณหภูมิต่ำ (Therminol 66)

ความหนาแน่น (กิโลกรัม/ลูกบาศก์เมตร)

$$= -0.614254T(^{\circ}\text{C}) - 0.000321T^2 + 1020.62 \quad (\text{ค-11})$$

ความจุความร้อนจำเพาะ (กิโลจูล/กิโลกรัม เคลวิน)

$$= 0.003313T+0.0000008970785T^2+1.496005 \quad (\text{ค-12})$$

สภาพการนำความร้อน (วัตต์/เมตร เคลวิน)

$$= -0.000033T-0.00000015T^2+0.118294 \quad (\text{ค-13})$$

ความหนืดไดนามิกส์ (มิลลิปาสคาล/วินาที)

$$= \frac{586.375}{e^{T+62.5}} - 2.2809 \quad (\text{ค-14})$$

$$\begin{aligned} & \text{ความดันไอ (กิโลปาสกาล)} \\ & = e^{\frac{-9094.51}{T+340} + 17.6371} \end{aligned}$$

(ค-15)

ตารางที่ ค-1 สมบัติของน้ำมันถ่ายเทความร้อนอุณหภูมิต่ำ (Therminol VP-1) และ  
น้ำมันถ่ายเทความร้อนอุณหภูมิสูง (Therminol 66)

สมบัติ	ประเภทของน้ำมันถ่ายเทความร้อน	
	Therminol VP-1	Therminol 66
องค์ประกอบ	ไดฟีนิลออกไซด์/ไดฟีนิล	เทอร์ฟีนิลที่ถูกเติมไฮโดรเจน
ลักษณะ	ไม่ตกตะกอน	ของเหลวสีเหลืองอ่อน
อุณหภูมิสูงสุดเมื่อไหลแบบกลุ่ม (°C)	400	345
อุณหภูมิสูงสุดเมื่อไหลแบบฟิล์ม (°C)	430	375
ความหนืดไคเนมาติกส์ที่ 40 °C (mm <sup>3</sup> /s)	2.48	29.64
ความหนาแน่น (kg/m <sup>3</sup> )	1,068	1,011
จุดวาบไฟ (°C)	124	170
จุดติดไฟ (°C)	127	216
อุณหภูมิจุดติดไฟตัวเอง (°C)	621	399
จุดเดือดที่ 1.013 บาร์ (°C)	257	359
สัมประสิทธิ์การขยายตัวเชิงอุณหภูมิ	0.00097/°C	0.0009/°C
ความชื้น (ppm)	< 300	< 150
ความเป็นกรด	< 0.2 mgKOH/g	< 0.2 mgKOH/g
คลอรีน (ppm)	< 10	< 10
การกัดกร่อนทองแดง	<< 1a	<< 1a
น้ำหนักโมเลกุลเฉลี่ย	166	252

เอกสารนี้เป็นเอกสารที่สงวนไว้สำหรับการใช้งานเพื่อการศึกษาเท่านั้น ไม่อนุญาตให้นำไปใช้ประโยชน์ด้านการค้า  
ไม่ว่ากรณีใดๆ ทั้งสิ้น อีกทั้งห้ามมิให้ดัดแปลงเนื้อหา และต้องอ้างอิงถึงเจ้าของเอกสารทุกครั้งที่มีการนำไปใช้

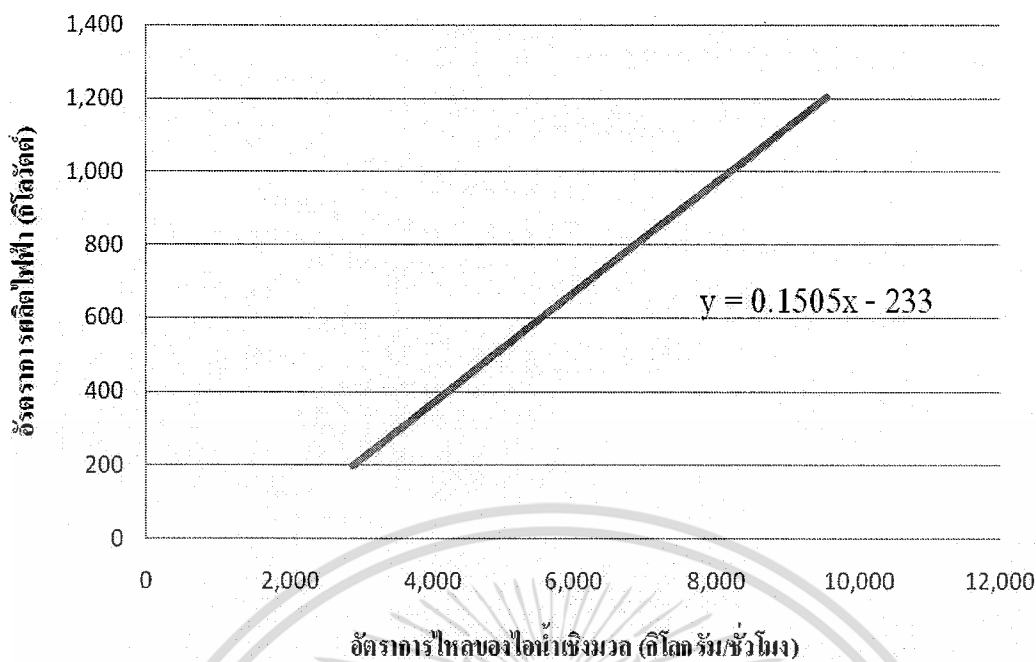
ภาคผนวก ง  
ข้อมูลของกังหันไอน้ำ

ง.1 กังหันไอน้ำเครื่องที่ 1

ตารางที่ ง-1 ข้อมูลเชิงเทคนิคของกังหันไอน้ำเครื่องที่ 1 จากบริษัทผู้ผลิต

ข้อมูลเชิงเทคนิค	หน่วย	ค่าต่ำ	ค่ากลาง	ค่าสูง
ไฟฟ้าที่ผลิตได้	kW	-	1,120	1,190
ความเร็ว (Secondary Speed)	min <sup>-1</sup>	1,482	1,500	1,513
ความเร็ว (Trip Speed)				
- เชิงกลศาสตร์	min <sup>-1</sup>	-	1,650	-
- เชิงอิเล็กทรอนิกส์	min <sup>-1</sup>	-	1,680	-
เกียร์ส่งผ่าน (Gear Transmission)		-	3.75	-
อุณหภูมิของไอน้ำขาเข้า	°C	290	340	350
ความดันของไอน้ำขาเข้า	barg	16	20	24
อุณหภูมิของไอน้ำขาออก	°C	-	-	250
ความดันของไอน้ำขาออก	barg	0.1	0.20	1.5
ความดันของไอน้ำหล่อเย็น	barg	-	6	-

เอกสารนี้เป็นเอกสารที่สงวนไว้สำหรับการใช้งานเพื่อการศึกษาเท่านั้น ไม่อนุญาตให้นำไปใช้ประโยชน์ด้านการค้า ไม่ว่าจะกรณีใดๆ ทั้งสิ้น อีกทั้งห้ามมิให้ตัดแปลงเนื้อหา และต้องอ้างอิงถึงเจ้าของเอกสารทุกครั้งที่มีการนำไปใช้



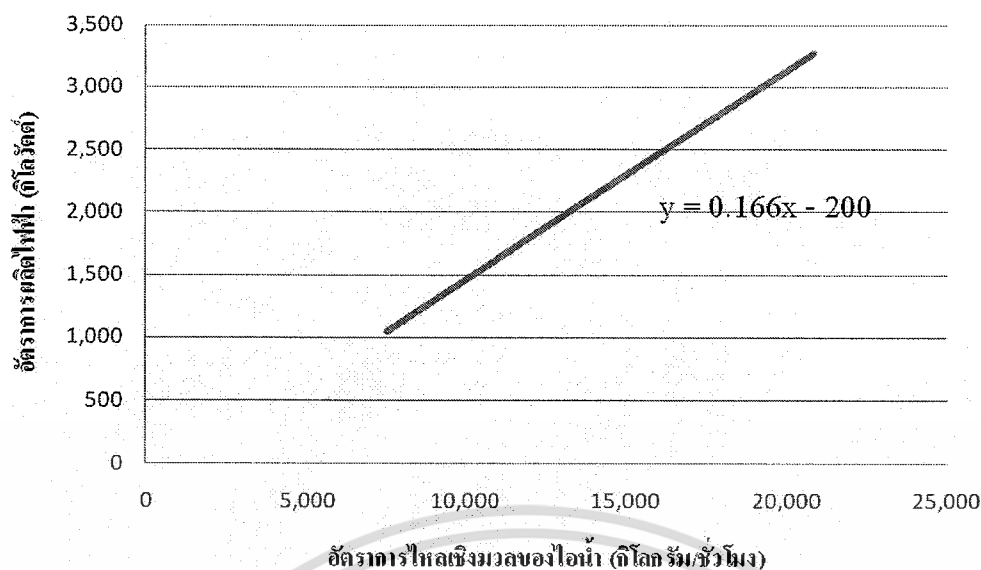
รูปที่ ง.1 อัตราการผลิตกระแสไฟฟ้าด้วยกังหันไอน้ำเครื่องที่ 1 จากบริษัทผู้ผลิต เมื่อใช้ไอน้ำความดัน 20 บาร์ อุณหภูมิ 340 องศาเซลเซียส

ง.2 กังหันไอน้ำเครื่องที่ 2

ตารางที่ ง-2 ข้อมูลเชิงเทคนิคของกังหันไอน้ำเครื่องที่ 2 จากบริษัทผู้ผลิต

ข้อมูลเชิงเทคนิค	หน่วย	ค่าต่ำ	ค่ากลาง	ค่าสูง
ไฟฟ้าที่ผลิตได้	kW	750	3,200	3,500
ความเร็ว				
- กังหัน	rpm	7,500	7,500	7,500
- เครื่องกำเนิดไฟฟ้า	rpm	1,500	1,500	1,500
ความเร็ววิกฤต	rpm	8,250	8,250	8,250
อุณหภูมิของไอน้ำขาเข้า	°C	180	320	320
ความดันของไอน้ำขาเข้า	barg	10.00	26.28	29.42
อัตราการไหลของไอน้ำขาเข้า	ton/h	7.50	19.60	20.80
อุณหภูมิของไอน้ำขาออก	°C	49.50	65.00	65.00
ความดันของไอน้ำขาออก	barg	0.12	0.28	0.28
อัตราการไหลของไอน้ำขาออก	ton/h	7.50	19.60	20.80

เอกสารนี้เป็นเอกสารที่สงวนไว้สำหรับการใช้งานเพื่อการศึกษาเท่านั้น ไม่อนุญาตให้นำไปใช้ประโยชน์ด้านการค้าไม่ว่ากรณีใดๆ ทั้งสิ้น อีกทั้งห้ามมิให้ตัดแปลงเนื้อหา และต้องอ้างอิงถึงเจ้าของเอกสารทุกครั้งที่มีการนำไปใช้



รูปที่ ง.2 อัตราการผลิตกระแสไฟฟ้าด้วยกังหันไอน้ำเครื่องที่ 2 จากบริษัทผู้ผลิต เมื่อใช้ไอน้ำความดัน 29 บาร์ อุณหภูมิ 320 องศาเซลเซียส

### ง.3 กระแสไฟฟ้าที่ผลิตได้จากภาวะการปฏิบัติงาน

ตารางที่ ง-3 กระแสไฟฟ้าที่ผลิตได้จากภาวะการปฏิบัติงาน

ออโทไซลีน		ไอน้ำขาเข้า		ไฟฟ้าที่ผลิตได้ (kW)	
g/Nm <sup>3</sup>	kg/h	kg/h	barg	กังหันไอน้ำเครื่องที่ 1	กังหันไอน้ำเครื่องที่ 2
78.0	2,667.0	2,745.0	21.0	60.0	0.0
78.0	2,667.0	2,745.0	19.0	100.0	0.0
78.0	2,667.0	2,745.0	18.8	300.0	0.0
78.0	2,667.0	2,745.0	18.0	500.0	0.0
78.0	2,665.0	2,743.0	21.5	800.0	0.0
78.0	2,668.0	2,746.0	20.0	800.0	0.0
78.0	2,667.0	2,745.0	19.5	200.0	0.0
75.0	2,565.0	2,640.0	19.8	500.0	0.0
79.0	2,559.0	2,638.0	18.0	0.0	2,370.0
79.0	2,560.0	2,639.0	18.0	0.0	2,240.0
79.0	2,560.0	2,639.0	19.0	0.0	2,250.0

เอกสารนี้เป็นเอกสารที่สงวนไว้สำหรับการใช้งานเพื่อการศึกษาเท่านั้น ไม่อนุญาตให้นำไปใช้ประโยชน์ด้านการค้า ไม่ว่าจะกรณีใดๆ ทั้งสิ้น อีกทั้งห้ามมิให้ตัดแปลงเนื้อหา และต้องอ้างอิงถึงเจ้าของเอกสารทุกครั้งที่มีการนำไปใช้

ตารางที่ ง-3 (ต่อ)

ออคโทไซด์		ไอน้ำขาเข้า		ไฟฟ้าที่ผลิตได้ (kW)	
g/Nm <sup>3</sup>	kg/h	kg/h	barg	กังหันไอน้ำเครื่องที่ 1	กังหันไอน้ำเครื่องที่ 2
79.0	2,560.0	2,639.0	19.0	0.0	2,000.0
75.0	2,559.0	2,634.0	19.5	0.0	1,370.0
70.0	2,394.0	2,464.0	20.0	0.0	1,760.0
70.0	2,398.0	2,468.0	20.0	0.0	1,760.0
72.0	2,332.0	2,404.0	21.5	0.0	1,500.0
72.0	2,462.0	2,534.0	21.6	0.0	1,750.0
72.0	2,462.0	2,534.0	19.8	0.0	1,750.0
68.6	2,223.0	2,291.6	20.0	0.0	1,480.0
68.6	2,223.0	2,291.6	19.0	0.0	1,400.0
75.0	2,565.0	2,640.0	18.0	0.0	2,050.0
75.0	2,565.0	2,640.0	22.0	0.0	2,040.0
75.0	2,560.0	2,635.0	17.0	0.0	2,070.0
83.0	2,837.0	2,920.0	22.5	0.0	2,400.0
83.0	2,842.0	2,925.0	20.0	0.0	2,440.0
80.0	2,746.0	2,826.0	18.5	0.0	2,450.0
80.0	2,736.0	2,816.0	18.0	0.0	2,240.0
80.0	2,736.0	2,816.0	20.7	0.0	2,310.0
81.0	2,770.0	2,851.0	20.7	0.0	2,520.0
81.0	2,770.0	2,851.0	21.0	0.0	2,400.0
66.0	2,257.0	2,323.0	18.0	0.0	1,280.0
75.0	2,565.0	2,640.0	18.0	0.0	2,010.0
77.0	2,636.0	2,713.0	19.5	0.0	2,260.0
55.0	1,895.0	1,950.0	19.0	0.0	1,030.0
82.0	2,804.0	2,886.0	20.0	0.0	2,370.0
82.0	2,802.0	2,884.0	21.5	0.0	2,600.0
61.0	2,086.0	2,147.0	19.3	0.0	1,330.0

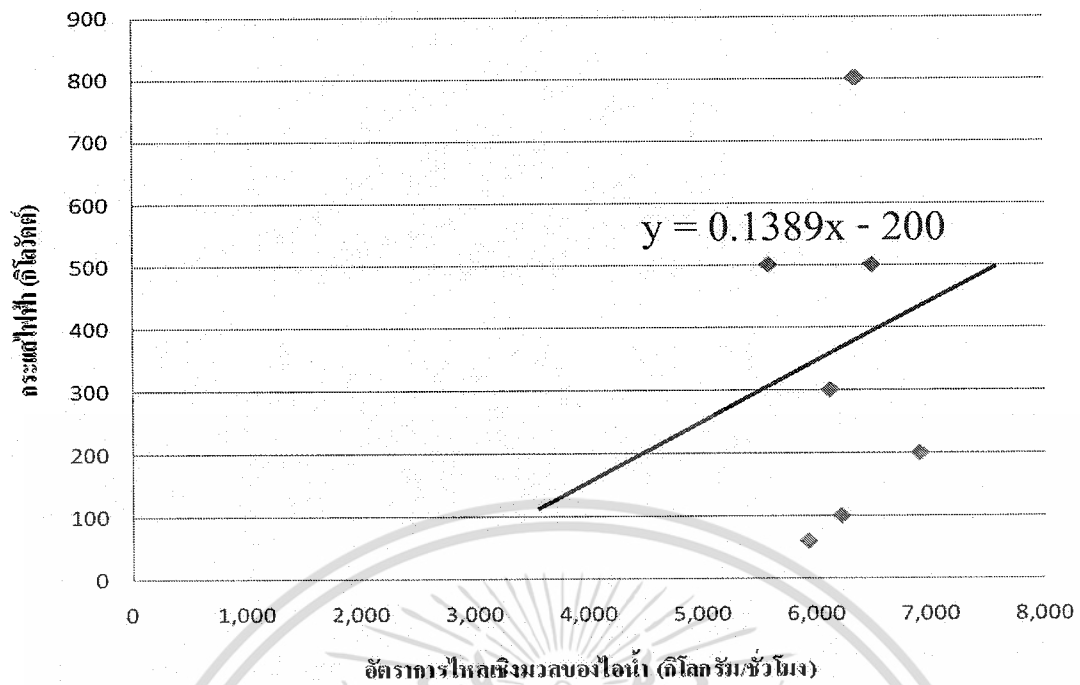
เอกสารนี้เป็นเอกสารที่สงวนไว้สำหรับการใช้งานเพื่อการศึกษาเท่านั้น ไม่อนุญาตให้นำไปใช้ประโยชน์ด้านการค้า  
ไม่ว่ากรณีใดๆ ทั้งสิ้น อีกทั้งห้ามมิให้ตัดแปลงเนื้อหา และต้องอ้างอิงถึงเจ้าของเอกสารทุกครั้งที่มีการนำไปใช้

ตารางที่ ง-3 (ต่อ)

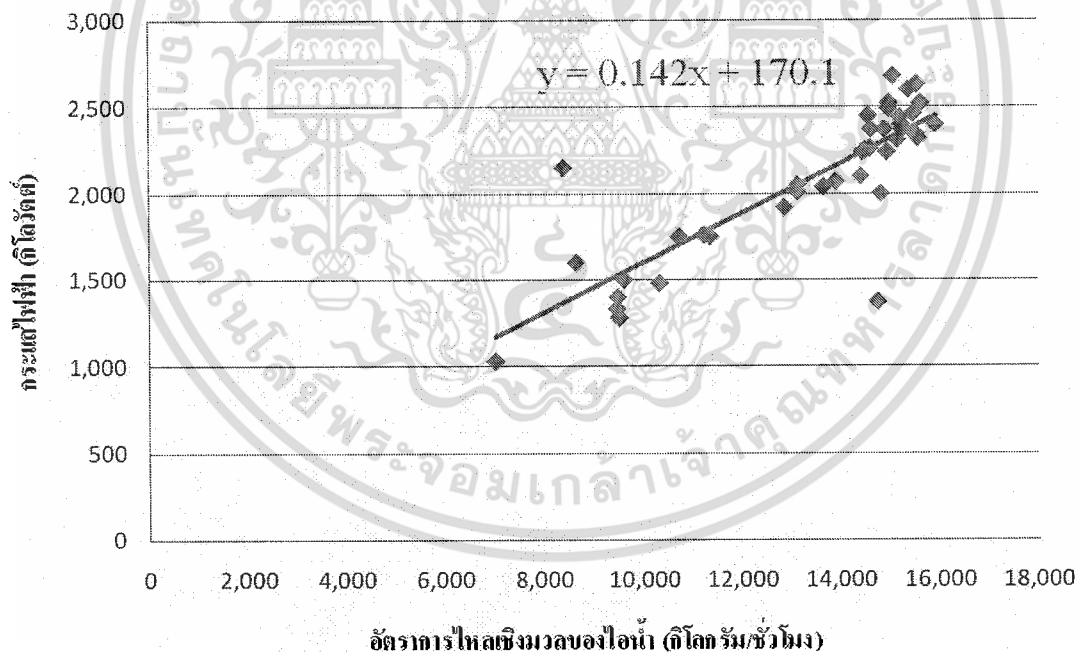
อโทไซลิน		ไอน้ำขาเข้า		ไฟฟ้าที่ผลิตได้ (kW)	
g/Nm <sup>3</sup>	kg/h	kg/h	barg	กังหันไอน้ำเครื่องที่ 1	กังหันไอน้ำเครื่องที่ 2
82.0	2,804.0	2,886.0	19.5	0.0	2,150.0
82.0	2,804.0	2,886.0	21.5	0.0	2,340.0
82.0	2,804.0	2,886.0	21.5	0.0	2,460.0
63.0	2,768.0	2,831.0	19.5	400.0	0.0
63.0	2,162.0	2,225.0	19.0	400.0	0.0
78.0	2,668.0	2,746.0	18.0	0.0	2,100.0
67.0	2,291.0	2,358.0	20.0	0.0	1,600.0
83.0	2,839.0	2,922.0	20.5	0.0	2,680.0
83.0	2,839.0	2,922.0	23.0	0.0	2,630.0
83.5	2,856.0	2,939.5	21.0	0.0	2,370.0
83.5	2,856.0	2,939.5	21.7	0.0	2,320.0
82.0	2,825.0	2,907.0	20.0	0.0	2,490.0
80.0	2,745.0	2,825.0	17.5	0.0	1,920.0
70.0	2,394.0	2,464.0	20.0	230.0	0.0
75.0	2,565.0	2,640.0	19.5	0.0	2,020.0

หมายเหตุ บันทึกจากกระบวนการผลิต

เอกสารนี้เป็นเอกสารที่สงวนไว้สำหรับการใช้งานเพื่อการศึกษาเท่านั้น ไม่อนุญาตให้นำไปใช้ประโยชน์ด้านการค้า  
ไม่ว่ากรณีใดๆ ทั้งสิ้น อีกทั้งห้ามมิให้ตัดแปลงเนื้อหา และต้องอ้างอิงถึงเจ้าของเอกสารทุกครั้งที่มีการนำไปใช้



รูปที่ 3.3 กระแสไฟฟ้าที่ผลิตด้วยกังหันไอน้ำเครื่องที่ 1 ที่ภาวะการปฏิบัติงาน



รูปที่ 3.4 กระแสไฟฟ้าที่ผลิตด้วยกังหันไอน้ำเครื่องที่ 2 ที่ภาวะการปฏิบัติงาน

เอกสารนี้เป็นเอกสารที่สงวนไว้สำหรับการใช้งานเพื่อการศึกษาเท่านั้น ไม่อนุญาตให้นำไปใช้ประโยชน์ด้านการค้า ไม่ว่ากรณีใดๆ ทั้งสิ้น อีกทั้งห้ามมิให้ตัดแปลงเนื้อหา และต้องอ้างอิงถึงเจ้าของเอกสารทุกครั้งที่มีการนำไปใช้

ภาคผนวก จ

ข้อมูลการเริ่มกระบวนการผลิต

ตารางที่ จ-1 ตัวอย่างอัตราการใช้วัตถุดิบและสารเคมีไปกระบวนการผลิตครั้งที่ 1

เวลา	ออกโทไซลิน (g/Nim <sup>3</sup> )	อัตราการไหลของออกโทไซลิน (kg/h)	อัตราการไหลของอากาศ (Nm <sup>3</sup> /h)	ความดันที่อุปกรณ์เซอร์บาทดิวเดอร์ (barg)	ไอน้ำจากหม้อไอน้ำ 16A (kg/h)	ไอน้ำที่ส่งเข้ากังหันไอน้ำ		หมายเหตุ
						อัตราการไหล (kg/h)	ความดัน (barg)	
10:55 AM	36	1,205	FI-0134 34,228.0	PIC-0261 11.0	FIC-0927 6,375	FI-0903	PI-0904	มิเตอร์ที่อ่านค่า
11:05 AM	37	1,230	34,138.1	-	5,984			เริ่มเดินกังหันไอน้ำ เครื่องที่ 1
11:15 AM	38	1,293	34,277.5	19.5	6,331	-		
11:25 AM	39					ไม่มีการบันทึกผล		
11:35 AM	40	1,376	34,238.6	21.7	3,888	4,286.00	-	
11:45 AM	41	1,398	34,227.0	19.6	1,551	3,434.48		
11:55 AM	42	1,439	34,270.1	19.6	3,519	3,404.61		
12:05 PM	43	1,481	34,233.9	19.6	5,500	3,618.72		
12:15 PM	44	1,500	34,243.6	19.7	5,304	3,974.59		

ตารางที่ จ-1 (ต่อ)

เวลา	ออกโทไซติน (g/Nim <sup>3</sup> )	FI-0132	FI-0134	PIC-0261	FIC-0927	FI-0903	PI-0904	หมายเหตุ
12:25 PM	45	1,549	34,307.0	20.0	6,248	4,187.91		
12:35 PM	46	1,558	34,254.3	20.6	5,924	4,234.35	20.33	
12:45 PM	47	1,609	34,309.9	19.3	5,760	5,371.54	18.86	
12:55 PM	48	1,649	34,252.2	19.6	5,123	5,257.91	18.66	
1:05 PM	49	1,677	34,223.4	19.6	5,118	5,232.66	19.94	
1:15 PM	50	1,715	34,401.1	19.8	5,520	5,468.00	19.53	
1:25 PM	51	1,759	34,109.8	20.1	5,398	5,529.70	19.89	ชะลอการเดิน หม้อไอน้ำ
1:35 PM	52	1,784	34,183.0	19.6	1,159	4,540.56	13.66	
1:45 PM	53	1,824	34,223.9	19.9	0	4,073.63	11.03	หม้อไอน้ำดับ
1:55 PM	54	1,852	34,282.8	19.7	5,026	4,405.33	14.03	เริ่มเดินหม้อไอน้ำ อีกครั้ง
2:05 PM	55	1,883	34,081.6	19.7	5,915	5,217.79	16.38	
2:15 PM	56	1,914	34,090.2	20.3	4,093	5,788.92	20.15	
2:25 PM	57	1,958	34,177.0	19.8	3,592	5,704.92	19.62	
2:35 PM	58	1,987	34,403.0	18.8	3,189	5,514.19	18.37	

เอกสารนี้เป็นเอกสารที่สงวนไว้สำหรับการใช้งานเพื่อการศึกษาเท่านั้น ไม่อนุญาตให้นำไปใช้ประโยชน์ด้านการค้า  
ไม่ว่ากรณีใดๆ ทั้งสิ้น อีกทั้งห้ามมิให้ตัดแปลงเนื้อหา และต้องอ้างอิงถึงเจ้าของเอกสารทุกครั้งที่มีการนำไปใช้

ตารางที่ จ-1 (ต่อ)

เวลา	ออโทไคลดิ่ง (gNm <sup>3</sup> )	FI-0132	FI-0134	PIC-0261	FIC-0927	FI-0903	PI-0904	หมายเหตุ
2:45 PM	59	2,030	34,277.6	18.1	2,793	5,439.26	17.68	
2:55 PM	60	2,062	34,223.3	18.6	2,338	5,506.14	18.11	
3:10 PM	61	2,096	34,267.1	17.3	0	5,219.95	16.25	หยุดหม้อไอน้ำ
3:25 PM	62	2,130	34,164.1	14.2	0	4,772.74	13.67	
3:40 PM	63	2,164	34,426.5	13.5	0	4,607.92	12.70	
3:55 PM	64	2,202	34,276.8	14.5	0	4,828.97	13.93	
4:25 PM	66							
4:40 PM	67	2,295	34,253.0	17.5	0	5,177.00	16.08	
4:55 PM	68	2,333	34,223.0	16.5	0	5,086.00	15.64	
5:10 PM	69	2,361	34,275.0	18.0	0	5,277.00	16.72	
5:25 PM	70	2,401	34,234.0	18.0	0	5,247.00	16.59	
5:55 PM	71	2,424	34,372.0	19.5	0	5,471.00	18.20	
6:25 PM	72	2,468	34,234.0	20.1	0	5,703.00	19.57	
6:55 PM	73	2,493	34,261.0	20.0	0	5,502.00	18.19	

ไม่มีสารปนเปื้อน

เอกสารนี้เป็นเอกสารที่สงวนไว้สำหรับการใช้งานเพื่อการศึกษาเท่านั้น ไม่อนุญาตให้นำไปใช้ประโยชน์ด้านการค้า  
ไม่ว่ากรณีใดๆ ทั้งสิ้น อีกทั้งห้ามมิให้ตัดแปลงเนื้อหา และต้องอ้างอิงถึงเจ้าของเอกสารทุกครั้งที่มีการนำไปใช้



## ตารางที่ จ-1 (ต่อ)

เวลา	อัตราไหล ( $\text{g/Nm}^3$ )	FI-0132	FI-0134	PIC-0261	FIC-0927	FI-0903	PI-0904	หมายเหตุ
12:30 PM	86	2,939	34,247.5	21.7	0	7,925.54	20.99	
1:00 PM	86	2,937	34,234.0	21.5	0	7,531.70	21.19	เก็บข้อมูลในลักษณะ
1:30 PM	86	2,943	34,286.5	21.3	0	8,035.66	20.57	แนวโน้ม

เอกสารนี้เป็นเอกสารที่สงวนไว้สำหรับการใช้งานเพื่อการศึกษาเท่านั้น ไม่อนุญาตให้นำไปใช้ประโยชน์ด้านการค้า  
ไม่ว่ากรณีใดๆ ทั้งสิ้น อีกทั้งห้ามมิให้ตัดแปลงเนื้อหา และต้องอ้างอิงถึงเจ้าของเอกสารทุกครั้งที่มีการนำไปใช้



ตารางที่ จ-2 (ต่อ)

เวลา	FI-0134	FI-0132	PIC-0261	FRC-2134	FRC-2132	PIC-2261	FIC-0927	FI-0903	PI-0904	FI-0904	PI-2904	กึ่งหน้า 1	กึ่งหน้า 2	หมายเหตุ	
11:55 AM	1872	32417.0	21	1167	23200.0	21.49		4695	21	2726	22	170			
12:05 PM							เปลี่ยนกะ ไม่เพิ่มอัตราการตัด								
12:15 PM	1887	32446.0	22	1190	23520.0	21.95		4818	22	2700	22	180			
12:25 PM	1898	32412.0	23	1210	23000.0	23.14		4908	23	2783	23	210			
2:35 PM	1929	32476.0	22	1237	23130.0	21.70		6257	22	3222	22	400			
12:45 PM	1948	32404.0	20	1258	23200.0	20.22		5806	20	3188	20	320			
12:55 PM	1963	32407.0	21	1284	23330.0	20.47		5240	20	3003	21	250		เตรียมกึ่งหน้า ไต่มา 2	
1:05 PM	1988	32461.0	22	1307	23500.0	21.79		5447	21	3095	22	300			
1:15 PM	2015	32448.0	22	1328	23500.0	21.87		5400	21	3098	22	300			
1:25 PM	2025	32469.0	21	1351	23500.0	21.20		6321	21	3428	21	250			
1:35 PM	2024	32555.0	21	1378	23310.0	21.10		6139	21	3389	21	150		เครื่องจักร 1*	
1:45 PM	2028	32534.0	21	1404	23210.0	21.03		5789	21	3401	21	-600	1061.9		
1:55 PM	2030	32473.0	21	1422	23210.0	21.10		6825	21	3815	21	-600	1335.6		
2:05 PM	2047	32355.0	21	1445	23350.0	20.86		6680	20	3793	21	-600	1329.8		
2:15 PM	2040	32411.0	21	1469	23200.0	21.32		6386	21	3814	21	-600	1322.9		
2:25 PM	2060	32449.0	22	1492	23300.0	21.92		6537	22	3773	22	-600	1337.8		
2:35 PM	2045	32556.0	22	1519	23290.0	21.89		6706	21	3902	22	-600	1414.6		

หมายเหตุ \* เพิ่มอัตราการไหลของไอโซลีนทุก 30 นาที

ภาคผนวก ฉ.

ข้อมูลการใช้พลังงานของบริษัท

ตารางที่ ฉ-1 อัตราการใช้ไฟฟ้าในการผลิตพาทาลิกแอมโมเนีย ไตรดีทัง 2 โรงงาน ไดออกซิลพาทาลิกแลต และอาคารสำนักงาน (เดือนมกราคม-กันยายน พ.ศ. 2551)

เดือน	อัตราการใช้ไฟฟ้า (kW h)						ไฟฟ้าที่ซื้อ (kW h)	รวม (kW h)	ราคา (Baht)	ราคา/หน่วย (Baht/kW h)
	Air Blower	PA	DOP	Utilities	PSA Unit	Office				
มกราคม	842,300	394,800	87,570	570,400	350	29,870	483,000	1,925,290	1,464,492.9	3.0
กุมภาพันธ์	714,400	270,900	55,828	493,800	24,522	28,620	622,000	1,588,070	1,816,809.8	2.9
มีนาคม	902,400	381,000	48,061	519,800	37,009	33,780	438,000	1,922,050	1,351,140.2	3.1
เมษายน	757,500	357,900	36,142	488,500	42,918	32,710	512,000	1,715,670	1,584,850.0	3.1
พฤษภาคม	976,500	436,200	3,078	495,100	45,944	33,260	300,000	1,990,082	842,349.2	2.8
มิถุนายน	636,300	399,900	63,657	507,200	35,993	31,280	766,000	1,674,330	2,123,213.8	2.8
กรกฎาคม	781,200	375,450	21,075	501,100	42,005	31,940	551,000	1,752,770	1,518,374.3	2.8
สิงหาคม	798,200	361,800	44,814	528,400	30,456	30,730	580,000	1,794,400	1,612,283.8	2.8
กันยายน	440,600	359,850	34,770	574,800	6,730	29,400	700,000	1,446,150	2,019,355.6	2.9
รวม	6,849,400	3,337,800	394,995	4,679,100	265,927	281,590	4,952,000	15,808,812	14,332,869.3	26.1
เฉลี่ย	761,044.4	370,866.7	43,888.3	519,900.0	29,547.4	31,287.8	550,222.2	1,756,534.7	1,592,541.0	2.9

ตารางที่ ๑-2 อัตราการใช้ก๊าซธรรมชาติในการผลิตพาทาลิกแอนไฮไดรด์ทั้ง 2 โรงงาน และไดออกซิดพาทาลิต (เดือนมกราคม-กันยายน พ.ศ. 2551)

เดือน	พาทาลิกแอนไฮไดรด์		ไดออกซิดพาทาลิต		รวม	
	ปริมาณ (MMBtu)	ราคา (Baht)	ปริมาณ (MMBtu)	ราคา (Baht)	ปริมาณ (MMBtu)	ราคา (Baht)
มกราคม	14,342.17	4,578,112.90	815.60	260,344.77	15,157.77	4,838,457.67
กุมภาพันธ์	10,579.06	3,267,094.54	753.13	232,586.54	11,332.19	3,499,681.08
มีนาคม	12,859.97	4,039,651.33	704.95	221,443.15	13,564.92	4,261,094.48
เมษายน	10,932.79	3,439,335.88	735.00	231,222.94	11,667.79	3,670,558.82
พฤษภาคม	11,977.12	3,750,858.38	151.16	47,338.57	12,128.28	3,798,196.95
มิถุนายน	11,346.58	3,550,185.58	1,108.03	346,687.03	12,454.61	3,896,872.61
กรกฎาคม	11,884.17	3,879,920.84	462.20	150,898.16	12,346.37	4,030,819.00
สิงหาคม	11,719.33	3,829,588.63	290.12	94,804.08	12,009.45	3,924,392.71
กันยายน	12,928.26	4,377,522.46	0.00	0.00	12,928.26	4,377,522.46
รวม	108,569.45	34,712,270.55	5,020.19	1,585,325.23	113,589.64	36,297,595.78
เฉลี่ย	12,063.27	3,856,918.95	557.80	176,147.25	12,621.07	4,033,066.20
						319.21
						308.83
						314.13
						314.59
						313.17
						312.89
						326.48
						326.78
						338.60
						2,874.66
						319.41

## ภาคผนวก ข

# การคำนวณมูลค่าพลังงานในการเลือกใช้พลังงาน ที่เหมาะสมกว่าและสามารถทดแทนกันได้

### ข.1 ตัวอย่างการคำนวณมูลค่าพลังงานทางทฤษฎีเมื่อนำไอน้ำอิมตัวความดันสูงไปใช้ให้ความร้อนในกระบวนการผลิต

#### ข.1.1 การคำนวณอัตราการผลิตไอน้ำอิมตัวความดันสูง

พลังงานที่ได้จากปฏิกิริยา

$$\dot{Q} = \dot{m}_{o-Xylene} q \quad (3.2)$$

อัตราการผลิตไอน้ำอิมตัวความดันสูงที่นำไปใช้ในการให้ความร้อน (กิโลกรัม/ชั่วโมง)

$$\dot{m}_{steam} \Delta H_{fs} = \dot{Q} \quad (3.3.1)$$

เอนทัลปีของไอน้ำอิมตัวออกจากอุปกรณ์ชอลท์บาททูลเลอร์  
(23 บาร์ 220 องศาเซลเซียส) = 2,802.5 กิโลจูล/กิโลกรัม

เอนทัลปีของน้ำเข้าอุปกรณ์ชอลท์บาททูลเลอร์  
(29 บาร์ 210 องศาเซลเซียส) = 897.67 กิโลจูล/กิโลกรัม

$$\text{ดังนั้น } \Delta H_{fs} \left( \frac{\text{กิโลจูล}}{\text{กิโลกรัม}} \right) = (2,802.5 - 897.67) \left( \frac{\text{กิโลจูล}}{\text{กิโลกรัม}} \right) = 1,904.83 \left( \frac{\text{กิโลจูล}}{\text{กิโลกรัม}} \right)$$

#### ข.1.2 การคำนวณอัตราการถ่ายเทความร้อนจากไอน้ำอิมตัวความดันสูง

ไอน้ำอิมตัวความดันสูง (อุณหภูมิ 220 องศาเซลเซียส ความดัน 23 บาร์) ถ่ายเทความร้อนที่อุปกรณ์แลกเปลี่ยนความร้อนแล้วกลั่นตัวเป็นของเหลวอิมตัวที่อุณหภูมิและความดันเดิม

อัตราการถ่ายเทความร้อนจากไอน้ำอิมตัวความดันสูง (ล้านบีทียู/ชั่วโมง)

$$\begin{aligned} &= \dot{m}_{steam} \left( \frac{\text{กิโลกรัม}}{\text{ชั่วโมง}} \right) \times \frac{0.947817}{10^6} \left( \frac{\text{ล้านบีทียู}}{\text{กิโลจูล}} \right) \\ &\quad \times (\text{เอนทัลปีของไอน้ำ} - \text{เอนทัลปีของของเหลวอิมตัว}) \left( \frac{\text{กิโลจูล}}{\text{กิโลกรัม}} \right) \quad (ข.1) \end{aligned}$$

เอกสารนี้เป็นเอกสารที่สงวนไว้สำหรับการใช้งานเพื่อการศึกษาเท่านั้น ไม่อนุญาตให้นำไปใช้ประโยชน์ด้านการค้า ไม่ว่ากรณีใดๆ ทั้งสิ้น อีกทั้งห้ามมิให้ตัดแปลงเนื้อหา และต้องอ้างอิงถึงเจ้าของเอกสารทุกครั้งที่มีการนำไปใช้

โดยมี

$$\text{เอนทัลปีของไอน้ำอิ่มตัวความดันสูงก่อนถ่ายเทความร้อน} = 2,799.8 \text{ กิโลจูล/กิโลกรัม}$$

$$\text{เอนทัลปีของของเหลวอิ่มตัวหลังการถ่ายเทความร้อน} = 941.6 \text{ กิโลจูล/กิโลกรัม}$$

ช.1.3 แปลงปริมาณความร้อนเป็นมูลค่าก๊าซธรรมชาติที่ใช้ไอน้ำอิ่มตัวความดันสูงไปทดแทน (ใช้ค่าก๊าซธรรมชาติ 319.41 บาท/ล้านบีทียู)

ช.1.4 ตัวอย่างการคำนวณ

ที่อัตราการไหลเชิงมวลของอโทไซลีน 900 กิโลกรัม/ชั่วโมง

$$\text{พลังงานที่ได้จากปฏิกิริยา} = 900 \times 9,777.56 = 8,799,804 \text{ กิโลจูล/ชั่วโมง}$$

$$\begin{aligned} \text{อัตราการผลิตไอน้ำอิ่มตัวความดันสูง} \\ &= \frac{8,799,804}{2,802.5 - 897.6} = 4,619.73 \text{ กิโลกรัม/ชั่วโมง} \end{aligned}$$

$$\begin{aligned} \text{อัตราการถ่ายเทความร้อนจากไอน้ำอิ่มตัวความดันสูง} \\ &= 4,619.73 \times \frac{0.947817}{10^6} \times (2,799.8 - 941.6) \\ &= 8.136 \text{ ล้านบีทียู/ชั่วโมง} \end{aligned}$$

$$\text{มูลค่าก๊าซธรรมชาติที่ประหยัดได้} = 8.136 \times 319.41 = 2,598.86 \text{ บาท/ชั่วโมง}$$

**ช.2 การคำนวณมูลค่าพลังงานทางทฤษฎีเมื่อนำไอน้ำร้อนยวดยิ่งไปใช้ผลิตกระแสไฟฟ้า ด้วยกังหันไอน้ำเครื่องที่ 1**

ช.2.1 การคำนวณอัตราการผลิตไอน้ำร้อนยวดยิ่ง

ใช้สมการที่ 3.3.1 โดยใช้เอนทัลปีของน้ำขาเข้าอุปกรณ์ชอลท์บาทกุลเลอร์ (23 บาร์ 220 องศาเซลเซียส) 897.67 กิโลจูล/กิโลกรัม

ใช้เอนทัลปีของไอน้ำร้อนยวดยิ่งขาออกจากอุปกรณ์สตีมนิวเคลียร์ (20 บาร์ 340 องศาเซลเซียส) 3,113.6 กิโลจูล/กิโลกรัม

ช.2.2 สมการอัตราการผลิตกระแสไฟฟ้าด้วยกังหันไอน้ำเครื่องที่ 1 ทางทฤษฎี คือ

$$\text{กระแสไฟฟ้าที่ผลิตได้ (กิโลวัตต์)} = \frac{571.67 \times \text{อัตราการผลิตไอน้ำ (กิโลกรัม/ชั่วโมง)}}{3,600} - 233 \quad (\text{ช.2})$$

เอกสารนี้เป็นเอกสารที่สงวนไว้สำหรับการใช้งานเพื่อการศึกษาเท่านั้น ไม่อนุญาตให้นำไปใช้ประโยชน์ด้านการค้า ไม่ว่าจะกรณีใดๆ ทั้งสิ้น อีกทั้งห้ามมิให้ดัดแปลงเนื้อหา และต้องอ้างอิงถึงเจ้าของเอกสารทุกครั้งที่มีการนำไปใช้

ช.2.3 แปลงกระแสไฟฟ้าที่ผลิตด้วยกังหันไอน้ำเครื่องที่ 1 เป็นค่าไฟฟ้า  
(ใช้ค่าไฟฟ้า 2.90 บาท/กิโลวัตต์ ชั่วโมง)

ช.2.4 ตัวอย่างการคำนวณ

ที่อัตราการไหลเชิงมวลของอโทไซลีน 900 กิโลกรัม/ชั่วโมง

อัตราการผลิตไอน้ำร้อนยวดยิ่ง

$$= \frac{8,799,804}{3,113.6 - 897.6} = 3,971.16 \text{ กิโลกรัม/ชั่วโมง}$$

$$\text{อัตราการผลิตกระแสไฟฟ้า} = \frac{571.67 \times 3,971.16}{3,600} - 233 = 364.52 \text{ กิโลวัตต์}$$

มูลค่าไฟฟ้าจากกระแสไฟฟ้าที่ผลิตได้ด้วยกังหันไอน้ำเครื่องที่ 1

$$= 364.52 \times 2.90 = 1,057.10 \text{ บาท/ชั่วโมง}$$

### ช.3 การคำนวณมูลค่าพลังงานทางทฤษฎีเมื่อนำไอน้ำร้อนยวดยิ่งไปใช้ผลิตกระแสไฟฟ้าด้วยกังหันไอน้ำเครื่องที่ 2

คำนวณเช่นเดียวกับมูลค่าพลังงานทางทฤษฎีเมื่อนำไอน้ำร้อนยวดยิ่งไปใช้ผลิตกระแสไฟฟ้าด้วยกังหันไอน้ำเครื่องที่ 1

ใช้เอนทัลปีของไอน้ำขาออกจากอุปกรณ์สตีมชุปเปอร์ฮีเตอร์ (29 บาร์ 320 องศาเซลเซียส) 3,043.3 กิโลจูล/กิโลกรัม

ช.3.1 สมการอัตราการผลิตกระแสไฟฟ้าด้วยกังหันไอน้ำเครื่องที่ 2 ทางทฤษฎี คือ

$$\text{กระแสไฟฟ้าที่ผลิตได้ (กิโลวัตต์)} = \frac{\text{อัตราการผลิตไอน้ำ (กิโลกรัม/ชั่วโมง)}}{6} - 200 \quad (\text{ช.3})$$

ช.3.2 ตัวอย่างการคำนวณ

ที่อัตราการไหลเชิงมวลของอโทไซลีน 900 กิโลกรัม/ชั่วโมง

อัตราการผลิตไอน้ำร้อนยวดยิ่ง

$$= \frac{8,799,804}{3,043.3 - 897.6} = 4,100.12 \text{ กิโลกรัม/ชั่วโมง}$$

$$\text{อัตราการผลิตกระแสไฟฟ้า} = \frac{4,100.12}{6} - 200 = 483.35 \text{ กิโลวัตต์}$$

$$\begin{aligned} \text{มูลค่าไฟฟ้าจากกระแสไฟฟ้าที่ผลิตได้ด้วยกังหันไอน้ำเครื่องที่ 2} \\ = 483.35 \times 2.90 = 1,401.73 \text{ บาท/ชั่วโมง} \end{aligned}$$

#### ข.4 การคำนวณมูลค่าพลังงานด้วยข้อมูลภาวะปฏิบัติงานเมื่อนำไอน้ำอิมตัวความดันสูงไปใช้ให้ความร้อนในกระบวนการผลิต

$$\begin{aligned} \text{ให้อุปกรณ์แลกเปลี่ยนความร้อนมีประสิทธิภาพร้อยละ 85 ดังนั้น} \\ \text{มูลค่าก๊าซธรรมชาติที่ประหยัดได้เมื่อนำคำนวณด้วยข้อมูลภาวะปฏิบัติงาน} \\ = \text{มูลค่าก๊าซธรรมชาติที่ประหยัดได้ทางทฤษฎี} \times 0.85 \end{aligned}$$

#### ข.5 การคำนวณมูลค่าพลังงานด้วยข้อมูลภาวะปฏิบัติงานเมื่อนำไอน้ำร้อนยวดยิ่งไปใช้ผลิตกระแสไฟฟ้าด้วยกังหันไอน้ำเครื่องที่ 1

คำนวณเช่นเดียวกับมูลค่าพลังงานทางทฤษฎีเมื่อนำไอน้ำร้อนยวดยิ่งไปใช้ผลิตกระแสไฟฟ้าด้วยกังหันไอน้ำเครื่องที่ 1

ข.5.1 สมการอัตราการผลิตกระแสไฟฟ้าด้วยกังหันไอน้ำเครื่องที่ 1 จากภาวะปฏิบัติงาน คือ

$$\text{กระแสไฟฟ้าที่ผลิตได้ (กิโลวัตต์)} = \frac{\text{อัตราผลิตไอน้ำ (กิโลกรัม/ชั่วโมง)} \times 500}{3,600} - 200 \quad (\text{ข.4})$$

ข.5.2 ตัวอย่างการคำนวณ

ที่อัตราการไหลเชิงมวลของอโทไซลีน 900 กิโลกรัม/ชั่วโมง

อัตราการผลิตไอน้ำร้อนยวดยิ่ง

$$= \frac{8,799,804}{3,113.6 - 897.6} = 3,971.16 \text{ กิโลกรัม/ชั่วโมง}$$

$$\text{อัตราการผลิตกระแสไฟฟ้า} = \frac{3971.16 \times 500}{3,600} - 200 = 351.55 \text{ กิโลวัตต์}$$

$$\text{กระแสไฟฟ้าที่ผลิตได้} = 351.55 \times 2.90 = 1,057.10 \text{ บาท/ชั่วโมง}$$

เอกสารนี้เป็นเอกสารที่สงวนไว้สำหรับการใช้งานเพื่อการศึกษาเท่านั้น ไม่อนุญาตให้นำไปใช้ประโยชน์ด้านการค้า ไม่ว่ากรณีใดๆ ทั้งสิ้น อีกทั้งห้ามมิให้ตัดแปลงเนื้อหา และต้องอ้างอิงถึงเจ้าของเอกสารทุกครั้งที่มีการนำไปใช้

## ข.6 การคำนวณมูลค่าพลังงานจากภาวะการปฏิบัติงานเมื่อนำไอน้ำร้อนยวดยิ่งไปใช้ผลิตกระแสไฟฟ้าด้วยกังหันไอน้ำเครื่องที่ 2

คำนวณเช่นเดียวกับมูลค่าพลังงานทางทฤษฎีเมื่อนำไอน้ำร้อนยวดยิ่งไปใช้ผลิตกระแสไฟฟ้าด้วยกังหันไอน้ำเครื่องที่ 2

ข.6.1 สมการอัตราการผลิตกระแสไฟฟ้าด้วยกังหันไอน้ำเครื่องที่ 2 จากภาวะปฏิบัติงาน คือ กระแสไฟฟ้าที่ผลิตได้ (กิโลวัตต์)

$$= 0.142 \times \text{อัตราการผลิตไอน้ำร้อนยวดยิ่ง} \left( \frac{\text{กิโลกรัม}}{\text{ชั่วโมง}} \right) + 170.1 \quad (\text{ข.6})$$

ข.3.3 ตัวอย่างการคำนวณ

ที่อัตราการไหลเชิงมวลของอโทไซลีน 900 กิโลกรัม/ชั่วโมง

อัตราการผลิตไอน้ำร้อนยวดยิ่ง

$$= \frac{8,799,804}{3,043.3 - 897.6} = 4,100.12 \text{ กิโลกรัม/ชั่วโมง}$$

อัตราการผลิตกระแสไฟฟ้า =  $(0.142 \times 4,100.12) + 170.1 = 752.32$  กิโลวัตต์

มูลค่ากระแสไฟฟ้าที่ผลิตได้ =  $752.32 \times 2.90 = 2181.72$  บาท/ชั่วโมง

ผลการคำนวณทั้งหมดแสดงดังตารางที่ ข-1 ถึง ข-5

ตารางที่ ข-1 มูลค่าพลังงานเมื่อนำไอน้ำไปใช้ให้ความร้อนแทนน้ำมันถ่ายเทความร้อนอุณหภูมิสูงที่อุณหภูมิก๊าซธรรมชาติ

อัตราการไหลเชิงมวล ของไอไอน้ำ (kg/h)	ความร้อนจาก ปฏิกิริยา (kJ/h)	ปริมาณไอน้ำที่ผลิตได้ (kg/h)	ปริมาณความร้อนที่ ถ่ายเทจากไอน้ำ (MMBtu/h)	มูลค่าทางทฤษฎี (Bahr/h)	มูลค่าจาก ภาวะปฏิบัติงาน (Bahr/h)
0	0	0.00	0.000	0.00	0.00
100	977,756	513.30	0.904	288.76	245.45
200	1,955,512	1,026.61	1.808	577.52	490.90
300	2,933,268	1,539.91	2.712	866.29	736.34
400	3,911,024	2,053.21	3.616	1,155.05	981.79
500	4,888,780	2,566.52	4.520	1,443.81	1,227.24
600	5,866,536	3,079.82	5.424	1,732.57	1,472.69
700	6,844,292	3,593.12	6.328	2,021.33	1,718.13
800	7,822,048	4,106.43	7.232	2,310.09	1,963.58
900	8,799,804	4,619.73	8.136	2,598.86	2,209.03
1,000	9,777,560	5,133.04	9.040	2,887.62	2,454.48
1,100	10,755,316	5,646.34	9.945	3,176.38	2,699.92
1,200	11,733,072	6,159.64	10.849	3,465.14	2,945.37
1,300	12,710,828	6,672.95	11.753	3,753.90	3,190.82

เอกสารนี้เป็นเอกสารที่สงวนไว้สำหรับการใช้งานเพื่อการศึกษาเท่านั้น ไม่อนุญาตให้นำไปใช้ประโยชน์ด้านการค้า  
ไม่ว่ากรณีใดๆ ทั้งสิ้น อีกทั้งห้ามมิให้ตัดแปลงเนื้อหา และต้องอ้างอิงถึงเจ้าของเอกสารทุกครั้งที่มีการนำไปใช้

ตารางที่ ข-1 (ต่อ)

อัตราการไหลเชิงมวล ของไอโซโทป (kg/h)	ความร้อนจาก ปฏิกิริยา (kJ/h)	ปริมาณไอน้ำที่ผลิตได้ (kg/h)	ปริมาณความร้อนที่ ถ่ายเทจาก ไอน้ำ (MMBtu/h)	มูลค่าทางทฤษฎี (Bart/h)	มูลค่าจาก ภาวะปฏิบัติงาน (Bart/h)
1,400	13,688,584	7,186.25	12.657	4,042.67	3,436.27
1,500	14,666,340	7,699.55	13.561	4,331.43	3,681.71
1,600	15,644,096	8,212.86	14.465	4,620.19	3,927.16
1,700	16,621,852	8,726.16	15.369	4,908.95	4,172.61
1,800	17,599,608	9,239.46	16.273	5,197.71	4,418.06
1,900	18,577,364	9,752.77	17.177	5,486.47	4,663.50
2,000	19,555,120	10,266.07	18.081	5,775.24	4,908.95
2,100	20,532,876	10,779.37	18.985	6,064.00	5,154.40
2,200	21,510,632	11,292.68	19.889	6,352.76	5,399.85
2,300	22,488,388	11,805.98	20.793	6,641.52	5,645.29
2,400	23,466,144	12,319.29	21.697	6,930.28	5,890.74
2,500	24,443,900	12,832.59	22.601	7,219.04	6,136.19
2,600	25,421,656	13,345.89	23.505	7,507.81	6,381.64
2,700	26,399,412	13,859.20	24.409	7,796.57	6,627.08

เอกสารนี้เป็นเอกสารที่สงวนไว้สำหรับการใช้งานเพื่อการศึกษาเท่านั้น ไม่อนุญาตให้นำไปใช้ประโยชน์ด้านการค้า  
ไม่ว่ากรณีใดๆ ทั้งสิ้น อีกทั้งห้ามมิให้ตัดแปลงเนื้อหา และต้องอ้างอิงถึงเจ้าของเอกสารทุกครั้งที่มีการนำไปใช้

ตารางที่ ข-1 (ต่อ)

อัตราการไหลเชิงมวล ของไฮโดรเจน (kg/h)	ความร้อนจาก ปฏิกิริยา (kJ/h)	ปริมาณไอน้ำที่ผลิตได้ (kg/h)	ปริมาณความร้อนที่ ถ่ายเทจากไอน้ำ (MMBtu/h)	มูลค่าทางทฤษฎี (Bahr/h)	มูลค่าจาก ภาวะปฏิบัติงาน (Bahr/h)
2,800	27,377,168	14,372.50	25.313	8,085.33	6,872.53
2,900	28,354,924	14,885.80	26.217	8,374.09	7,117.98
3,000	29,332,680	15,399.11	27.121	8,662.85	7,363.43
3,100	30,310,436	15,912.41	28.025	8,951.62	7,608.87
3,200	31,288,192	16,425.71	28.930	9,240.38	7,854.32
3,300	32,265,948	16,939.02	29.834	9,529.14	8,099.77
3,400	33,243,704	17,452.32	30.738	9,817.90	8,345.22
3,500	34,221,460	17,965.62	31.642	10,106.66	8,590.66
3,600	35,199,216	18,478.93	32.546	10,395.42	8,836.11
3,700	36,176,972	18,992.23	33.450	10,684.19	9,081.56
3,800	37,154,728	19,505.53	34.354	10,972.95	9,327.01
3,900	38,132,484	20,018.84	35.258	11,261.71	9,572.45
4,000	39,110,240	20,532.14	36.162	11,550.47	9,817.90

เอกสารนี้เป็นเอกสารที่สงวนไว้สำหรับการใช้งานเพื่อการศึกษาเท่านั้น ไม่อนุญาตให้นำไปใช้ประโยชน์ด้านการค้า  
ไม่ว่ากรณีใดๆ ทั้งสิ้น อีกทั้งห้ามมิให้ตัดแปลงเนื้อหา และต้องอ้างอิงถึงเจ้าของเอกสารทุกครั้งที่มีการนำไปใช้

ตารางที่ ข-2 มูลค่าพลังงานเมื่อนำไอน้ำไปใช้ผลิตกระแสไฟฟ้าด้วยกังหันไอน้ำเครื่องที่ 1

อัตราการไหลเชิงมวล ของไอโทไซดิม (kg/h)	ความร้อนจาก ปฏิกิริยา (kJ/h)	ปริมาณไอน้ำที่ผลิตได้ (kg/h)	อัตราการผลิต กระแสไฟฟ้าทางทฤษฎี (kW)	อัตราการผลิต กระแสไฟฟ้าจาก ภาวะปฏิบัติงาน (kW)	มูลค่าทาง ทฤษฎี (Bath/h)	มูลค่าจาก ภาวะปฏิบัติงาน (Bath/h)
0	0	0.00	-233.00	-200.00	-675.70	-580.00
100	977,756	441.24	-166.61	-138.72	-483.17	-402.28
200	1,955,512	882.48	-100.22	-77.43	-290.63	-224.56
300	2,933,268	1,323.72	-33.83	-16.15	-98.10	-46.84
400	3,911,024	1,764.96	32.56	45.13	94.43	130.89
500	4,888,780	2,206.20	98.95	106.42	286.96	308.61
600	5,866,536	2,647.44	165.34	167.70	479.50	486.33
700	6,844,292	3,088.68	231.73	228.98	672.03	664.05
800	7,822,048	3,529.92	298.12	290.27	864.56	841.77
900	8,799,804	3,971.16	364.52	351.55	1,057.10	1,019.49
1,000	9,777,560	4,412.40	430.91	412.83	1,249.63	1,197.21
1,100	10,755,316	4,853.64	497.30	474.12	1,442.16	1,374.94
1,200	11,733,072	5,294.87	563.69	535.40	1,634.69	1,552.66
1,300	12,710,828	5,736.11	630.08	596.68	1,827.23	1,730.38

เอกสารนี้เป็นเอกสารที่สงวนไว้สำหรับวิชาการเพื่อการศึกษาเท่านั้น เมื่อนำไปใช้ประโยชน์อื่นใดโดยไม่ได้รับอนุญาตให้เผยแพร่หรือจำหน่าย  
ไม่ว่ากรณีใดๆ ทั้งสิ้น อีกทั้งห้ามมิให้ตัดแปลงเนื้อหา และต้องอ้างอิงถึงเจ้าของเอกสารทุกครั้งที่มีการนำไปใช้

ตารางที่ ข-2 (ต่อ)

อัตราการไหลจริงมวล ของออกโทเซทิน (kg/h)	ความร้อนจาก ปฏิกิริยา (kJ/h)	ปริมาณไอน้ำที่ผลิตได้ (kg/h)	อัตราการผลิต กระแสไฟฟ้าทางทฤษฎี (kW)	อัตราการผลิต กระแสไฟฟ้าจาก ภาวะปฏิบัติงาน (kW)	มูลค่าทาง ทฤษฎี (Bahr/h)	มูลค่าจาก ภาวะปฏิบัติงาน (Bahr/h)
1,400	13,688,584	6,177.35	696.47	657.97	2,019.76	1,908.10
1,600	15,644,096	7,059.83	829.25	780.53	2,404.82	2,263.54
1,700	16,621,852	7,501.07	895.64	841.82	2,597.36	2,441.27
1,800	17,599,608	7,942.31	962.03	903.10	2,789.89	2,618.99
1,900	18,577,364	8,383.55	1,028.42	964.38	2,982.42	2,796.71
2,000	19,555,120	8,824.79	1,094.81	1,025.67	3,174.96	2,974.43
2,100	20,532,876	9,266.03	1,161.20	1,086.95	3,367.49	3,152.15
2,200	21,510,632	9,707.27	1,227.59	1,148.23	3,560.02	3,329.87
2,300	22,488,388	10,148.51	1,293.98	1,209.52	3,752.55	3,507.59
2,400	23,466,144	10,589.75	1,360.37	1,270.80	3,945.09	3,685.32
2,500	24,443,900	11,030.99	1,426.77	1,332.08	4,137.62	3,863.04
2,600	25,421,656	11,472.23	1,493.16	1,393.37	4,330.15	4,040.76
2,700	26,399,412	11,913.47	1,559.55	1,454.65	4,522.69	4,218.48
2,800	27,377,168	12,354.71	1,625.94	1,515.93	4,715.22	4,396.20

ตารางที่ ข-2 (ต่อ)

อัตราการไหลเชิงมวล ของออกโทไซติน (kg/h)	ความร้อนจาก ปฏิกิริยา (kJ/h)	ปริมาณไอน้ำที่ผลิตได้ (kg/h)	อัตราการผลิต กระแสไฟฟ้าทางทฤษฎี (kW)	อัตราการผลิต กระแสไฟฟ้าจาก ภาวะปฏิบัติงาน (kW)	มูลค่าทาง ทฤษฎี (Baht/h)	มูลค่าจาก ภาวะปฏิบัติงาน (Baht/h)
2,900	28,354,924	12,795.95	1,692.33	1,577.21	4,907.75	4,573.92
3,000	29,332,680	13,237.19	1,758.72	1,638.50	5,100.28	4,751.64
3,100	30,310,436	13,678.43	1,825.11	1,699.78	5,292.82	4,929.37
3,200	31,288,192	14,119.67	1,891.50	1,761.06	5,485.35	5,107.09
3,300	32,265,948	14,560.91	1,957.89	1,822.35	5,677.88	5,284.81
3,400	33,243,704	15,002.15	2,024.28	1,883.63	5,870.42	5,462.53
3,500	34,221,460	15,443.38	2,090.67	1,944.91	6,062.95	5,640.25
3,600	35,199,216	15,884.62	2,157.06	2,006.20	6,255.48	5,817.97
3,700	36,176,972	16,325.86	2,223.45	2,067.48	6,448.01	5,995.70
3,800	37,154,728	16,767.10	2,289.84	2,128.76	6,640.55	6,173.42
3,900	38,132,484	17,208.34	2,356.23	2,190.05	6,833.08	6,351.14
4,000	39,110,240	17,649.58	2,422.62	2,251.33	7,025.61	6,528.86

ตารางที่ ๓-3 มูลค่าพลังงานเมื่อนำเอาไปใช้ผลิตกระแสไฟฟ้าด้วยกังหันไอน้ำเครื่องที่ 2

อัตราการไหลเชิงมวล ของไอโซลีน (kg/h)	ความร้อนจาก ปฏิกิริยา (kJ/h)	ปริมาณไอน้ำที่ผลิตได้ (kg/h)	อัตราการผลิต กระแสไฟฟ้าทางทฤษฎี (kW)	อัตราการผลิต กระแสไฟฟ้าจาก ภาวะปฏิบัติงาน (kW)	มูลค่าทาง ทฤษฎี (Baht/h)	มูลค่าจาก ภาวะปฏิบัติงาน (Baht/h)
0	0	0.00	-200.00	170.10	-580.00	493.29
100	977,756	455.57	-124.07	234.79	-359.81	680.89
200	1,955,512	911.14	-48.14	299.48	-139.62	868.50
300	2,933,268	1,366.71	27.78	364.17	80.58	1,056.10
400	3,911,024	1,822.28	103.71	428.86	300.77	1,243.70
500	4,888,780	2,277.85	179.64	493.55	520.96	1,431.31
600	5,866,536	2,733.41	255.57	558.24	741.15	1,618.91
700	6,844,292	3,188.98	331.50	622.94	961.34	1,806.51
800	7,822,048	3,644.55	407.43	687.63	1,181.53	1,994.12
900	8,799,804	4,100.12	483.35	752.32	1,401.73	2,181.72
1,000	9,777,560	4,555.69	559.28	817.01	1,621.92	2,369.32
1,100	10,755,316	5,011.26	635.21	881.70	1,842.11	2,556.93
1,200	11,733,072	5,466.83	711.14	946.39	2,062.30	2,744.53
1,300	12,710,828	5,922.40	787.07	1,011.08	2,282.49	2,932.13

ตารางที่ ข-3 (ต่อ)

อัตราการไหลเชิงมวล ของออกโทเซลิน (kg/h)	ความร้อนจาก ปฏิกิริยา (kJ/h)	ปริมาณไอน้ำที่ผลิตได้ (kg/h)	อัตราการผลิต กระแสไฟฟ้าทางทฤษฎี (kW)	อัตราการผลิต กระแสไฟฟ้าจาก ภาวะปฏิบัติงาน (kW)	มูลค่าทาง ทฤษฎี (Baht/h)	มูลค่าจาก ภาวะปฏิบัติงาน (Baht/h)
1,400	13,688,584	6,377.97	862.99	1,075.77	2,502.68	3,119.74
1,600	15,644,096	7,289.11	1,014.85	1,205.15	2,943.07	3,494.94
1,700	16,621,852	7,744.67	1,090.78	1,269.84	3,163.26	3,682.55
1,800	17,599,608	8,200.24	1,166.71	1,334.53	3,383.45	3,870.15
1,900	18,577,364	8,655.81	1,242.64	1,399.23	3,603.64	4,057.75
2,000	19,555,120	9,111.38	1,318.56	1,463.92	3,823.83	4,245.36
2,100	20,532,876	9,566.95	1,394.49	1,528.61	4,044.03	4,432.96
2,200	21,510,632	10,022.52	1,470.42	1,593.30	4,264.22	4,620.56
2,300	22,488,388	10,478.09	1,546.35	1,657.99	4,484.41	4,808.17
2,400	23,466,144	10,933.66	1,622.28	1,722.68	4,704.60	4,995.77
2,500	24,443,900	11,389.23	1,698.20	1,787.37	4,924.79	5,183.37
2,600	25,421,656	11,844.80	1,774.13	1,852.06	5,144.98	5,370.98
2,700	26,399,412	12,300.36	1,850.06	1,916.75	5,365.18	5,558.58
2,800	27,377,168	12,755.93	1,925.99	1,981.44	5,585.37	5,746.18

ตารางที่ ข-3 (ต่อ)

อัตราการไหลเชิงมวล ของไอโซธิน (kg/h)	ความร้อนจาก ปฏิกิริยา (kJ/h)	ปริมาณไอน้ำที่ผลิตได้ (kg/h)	อัตราการผลิต กระแสไฟฟ้าทางทฤษฎี (kW)	อัตราการผลิต กระแสไฟฟ้าจาก ภาวะปฏิบัติงาน (kW)	มูลค่าทาง ทฤษฎี (Baht/h)	มูลค่าจาก ภาวะปฏิบัติงาน (Baht/h)
2,900	28,354,924	13,211.50	2,001.92	2,046.13	5,805.56	5,933.79
3,000	29,332,680	13,667.07	2,077.85	2,110.82	6,025.75	6,121.39
3,100	30,310,436	14,122.64	2,153.77	2,175.52	6,245.94	6,308.99
3,200	31,288,192	14,578.21	2,229.70	2,240.21	6,466.13	6,496.60
3,300	32,265,948	15,033.78	2,305.63	2,304.90	6,686.33	6,684.20
3,400	33,243,704	15,489.35	2,381.56	2,369.59	6,906.52	6,871.80
3,500	34,221,460	15,944.92	2,457.49	2,434.28	7,126.71	7,059.41
3,600	35,199,216	16,400.49	2,533.41	2,498.97	7,346.90	7,247.01
3,700	36,176,972	16,856.06	2,609.34	2,563.66	7,567.09	7,434.61
3,800	37,154,728	17,311.62	2,685.27	2,628.35	7,787.29	7,622.22
3,900	38,132,484	17,767.19	2,761.20	2,693.04	8,007.48	7,809.82
4,000	39,110,240	18,222.76	2,837.13	2,757.73	8,227.67	7,997.42

ตารางที่ ข-4 ความคุ้มค่าเชิงเศรษฐศาสตร์ของรูปแบบการใช้ไอน้ำที่ได้จากการถ่ายเทความร้อนจากปฏิกิริยาออกซิเดชันของโทไซติน

อัตราการไหล เชิงมวลของ ออกซิเจน (kg/h)	มูลค่าพลังงานจาก			ผลต่างของมูลค่าพลังงาน			มูลค่าพลังงานจาก			ผลต่างของมูลค่าพลังงาน		
	การคำนวณทางทฤษฎี (Bahrt)			จากการคำนวณทางทฤษฎี (Bahrt)			ภาวะการปฏิบัติงาน (Bahrt)			จากภาวะการปฏิบัติงาน (Bahrt)		
	กรณีที่ 1	กรณีที่ 2	กรณีที่ 3	กรณีที่ 1 และ 2	กรณีที่ 1 และ 3	เฉลี่ย	กรณีที่ 1	กรณีที่ 2	กรณีที่ 3	กรณีที่ 1 และ 2	กรณีที่ 1 และ 3	เฉลี่ย
1,000	2,887.62	1,249.63	1,621.92	1,637.99	1,265.70	1,451.85	2,454.48	1,197.21	2,369.32	1,257.27	85.16	671.22
2,000	5,775.24	3,174.96	3,823.83	2,600.28	1,951.41	2,275.85	4,908.95	2,974.43	4,245.36	1,934.52	663.59	1,299.06
3,000	8,662.85	5,100.28	6,025.75	3,562.57	2,637.10	3,099.84	7,363.43	4,751.64	6,121.39	2,611.79	1,242.04	1,926.92
4,000	11,550.47	7,025.61	8,227.67	4,524.86	3,322.80	3,923.83	9,817.90	6,528.86	7,997.42	3,289.04	1,820.48	2,554.76

#### หมายเหตุ

กรณีที่ 1: การนำไอน้ำไปใช้ให้ความร้อนแทนน้ำมันถ่ายเทความร้อนอุณหภูมิสูงที่อุณหภูมิอากาศ

กรณีที่ 2: การนำไอน้ำไปใช้ผลิตกระแสไฟฟ้าด้วยกังหันไอน้ำเครื่องที่ 1

กรณีที่ 3: การนำไอน้ำไปใช้ผลิตกระแสไฟฟ้าด้วยกังหันไอน้ำเครื่องที่ 2

ตารางที่ ข-5 อัตราการผลิตไอน้ำของอุปกรณ์ขุดที่บาคูลเลอร์จำนวนทางทฤษฎีเปรียบเทียบกับภาวะการปฏิบัติงาน

อัตราการผลิตไอน้ำของ ออปโทไซลีน (kg/h)	อัตราการผลิตไอน้ำ จากการคำนวณทางทฤษฎี (kg/h)	อัตราการผลิตไอน้ำ จากภาวะการปฏิบัติงาน (kg/h)	ประสิทธิภาพของ อุปกรณ์ขุดที่บาคูลเลอร์ (%)
2,760	14,167	12,354	87
2,720	13,962	12,258	88
2,743	14,080	12,283	87
2,791	14,326	12,509	87
2,845	14,603	12,242	84
2,866	14,711	12,456	85
2,900	14,886	12,753	86
2,957	15,178	12,763	84
2,992	15,358	12,638	82
3,039	15,599	12,611	81
3,077	15,794	12,728	81
3,108	15,953	12,911	81
3,166	16,251	14,739	91
3,206	16,457	14,284	87
3,247	16,667	13,423	81

**ตารางที่ ข-5 (ต่อ)**

อัตราการไหลเชิงมวล ของออกโทไซติน (kg/h)	อัตราการผลิตไอน้ำจากกการคำนวณ ทางทฤษฎี (kg/h)	อัตราการผลิตไอน้ำ จากภาวะการปฏิบัติงาน (kg/h)	ประสิทธิภาพของ อุปกรณ์หอกลั่นอากาศ
3,295	16,913	13,772	81
3,343	17,160	13,738	80
3,376	17,329	14,999	87
3,402	17,463	14,828	85
3,432	17,617	14,513	82
3,452	17,719	15,930	90
3,492	17,925	15,813	88
3,509	18,012	15,710	87
3,552	18,233	15,780	87
3,564	18,294	16,088	88
เฉลี่ย			85

## ภาคผนวก ข

### การคำนวณมูลค่าพลังงานที่ใช้ในช่วงเริ่มกระบวนการผลิต

การคำนวณมูลค่าพลังงาน ในช่วงเริ่มกระบวนการผลิตพาทาลิกแอนไฮไดรด์ จะคำนวณความแตกต่างของมูลค่าพลังงานเฉพาะอุปกรณ์ส่วนที่เกี่ยวข้องกับปริมาณไอน้ำ และการใช้ความร้อนจากไอน้ำ คือ กังหันไอน้ำเครื่องที่ 1 และ 2 หม้อไอน้ำ และอุปกรณ์แลกเปลี่ยนความร้อนที่ใช้ไอน้ำความดันสูงร่วมกับน้ำมันแลกเปลี่ยนความร้อน

กำหนดให้เริ่มกระบวนการผลิตที่อโทไซลีน 34 กรัม/นอร์มอลลูกบาศก์เมตร และเพิ่มอโทไซลีน 1 กรัม/นอร์มอลลูกบาศก์เมตร ทุก 10 นาที ในช่วงอโทไซลีน 34-60 กรัม/นอร์มอลลูกบาศก์เมตร หลังจากนั้นจะเพิ่ม ทุก 15 นาที จนถึง 100 กรัมอโทไซลีน/นอร์มอลลูกบาศก์เมตร

#### ข.1 การคำนวณค่าไฟฟ้า

ข.1.1 เมื่อไม่นำไอน้ำที่ได้จากปฏิกริยาออกซิเดชันของอโทไซลีนไปใช้ผลิตกระแสไฟฟ้า ด้วยกังหันไอน้ำ จะคิดว่กังหันไอน้ำใช้ไฟฟ้า 600 กิโลวัตต์

ข.1.2 คำนวณอัตราการผลิตกระแสไฟฟ้าของกังหันไอน้ำเครื่องที่ 1 ทางทฤษฎีจากสมการ ข.4

ข.1.3 การคำนวณอัตราการผลิตกระแสไฟฟ้าของกังหันไอน้ำเครื่องที่ 1 ด้วยข้อมูลภาวะปฏิบัติงาน คัดจากสมการ ข.5

ข.1.4 คำนวณอัตราการผลิตกระแสไฟฟ้าของกังหันไอน้ำเครื่องที่ 2 ทางทฤษฎีจากสมการ ข.6

ข.1.5 คำนวณอัตราการผลิตกระแสไฟฟ้าของกังหันไอน้ำเครื่องที่ 2 ด้วยข้อมูลภาวะปฏิบัติงาน คัดจากสมการ ข.7

#### ข.2 การคำนวณค่าก๊าซธรรมชาติ

ข.2.1 อุปกรณ์แลกเปลี่ยนความร้อนที่ใช้ไอน้ำความดันสูงร่วมกับน้ำมันแลกเปลี่ยนความร้อน อุณหภูมิสูง ต้องการความร้อน 3.04 ล้านบีทียู/ชั่วโมง เทียบเท่าการใช้ก๊าซธรรมชาติ

$$971.8 \text{ บาท/ชั่วโมง} \left( 319 \frac{\text{บาท}}{\text{ล้านบีทียู}} \times 3.04 \text{ ล้านบีทียู} \right)$$

เอกสารนี้เป็นเอกสารที่สงวนไว้สำหรับการใช้งานเพื่อการศึกษาเท่านั้น ไม่อนุญาตให้นำไปใช้ประโยชน์ด้านการค้า ไม่ว่ากรณีใดๆ ทั้งสิ้น อีกทั้งห้ามมิให้ตัดแปลงเนื้อหา และต้องอ้างอิงถึงเจ้าของเอกสารทุกครั้งที่มีการนำไปใช้

ซ.2.2 เมื่อคิดมูลค่าพลังงานจากภาวะการปฏิบัติงาน จะกำหนดให้อุปกรณ์แลกเปลี่ยนความร้อนมีประสิทธิภาพร้อยละ 85

### ซ.3 การคำนวณค่าน้ำมันเตา

คิดที่ราคาน้ำมันเตาในตลาดประมาณ 11.12 บาท/ลิตร

ซ.3.1 หม้อไอน้ำใช้น้ำมันเตา 584.09 ลิตร/ชั่วโมง และมีประสิทธิภาพทางทฤษฎี ร้อยละ 88 ดังนั้นหม้อไอน้ำจะใช้น้ำมันเตา 7,380.83 บาท/ชั่วโมง

ซ.3.2 ประสิทธิภาพของหม้อไอน้ำจากภาวะปฏิบัติงาน ร้อยละ 81 ดังนั้นต้องใช้น้ำมันเตา 8,019.67 บาท/ชั่วโมง

ผลการคำนวณมูลค่าพลังงานที่ใช้ในช่วงเริ่มกระบวนการผลิต แสดงดังตารางที่ ซ-1 และ ซ-2



เอกสารนี้เป็นเอกสารที่สงวนไว้สำหรับการใช้งานเพื่อการศึกษาเท่านั้น ไม่อนุญาตให้นำไปใช้ประโยชน์ด้านการค้า ไม่ว่าจะกรณีใดๆ ทั้งสิ้น อีกทั้งห้ามมิให้ตัดแปลงเนื้อหา และต้องอ้างอิงถึงเจ้าของเอกสารทุกครั้งที่มีการนำไปใช้

ตารางที่ ข-1 มูลค่าพลังงานทางทฤษฎีในช่วงเริ่มกระบวนการผลิต

	ออปโตไซติน		ต้นทุนก่อนดำเนินงาน (Baht)			ต้นทุนตามแนวทางการนำเสนองาน (Babt)		
	(gNm <sup>3</sup> )	อัตราการไหล (kg/h)	ไฟฟ้า	ก๊าซธรรมชาติ	น้ำมันเตา	ไฟฟ้า	ก๊าซธรรมชาติ	น้ำมันเตา
เริ่มกระบวนการผลิต	34	1,162.80	0.00	0.00	0.00	0.00	0.00	0.00
	35	1,197.00	-290.00	-161.97	-1,230.14	-161.97	-161.97	-1,230.14
	36	1,231.20	-290.00	-161.97	-1,230.14	-161.97	-161.97	-1,230.14
	37	1,265.40	-290.00	-161.97	-1,230.14	-161.97	-161.97	-1,230.14
	38	1,299.60	-290.00	-161.97	-1,230.14	-161.97	-161.97	-1,230.14
หยุดเดินหม้อไอน้ำ	39	1,333.80	-290.00	-161.97	-1,230.14	-161.97	-161.97	-1,230.14
เริ่มกังหันไอน้ำเครื่องที่ 1	40	1,368.00	-290.00	-161.97	-1,230.14	-161.97	-131.02	0.00
	41	1,402.20	-63.89	-161.97	-1,230.14	-161.97	-114.15	0.00
	42	1,436.40	-52.91	-161.97	-1,230.14	-161.97	-97.27	0.00
	43	1,470.60	-41.94	-161.97	-1,230.14	-161.97	-80.40	0.00
	44	1,504.80	-30.96	-161.97	-1,230.14	-161.97	-63.53	0.00
	45	1,539.00	-19.99	-161.97	-1,230.14	-161.97	-46.66	0.00
	46	1,573.20	-9.01	-161.97	-1,230.14	-161.97	-29.78	0.00
	47	1,607.40	1.96	-161.97	-1,230.14	-161.97	-12.91	0.00

เอกสารนี้เป็นเอกสารที่สงวนไว้สำหรับการใช้งานเพื่อการศึกษาเท่านั้น ไม่อนุญาตให้นำไปใช้ประโยชน์ด้านการค้า  
ไม่ว่ากรณีใดๆ ทั้งสิ้น อีกทั้งห้ามมิให้ตัดแปลงเนื้อหา และต้องอ้างอิงถึงเจ้าของเอกสารทุกครั้งที่มีการนำไปใช้

## ตารางที่ ๗-1 (ต่อ)

	ออปโทไซติส		ต้นทุนก่อนดำเนินงาน (Babt)			ต้นทุนตามแนวทางการนำเสนอ (Babt)		
	(gNm <sup>3</sup> )	อัตราการไหล (kg/h)	ไฟฟ้า	ก๊าซธรรมชาติ	น้ำมันเตา	ไฟฟ้า	ก๊าซธรรมชาติ	น้ำมันเตา
เริ่มกังหันไอน้ำเครื่องที่ 1	48	1,641.60	12.93	-161.97	-1,230.14	-161.97	0.00	0.00
	49	1,675.80	23.91	-161.97	-1,230.14	-107.00	0.00	0.00
	50	1,710.00	34.88	-161.97	-1,230.14	-96.02	0.00	0.00
	51	1,744.20	45.86	-161.97	-1,230.14	-85.05	0.00	0.00
	52	1,778.40	56.83	-161.97	-1,230.14	-74.07	0.00	0.00
	53	1,812.60	67.81	-161.97	-1,230.14	-63.10	0.00	0.00
	54	1,846.80	78.78	-161.97	-1,230.14	-52.12	0.00	0.00
	55	1,881.00	89.75	-161.97	-1,230.14	-41.15	0.00	0.00
	56	1,915.20	100.73	-161.97	-1,230.14	-30.17	0.00	0.00
	57	1,949.40	111.70	-161.97	-1,230.14	-19.20	0.00	0.00
	58	1,983.60	122.68	-161.97	-1,230.14	-8.23	0.00	0.00
	59	2,017.80	133.65	-161.97	-1,230.14	2.75	0.00	0.00
หยุดเดินหม้อไอน้ำ	60	2,052.00	144.63	-161.97	-1,230.14	13.72	0.00	0.00
	61	2,086.20	233.40	-242.95	0.00	37.05	0.00	0.00

เอกสารนี้เป็นเอกสารที่สงวนไว้สำหรับการใช้งานเพื่อการศึกษาเท่านั้น ไม่อนุญาตให้นำไปใช้ประโยชน์ด้านการค้า  
ไม่ว่ากรณีใดๆ ทั้งสิ้น อีกทั้งห้ามมิให้ตัดแปลงเนื้อหา และต้องอ้างอิงถึงเจ้าของเอกสารทุกครั้งที่มีการนำไปใช้

ตารางที่ ๗-1 (ต่อ)

ออกโทไซลีน		ต้นทุนก่อนดำเนินงาน (Baht)			ต้นทุนตามแนวทวงน้ำสนอ (Baht)		
(g/Nm <sup>3</sup> )	อัตราการไหล (kg/h)	ไฟฟ้า	ก๊าซธรรมชาติ	น้ำมันเตา	ไฟฟ้า	ก๊าซธรรมชาติ	น้ำมันเตา
62	2,120.40	249.86	-242.95	0.00	53.51	0.00	0.00
63	2,154.60	266.32	-242.95	0.00	69.97	0.00	0.00
64	2,188.80	282.79	-242.95	0.00	86.43	0.00	0.00
65	2,223.00	299.25	-242.95	0.00	102.89	0.00	0.00
66	2,257.20	315.71	-242.95	0.00	119.35	0.00	0.00
67	2,291.40	332.17	-242.95	0.00	135.81	0.00	0.00
68	2,325.60	348.63	-242.95	0.00	152.28	0.00	0.00
69	2,359.80	365.09	-242.95	0.00	168.74	0.00	0.00
70	2,394.00	381.55	-242.95	0.00	185.20	0.00	0.00
71	2,428.20	398.02	-242.95	0.00	201.66	0.00	0.00
72	2,462.40	414.48	-242.95	0.00	218.12	0.00	0.00
73	2,496.60	430.94	-242.95	0.00	234.58	0.00	0.00
74	2,530.80	447.40	-242.95	0.00	251.05	0.00	0.00
75	2,565.00	463.86	-242.95	0.00	267.51	0.00	0.00

เอกสารนี้เป็นเอกสารที่สงวนไว้สำหรับการใช้งานเพื่อการศึกษาเท่านั้น ไม่อนุญาตให้นำไปใช้ประโยชน์ด้านการค้า  
ไม่ว่ากรณีใดๆ ทั้งสิ้น อีกทั้งห้ามมิให้ดัดแปลงเนื้อหา และต้องอ้างอิงถึงเจ้าของเอกสารทุกครั้งที่มีการนำไปใช้

ตารางที่ ข-1 (ต่อ)

	ออปโตไซติส		ต้นทุนก่อนดำเนินการ (Baht)			ต้นทุนตามแนวทางการนำเสนอง (Baht)		
	(g/Nm <sup>3</sup> )	อัตราการไหล (kg/h)	ไฟฟ้า	ก๊าซธรรมชาติ	น้ำมันเตา	ไฟฟ้า	ก๊าซธรรมชาติ	น้ำมันเตา
76		2,599.20	480.32	-242.95	0.00	283.97	0.00	0.00
77		2,633.40	496.79	-242.95	0.00	300.43	0.00	0.00
78		2,667.60	513.25	-242.95	0.00	316.89	0.00	0.00
79		2,701.80	529.71	-242.95	0.00	333.35	0.00	0.00
80		2,736.00	546.17	-242.95	0.00	349.82	0.00	0.00
81		2,770.20	562.63	-242.95	0.00	366.28	0.00	0.00
82		2,804.40	579.09	-242.95	0.00	382.74	0.00	0.00
83		2,838.60	722.53	-242.95	0.00	399.20	0.00	0.00
84		2,872.80	741.36	-242.95	0.00	415.66	0.00	0.00
85		2,907.00	760.18	-242.95	0.00	432.12	0.00	0.00
86		2,941.20	779.01	-242.95	0.00	448.58	0.00	0.00
87		2,975.40	797.83	-242.95	0.00	465.05	0.00	0.00
88		3,009.60	816.66	-242.95	0.00	481.51	0.00	0.00
89		3,043.80	835.49	-242.95	0.00	497.97	0.00	0.00

เริ่มกังหันไอน้ำเครื่องที่ 2

เอกสารนี้เป็นเอกสารที่สงวนไว้สำหรับการใช้งานเพื่อการศึกษาเท่านั้น ไม่อนุญาตให้นำไปใช้ประโยชน์ด้านการค้า  
ไม่ว่ากรณีใดๆ ทั้งสิ้น อีกทั้งห้ามมิให้ดัดแปลงเนื้อหา และต้องอ้างอิงถึงเจ้าของเอกสารทุกครั้งที่มีการนำไปใช้

ตารางที่ ข-1 (ต่อ)

	อโทโซลิน		ต้นทุนก่อนดำเนินงาน (Baht)			ต้นทุนตามแนวทางการนำเสนอ (Baht)			
	(g/Nm <sup>3</sup> )	อัตราการไหล (kg/h)	ไฟฟ้า	ก๊าซธรรมชาติ	น้ำมันเตา	ไฟฟ้า	ก๊าซธรรมชาติ	น้ำมันเตา	
90		3,078.00	854.31	-242.95	0.00	514.43	0.00	0.00	
91		3,112.20	873.14	-242.95	0.00	530.89	0.00	0.00	
92		3,146.40	891.97	-242.95	0.00	547.35	0.00	0.00	
93		3,180.60	910.79	-242.95	0.00	563.82	0.00	0.00	
94		3,214.80	929.62	-242.95	0.00	580.28	0.00	0.00	
95		3,249.00	948.45	-242.95	0.00	596.74	0.00	0.00	
96		3,283.20	967.27	-242.95	0.00	613.20	0.00	0.00	
97		3,317.40	986.10	-242.95	0.00	768.60	0.00	0.00	
98		3,351.60	1,004.93	-242.95	0.00	787.43	0.00	0.00	
99		3,385.80	1,023.75	-242.95	0.00	806.25	0.00	0.00	
100		3,420.00	1,042.58	-242.95	0.00	825.08	0.00	0.00	
			23,890.80	-13,929.13	-31,983.58	12,064.60	-1,385.56	-6,150.69	
			ผลรวม						

เอกสารนี้เป็นเอกสารที่สงวนไว้สำหรับการใช้งานเพื่อการศึกษาเท่านั้น ไม่อนุญาตให้นำไปใช้ประโยชน์ด้านการค้า  
ไม่ว่ากรณีใดๆ ทั้งสิ้น อีกทั้งห้ามมิให้คัดแปลงเนื้อหา และต้องอ้างอิงถึงเจ้าของเอกสารทุกครั้งที่มีการนำไปใช้

ตารางที่ ข-2 มูลค่าพลังงานเมื่อใช้ภาวะปฏิบัติงานในช่วงเริ่มกระบวนการผลิต

	ออกโทไซลิน		ต้นทุนก่อนดำเนินการผลิต (Babt)			ต้นทุนตามแนวทางการนำเสนอง (Babt)		
	(g/Nm <sup>3</sup> )	อัตราการไหล (kg/h)	ไฟฟ้า	ก๊าซธรรมชาติ	น้ำมันเตา	ไฟฟ้า	ก๊าซธรรมชาติ	น้ำมันเตา
เริ่มกระบวนการผลิต	34	1,162.80	0.00	0.00	0.00	0.00	0.00	0.00
	35	1,197.00	-290.00	-190.55	-1,336.61	-290.00	-190.55	-1,336.61
	36	1,231.20	-290.00	-190.55	-1,336.61	-290.00	-190.55	-1,336.61
	37	1,265.40	-290.00	-190.55	-1,336.61	-290.00	-190.55	-1,336.61
	38	1,299.60	-290.00	-190.55	-1,336.61	-290.00	-190.55	-1,336.61
หยุดเดินหม้อไอน้ำ	39	1,333.80	-290.00	-190.55	-1,336.61	-290.00	-190.55	-1,336.61
เริ่มกังหันไอน้ำเครื่องที่ 1	40	1,368.00	-290.00	-190.55	-1,336.61	-290.00	-260.84	0.00
	41	1,402.20	-136.53	-190.55	-1,336.61	-290.00	-246.50	0.00
	42	1,436.40	-126.40	-190.55	-1,336.61	-290.00	-232.15	0.00
	43	1,470.60	-116.27	-190.55	-1,336.61	-290.00	-217.81	0.00
	44	1,504.80	-106.14	-190.55	-1,336.61	-290.00	-203.47	0.00
	45	1,539.00	-96.01	-190.55	-1,336.61	-290.00	-189.13	0.00
	46	1,573.20	-85.88	-190.55	-1,336.61	-290.00	-174.79	0.00
	47	1,607.40	-75.75	-190.55	-1,336.61	-290.00	-160.45	0.00

ตารางที่ ข-2 (ต่อ)

	ออปโทไซลีน		ต้นทุนก่อนดำเนินงาน (Baht)			ต้นทุนตามแนวทางการนำเสนอ (Baht)		
	(g/Nm <sup>3</sup> )	อัตราการไหล (kg/h)	ไฟฟ้า	ก๊าซธรรมชาติ	น้ำมันเตา	ไฟฟ้า	ก๊าซธรรมชาติ	น้ำมันเตา
เริ่มกังหันไอน้ำเครื่องที่ 1	48	1,641.60	-65.62	-190.55	-1,336.61	-290.00	0.00	0.00
	49	1,675.80	-55.49	-190.55	-1,336.61	-176.33	0.00	0.00
	50	1,710.00	-45.36	-190.55	-1,336.61	-166.20	0.00	0.00
	51	1,744.20	-35.23	-190.55	-1,336.61	-156.07	0.00	0.00
	52	1,778.40	-25.10	-190.55	-1,336.61	-145.94	0.00	0.00
	53	1,812.60	-14.97	-190.55	-1,336.61	-135.81	0.00	0.00
	54	1,846.80	-4.84	-190.55	-1,336.61	-125.68	0.00	0.00
	55	1,881.00	5.29	-190.55	-1,336.61	-115.55	0.00	0.00
	56	1,915.20	15.42	-190.55	-1,336.61	-105.42	0.00	0.00
	57	1,949.40	25.55	-190.55	-1,336.61	-95.29	0.00	0.00
	58	1,983.60	35.68	-190.55	-1,336.61	-85.16	0.00	0.00
	59	2,017.80	45.81	-190.55	-1,336.61	-75.03	0.00	0.00
หยุดเดินหม้อไอน้ำ	60	2,052.00	55.94	-190.55	-1,336.61	-64.90	0.00	0.00
	61	2,086.20	99.10	-285.83	0.00	-82.15	0.00	0.00

เอกสารนี้เป็นเอกสารที่สงวนไว้สำหรับการใช้งานเพื่อการศึกษาเท่านั้น ไม่อนุญาตให้นำไปใช้ประโยชน์ด้านการค้า  
ไม่ว่ากรณีใดๆ ทั้งสิ้น อีกทั้งห้ามมิให้ตัดแปลงเนื้อหา และต้องอ้างอิงถึงเจ้าของเอกสารทุกครั้งที่มีการนำไปใช้

## ตารางที่ ๗-2 (ต่อ)

อโศกไฮโดรเจน		ต้นทุนก่อนดำเนินงาน (Babt)			ต้นทุนตามแนวทางการนำเสนอ (Babt)		
(g/Nm <sup>3</sup> )	อัตราการไหล (kg/h)	ไฟฟ้า	ก๊าซธรรมชาติ	น้ำมันเตา	ไฟฟ้า	ก๊าซธรรมชาติ	น้ำมันเตา
62	2,120.40	114.30	-285.83	0.00	-66.95	0.00	0.00
63	2,154.60	129.49	-285.83	0.00	-51.76	0.00	0.00
64	2,188.80	144.69	-285.83	0.00	-36.56	0.00	0.00
65	2,223.00	159.88	-285.83	0.00	-21.37	0.00	0.00
66	2,257.20	175.08	-285.83	0.00	-6.17	0.00	0.00
67	2,291.40	190.27	-285.83	0.00	9.02	0.00	0.00
68	2,325.60	205.47	-285.83	0.00	24.22	0.00	0.00
69	2,359.80	220.66	-285.83	0.00	39.41	0.00	0.00
70	2,394.00	235.86	-285.83	0.00	54.61	0.00	0.00
71	2,428.20	251.05	-285.83	0.00	69.80	0.00	0.00
72	2,462.40	266.25	-285.83	0.00	85.00	0.00	0.00
73	2,496.60	281.44	-285.83	0.00	100.19	0.00	0.00
74	2,530.80	296.64	-285.83	0.00	115.39	0.00	0.00
75	2,565.00	311.83	-285.83	0.00	130.58	0.00	0.00

เอกสารนี้เป็นเอกสารที่สงวนไว้สำหรับการใช้งานเพื่อการศึกษาเท่านั้น ไม่อนุญาตให้นำไปใช้ประโยชน์ด้านการค้า  
ไม่ว่ากรณีใดๆ ทั้งสิ้น อีกทั้งห้ามมิให้ตัดแปลงเนื้อหา และต้องอ้างอิงถึงเจ้าของเอกสารทุกครั้งที่มีการนำไปใช้

ตารางที่ ข-2 (ต่อ)

ออโทไซกลิน		ต้นทุนก่อนดำเนินการ (Baht)			ต้นทุนตามแนวทางการเสนอ (Baht)		
(g/Nm <sup>3</sup> )	อัตราการไหล (kg/h)	ไฟฟ้า	ก๊าซธรรมชาติ	น้ำมันเตา	ไฟฟ้า	ก๊าซธรรมชาติ	น้ำมันเตา
76	2,599.20	327.03	-285.83	0.00	145.78	0.00	0.00
77	2,633.40	342.22	-285.83	0.00	160.97	0.00	0.00
78	2,667.60	357.42	-285.83	0.00	176.17	0.00	0.00
79	2,701.80	372.62	-285.83	0.00	191.37	0.00	0.00
80	2,736.00	387.81	-285.83	0.00	206.56	0.00	0.00
81	2,770.20	403.01	-285.83	0.00	221.76	0.00	0.00
82	2,804.40	418.20	-285.83	0.00	236.95	0.00	0.00
83	2,838.60	433.40	-285.83	0.00	252.15	0.00	0.00
84	2,872.80	748.37	-285.83	0.00	267.34	0.00	0.00
85	2,907.00	764.41	-285.83	0.00	282.54	0.00	0.00
86	2,941.20	780.45	-285.83	0.00	297.73	0.00	0.00
87	2,975.40	796.49	-285.83	0.00	312.93	0.00	0.00
88	3,009.60	812.53	-285.83	0.00	328.12	0.00	0.00
89	3,043.80	828.57	-285.83	0.00	343.32	0.00	0.00

เริ่มกังหันไอน้ำเครื่องที่ 2

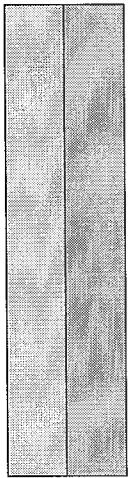
เอกสารนี้เป็นเอกสารที่สงวนไว้สำหรับการใช้งานเพื่อการศึกษาเท่านั้น ไม่อนุญาตให้นำไปใช้ประโยชน์ด้านการค้า  
ไม่ว่ากรณีใดๆ ทั้งสิ้น อีกทั้งห้ามมิให้ตัดแปลงเนื้อหา และต้องอ้างอิงถึงเจ้าของเอกสารทุกครั้งที่มีการนำไปใช้

ตารางที่ ๗-2 (ต่อ)

	ออปโตไซติน		ต้นทุนก่อนดำเนินงาน (Baht)				ต้นทุนตามแนวทางการนำเสนอ (Baht)			
	(g/Nm <sup>3</sup> )	อัตราการไหล (kg/h)	ไฟฟ้า	ก๊าซธรรมชาติ	น้ำมันเตา	ไฟฟ้า	ก๊าซธรรมชาติ	น้ำมันเตา		
90		3,078.00	844.61	-285.83	0.00	358.51	0.00	0.00		
91		3,112.20	860.65	-285.83	0.00	373.71	0.00	0.00		
92		3,146.40	876.69	-285.83	0.00	388.90	0.00	0.00		
93		3,180.60	892.73	-285.83	0.00	404.10	0.00	0.00		
94		3,214.80	908.77	-285.83	0.00	419.29	0.00	0.00		
95		3,249.00	924.81	-285.83	0.00	434.49	0.00	0.00		
96		3,283.20	940.85	-285.83	0.00	449.68	0.00	0.00		
97		3,317.40	956.89	-285.83	0.00	771.58	0.00	0.00		
98		3,351.60	972.93	-285.83	0.00	787.62	0.00	0.00		
99		3,385.80	988.97	-285.83	0.00	803.66	0.00	0.00		
100		3,420.00	1,005.01	-285.83	0.00	819.70	0.00	0.00		
ผลรวม			18,481.55	-16,387.30	-34,751.88	4,290.88	-2,637.88	-6,683.05		

เอกสารนี้เป็นเอกสารที่สงวนไว้สำหรับการใช้งานเพื่อการศึกษาเท่านั้น ไม่อนุญาตให้นำไปใช้ประโยชน์ด้านการค้า  
ไม่ว่ากรณีใดๆ ทั้งสิ้น อีกทั้งห้ามมิให้ตัดแปลงเนื้อหา และต้องอ้างอิงถึงเจ้าของเอกสารทุกครั้งที่มีการนำไปใช้

ขั้นตอนการใช้ใ้ก่อนการค้าเงินงาน  
ขั้นตอนการใช้ใ้จากแนวทางที่นำเสนอ



หมายเหตุ



เอกสารนี้เป็นเอกสารที่สงวนไว้สำหรับการใช้งานเพื่อการศึกษาเท่านั้น ไม่อนุญาตให้นำไปใช้ประโยชน์ด้านการค้า  
ไม่ว่ากรณีใดๆ ทั้งสิ้น อีกทั้งห้ามมิให้ดัดแปลงเนื้อหา และต้องอ้างอิงถึงเจ้าของเอกสารทุกครั้งที่มีการนำไปใช้